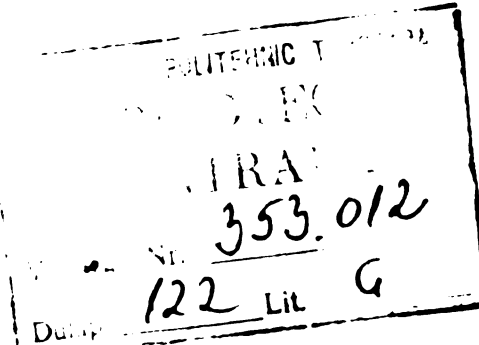


MINISTERUL EDUCAȚIEI SI INVATAMINTULUI
INSTITUTUL POLITEHNIC " TRAIAN VUIA "
FACULTATEA DE CONSTRUCTII

ing.RUSANESCU NICOLAE
RUGOZITATEA SI HIDRAULICA
CONDUCTELOR CE TRANSPORTA
SOLUTII DE NaCl.

BIBLIOTECA CENTRALĂ
UNIVERSITATEA "POLITEHNICA"
TIMIȘOARA



CONDUCATOR STIINTIFIC
Prof.emerit VICTOR GHEORGHIU

1. INTRODUCERE

Congresul al XI-lea al Partidului Comunist Român, stabilind direcțiile fundamentale ale dezvoltării viitoare a societății românești pe calea socialismului și comunismului, arată că realizarea importantelor obiective este condiționată în mod hotărîtor de creșterea aportului științei și tehnologiei.

In acest sens cincinalul 1976-1980 trebuie să devină cincinalul revoluției tehnico-științifice al afirmării largi a cuceririlor celor mai avansate, ale cunoașterii în toate ramurile și sectoarele industriei românești. Intensificarea activității de cercetare științifică și dezvoltare tehnologică în toate sectoarele se va face prin orientarea ei fermă spre nevoile concrete ale industriei, agriculturii și celorlalte ramuri economice.

Tovarășul secretar general Nicolae Ceaușescu în raportul la Conferința Națională a Partidului Comunist, Român, stabilind obiectivele și orientările generale pentru elaborarea planului cincinal de dezvoltare economico-socială a României în perioada 1981-1985 arată că înfăptuirea obiectivelor cincinalului viitor impune măsuri ferme pentru desfășurarea cu rezultate superioare a cercetării științifice, pentru orientarea tuturor forțelor spre rezolvarea cerințelor producției materiale, ridicarea calitativă a activității economice și progresul general al societății noastre.

In acest sens, o contribuție deosebită trebuie să aducă cercetarea științifică în producție.

Lucrarea de față "Rugozitatea și hidraulica conductelor ce transportă soluții de NaCl", se înscrie pe

această linie directoare, rezolvînd o problemă concretă din producție și avînd totodată și un pronunțat caracter de cercetare fundamentală.

Valabilitatea aplicativă a rezistenței hidraulice longitudinale în conducte e funcție de parametrul echivalent al rugozității nisipului.

Este însă de remarcat că pentru o rugozitate tehnică dată, parametrul de echivalentă se poate determina numai în laborator, pe cale hidraulică.

In lucrare se consideră relația directă între geometria rugozității și efectul rezistenței hidraulice, în domeniul conductelor frigorifice cu transport de soluții NaCl.

Totodată se stabilesc rugozitățile echivalente pentru conductele ce transportă soluții de NaCl, precum și evoluția acestora în timp.

Ideile conținute în lucrare s-au cristalizat în urma îndrumării primite din partea tovarășului profesor universitar emerit Victor Gheorghiu, căruia îi sănătătui și recunoscător și îi sănătătui și pe această cale.-

2. Notatii si simboluri

Simbol	Denumirea mărimii	Unitatea de măsură
α, α_i	Coeficiențul de debit al ajutajului	-
A	Secțiunea conductei; secțiunea rugozității pe lungimea de referință	$m^2; mm^2$
A_0	Deschiderea ajutajului	m^2
a	Difuzivitate termică	m^2/s
$\Lambda_c = \frac{1}{4,1868}$	Echivalentul coleric al lucrului mecanic	cal/J
c_p	Căldura specifică la presiune constantă a fluidului .	$J/kg^\circ C$
Δ_o, Δ_r	Functii de rugozitate	-
d_o	Diametrul interior al ajutajului	mm
D	Diametrul conductei	m
E_u	Criteriul adimensional Euler	-
$g = 9,81$	Acceleratia gravitațională	m/s^2
ρ_t	Densitatea soluției NaCl .	g/cm^3
ρ_m	Densitate lichid piezometric	g/cm^3
h	Cădere presiune ajutaj	mcol Hg
h	Inălțimea maximă a rugozității	mm
h_x	Pierderea de surcină longitudinală	mcol H_2O
h_{Hg}	Cota piezometrică ajutaj	mcol Hg
H_{Hg}	Cota piezometrică conductă	mcol Hg
K, K_r, K	Conductanță hidraulică	-
k_s	Rugozitate echivalentă	mm

Simbol	Denumirea mărimii	Unitatea de măsură
K	Rugozitate relativă	-
λ	Coefficientul lui Darcy (coefficientul de rezistență longitudinală).	-
L	Lucrul mecanic consumat într-o oră	Kjoule/h
L_t	Lungime conductă	m
L	Lungimea profilului rugozității	mm
l	Lungimea de referință a rugozității	mm
λ_f	Coefficientul de conductivitate termică	W/m°C
m	Report de deschidere a ajutajului	-
n	Număr de determinări	-
N	Vechime conductă	Ani
γ	Vîscozitate cinematică	m^2/s
γ_f	Vîscozitatea dinamică a fluidului în centrul conductei	$N.s/m^2$
γ_p	Vîscozitatea dinamică a fluidului la perete.	$N.s/m^2$
pH	Logaritmul cu semn schimbat al concentrației ionilor de hidrogen.	-
P_r	Număr Prandtl	-
Δp	Pierdere liniară de presiune	N/m^2
π_f	Coefficient de formă	-
R_e	Număr Reynolds	-
ρ	Densitate	g/cm^3
r	Coefficient empiric de corelație	-

Simbol	Denumirea și unitatea măsură
$s_{ym}; s_{ke}$	Estimăriile nedeplasate și consistentă ale dispersiilor valorilor y_m și k_e mm
σ	Abaterea medie pătrată
ϵ	Parametru de rugozitate al conductei
σ	Parametrul geometric al rugozității
t	Temperatură
T' , T	Timp umplere vas etalonat
v	Viteză fluidului în conductă
Q, Q_c, Q_{l1}	Debit volumetric
y_m	Caracteristica geometrică a rugozității mm
Q_o, Q_k	Cantitatea de căldură, ororă
	Kjoule/h

3. OPORTUNITATEA ABORDARII CERCETARILOR

Lucrarea "Rugozitatea și hidraulica conductelor ce transportă soluții de NaCl", reprezintă prima abordare sistematică din punct de vedere hidraulic a acestor conducte.

Necesitatea determinărilor propuse - aflarea rugozității echivalente a conductelor ce transportă soluții de NaCl, variația acesteia funcție de timp, precum și găsirea unei relații directe dintre geometria rugozității și efectul rezistenței hidraulice, rezultă din discutarea următoarelor aspecte :

a. Caracterul aplicativ imediat - rezolvarea corectă din punct de vedere hidraulic a unei rețele frigorifice - concret cea de la o fabrică de bere - unde se necesită cunoașterea exactă a pierderilor de sarcină longitudinală. Acest tip de rețea (descrișă în cap. 3.1 și 3.2), este constituită din conducte relativ lungi și preponderante sănătate pierderile de sarcină longitudinală (exemplu "conducta magistrală de legătură între Centrala Frig și secția Fermentație la Întreprinderea de Bere "Timișoreana", arecca. 300 m. lungime).

Oportunitatea lucrării, privită numai din acest punct de vedere, se evidențiază imediat prin dezvoltarea intensivă pe care o are industria berii în acești ani. Până în anul 1980, planul cincinal prevede dublarea producției de bere, față de anul de referință 1974, în principal prin construirea de noi fabrici.

Rezultatele obținute se pot folosi în industria chimică, unde sunt numeroase exemple de transport prin conducte a soluțiilor de ClNa.

b. Se completează o lacună a tabloului cu rugozități echivalente a conductelor în exploatare, ce transportă diferite soluții. Totodată se stabilește și evoluția rugozității în timp.

c. Se aduce o contribuție în elucidarea unei probleme fundamentale în hidraulica conductei - relația directă dintre geometria rugozității și efectul rezistenței hidraulice.-

3.1. Instalații frigorifice cu circuit secundar de răcire și apănt intermediar soluția NaCl

Cunoașterea exactă a ponderii pe care o are rezolvarea problemei hidraulice propuse cu cele două aspecte distinse - de cercetare fundamentală și caracter aplicativ imediat - într-o instalație frigorifică, reclamă cunoașterea modului de producere a frigului în industria alimentară.

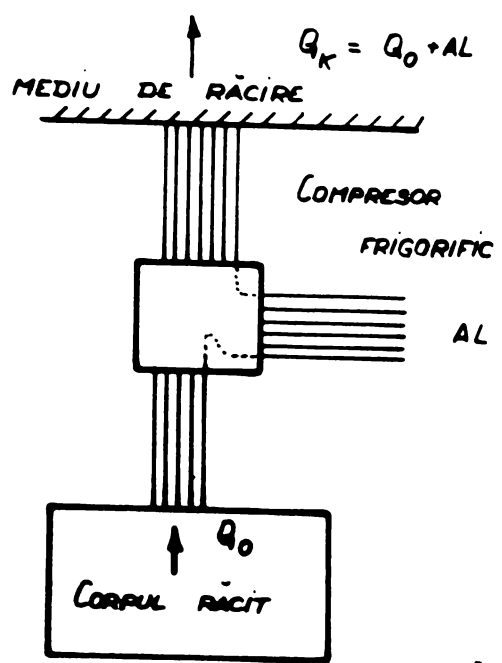
O vom face cât se poate de succint.

Frigul este un element tehnologic esențial în industria fermentativă a berii și de asemenea indispensabil și în alte sectoare ale industriei alimentare.

Procesul continuu de producerea frigului se bazează pe schimbarea stării de agregare a unui fluid (lichid-gaz) care se face cu absorbție de căldură și totodată ține cont de cel de-al doilea principiu al termodynamicii, în conformitate cu care o tracere de căldură de la un corp mai rece către unul mai cald, dacă nu este însotită de alte procese, nu poate fi realizată. Unul din procesele care însotesc producerea frigului este transformarea energiei mecanice în energie calorică.

Conform schemei de principiu de funcționare a mașinilor frigorifice, există o transmitere de căldură :

$$Q_K = Q_0 + AL$$



Kjoule/h de la mediu răcit la temperatură joasă prin vaporizarea agentului de răcire către mediul de răcire, adică spre apa sau aerul necesar condensării agentului de răcire la o presiune și temperatură mai înaltă.

Pentru realizarea acestui ciclu, este necesară cheltuirea unui lucru mecanic (A_L Kjoule/h) care se transformă în căldură și este transmisă mediului de răcire. Deci mediului de răcire îi se transmite căldura :

$$Q_o + A_L \text{ adică}$$

$$Q_k = Q_o + A_L$$

Schemă de lucru a unei astfel de instalații se prezintă în fig. 3.1.2. Prin această instalație se preia căldura de la un corp reprezentat în schemă prin fluidul ce se răcește în vaporizator, denumit agent intermediar (soluția NaCl).

Corpul ce se răcește va fi denumit mediu răcit. Pentru preluarea căldurii de la mediul răcit, se utilizează un agent frigorific (NH_3), care în urma acestui proces vaporizoază. Vaporii de agent frigorific sunt aspirați de compresor și comprimați adiabatic pînă la o presiune finală dictată de temperatura mediului de răcire a condensatorului. Dacă mediul de răcire are o temperatură scăzută, presiunea de refuzare a vaporilor va fi scăzută și invers.

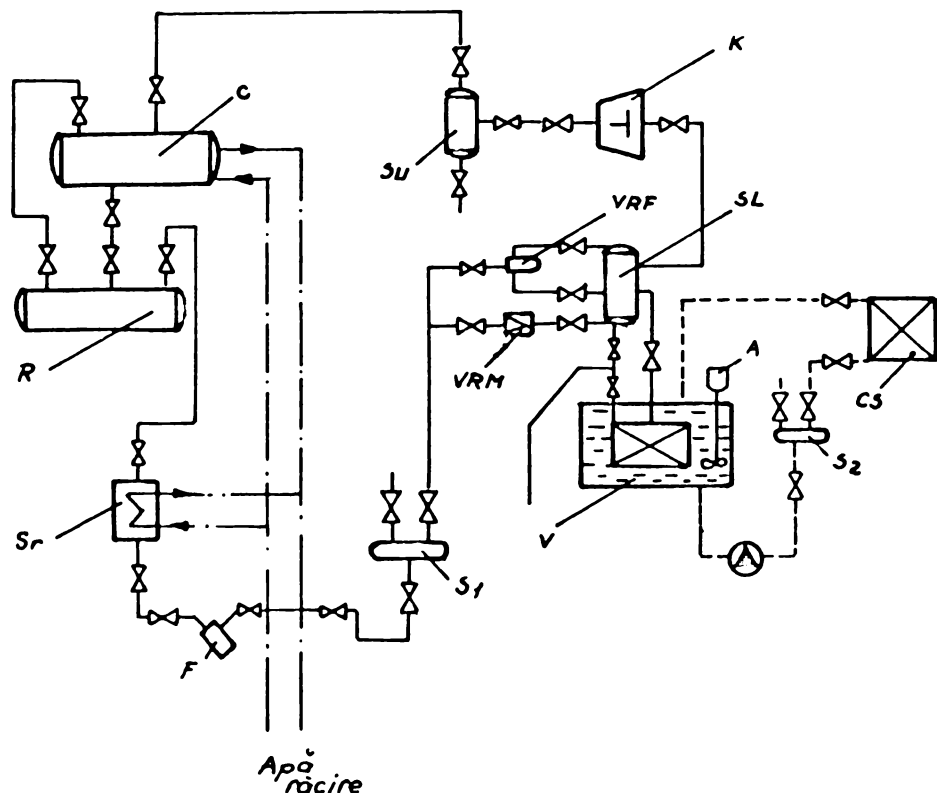
Procesul teoretic de comprimare este un proces adiabatic, fără schimb de căldură, între vaporii și peretii cilindrului. Vaporii refuzați pătrund în condensator unde se răcesc și apoi condensează, cedînd căldura mediului de răcire, ce poate fi apa recirculată de turn, apa de la rețeaua publică, apa de puț sau aerul exterior.

Lichidul rezultat este colectat în rezervorul de lichid, evitînd astfel încercarea cu lichid accondensatorului și deci neutilizarea întregii suprafețe de schimb de căldură a acestuia.

La instalațiile de puteri frigorifice mici și medii, condensatorul îndeplinește și rolul de rezervor de lichid.

Din rezervorul de lichid, agentul frigorific se răcește în subrăcitor pînă la temperaturi inferioare temperaturii de saturatie, corespunzătoare presiunii sub care se află lichidul. Subrăcirea face ca puterea frigorifică realizeată de instalație la circulația acestuia și debit de agent, să fie mai mare decît la instalația fără subrăcire. Introducerea subrăcitorului este dictată de considerente tehnico-economice, de disponibilitatea de mediu de răcire sub aspectul debitului și al temperaturii, deoarece creșterea eficienței frigorifice a instalației compen-

sează cheltuielilor pentru inventarii



Schemă simplificată a unei instalatii frigorifice

K	- compresor
SU	- separator de ulei
C	- condensator
R	- rezervor de lichid
Sr	- subrăcitor
F	- filtru
S ₁ , S ₂	- statie de distributie agent frigorific si agent intermediar
VRM	- ventil reglaj manual
VRF	- ventil de reglaj cu flotor de joasă presiune
SL	- separator de lichid
V	- vaporizator imersat

A	- agitator
P	- pompă agent intermediar
CS	- consumator
—	reteaua frigorifica NH ₃
-----	reteaua frigorifica cu soluție de NaCl
—·—	reteaua apă răcire

Fig. 3.1.2.

și exploatare legate de utilizarea subrăcitorului.

Subrăcitorul poate fi încadrat în condensator printr-o supradimensionare corespunzătoare a ultimului.

Lichidul trece apoi printr-un ventil de reglaj care are rolul de a reduce presiunea și temperatura lui pînă la valorile corespunzătoare procesului ce are loc în vaporizator și astfel procesul se reia.

În instalație sunt montate și aparatele auxiliare, dezaeratorului, separatorului de ulei și separatorului de lichid. Dezaeratorul servește la eliminarea aerului din instalație, care în caz contrar duce la micșorarea performanțelor instalației, la funcționarea și necorespunzătoare.

Separatorul de ulei are drept scop separarea uleiului atrinut de vaporii de agent frigorific (NH_3) și care poate să ajungă la condensator și vaporizator producind o scădere însemnată a puterii termice a acestor schimbătoare de căldură. Aceste separatoare realizează și o recuperare a uleiului de ungere a compresorului.

Separatorul de lichid servește la separarea picăturilor de lichid din amestecul cu vaporii, astfel încît compresorul să fie alimentat numai cu vaporii uscați și vaporizatorul să fie alimentat prin gravitație, în regim înecat cînd se folosesc asemenea vaporizatoare.

În instalație se mai utilizează filtre pentru reținerea impurităților, ce ar putea să deterioreze diversele părți componente ale acesteia.

Problemele hidraulice deosebite și care au impus realizarea prezentei lucrări au apărut în circuitul secundar de răcire.

Acest circuit pe care îl vom descrie în capitolul următor 3.2., face legătura dintre locul de producere a frigului și consumator (secțiile de fermentație a berei).

3.2. Descriere, funcționalitate :

Circuitul secundar de răcire, este un circuit hidraulic închis și cărei schemă este următoarea în industria fermentativă a berei.

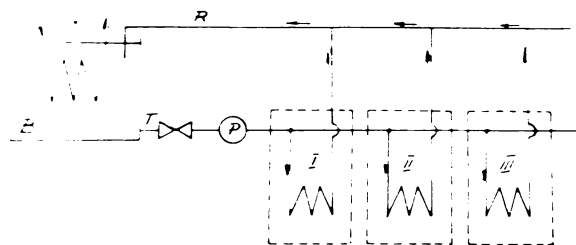


Fig. 3.2.1

Se compune din :

B - bazin cu soluție de NaCl

V - vaporizator cu NH₃ lichid

T - conductă magistrală tur

R - conductă magistrală retur

I, II, III.... incinte răcite ale secțiilor de fermentație secundară cu ajutorul bateriilor de răcire (fascicol de țevi) sau răcitoare de aer cu soluția de NaCl.

P - pompă

In bazinul B soluția de NaCl este răcită pînă la o temperatură de -6 la -8°C și pompată în secția de fermentație secundară prin conductă magistrală tur, unde trecînd prin răcitoare de aer coboară temperatura mediului la cca. +1°C...+2°C. Circuitul se închide prin conductă magistrală retur și bazin.

Debitele prin conductele magistrale sunt informativ la Intreprinderea de Bere Timișoara de cca. 90-120 mc/h, soluție de NaCl ajungînd la viteze de 1,5-2 m/sec. Lungimea unei astfel de conducte magistrale informativ la Intreprinderea de Bere Timișoara este de 450-500 m.

De asemenea bateria de răcire dintr-o secție formată din fascicol de țevi, are o lungime desfășurată de cca. 900 m.

3.3. Problemele hidraulice ale rețelei cu soluție

de NaCl

Înțelegîndu-se prin rețea frigorifică cu saramură de NaCl un sistem hidraulic format dintr-un număr oarecare de conducte, formînd o rețea închisă, datele de bază ale rețelei sunt :

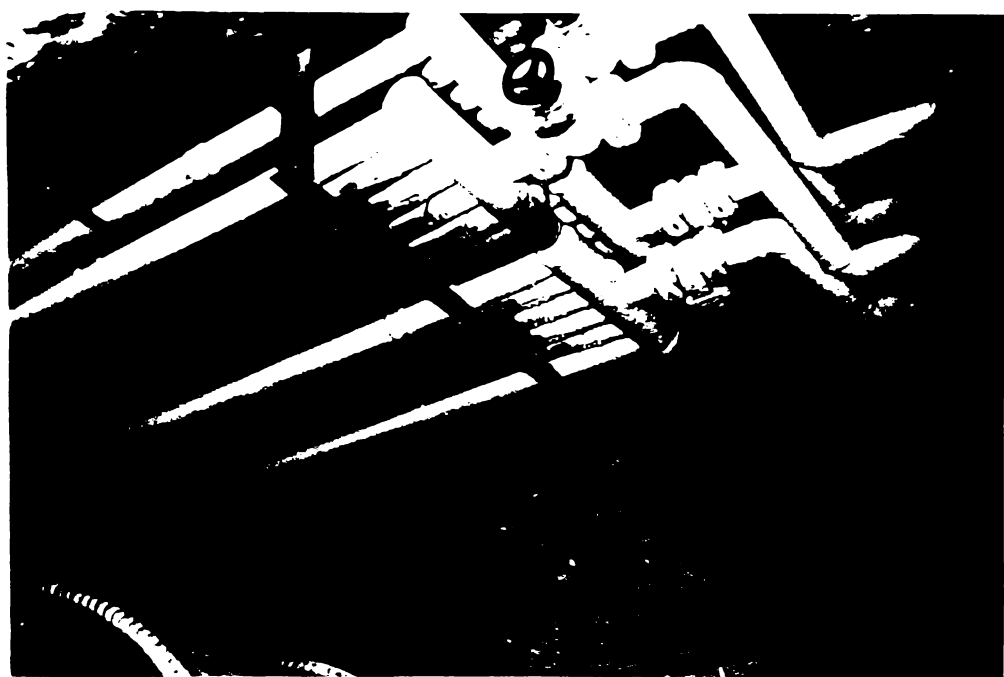


Fig. 3.2.3.
Baterie răcire - parțial brumată în
secția Fermontăție II.
(Intreprinderea de bere "Timișoreana")

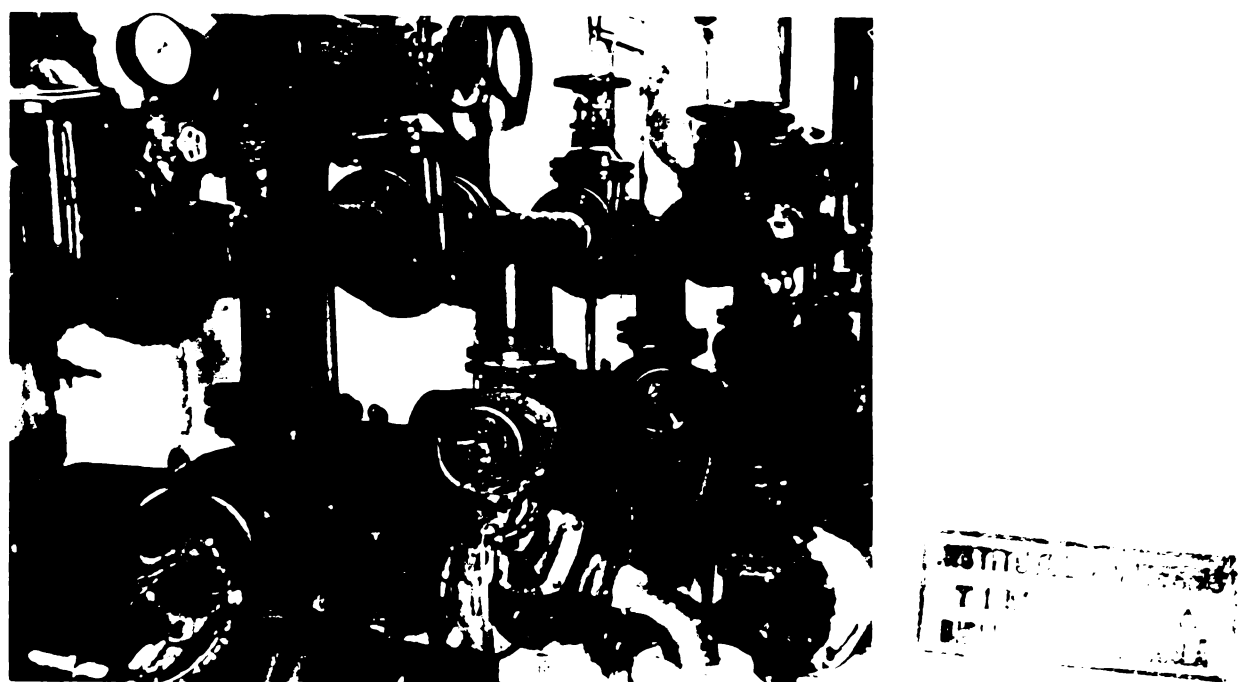


Fig. 3.2.4.
Pompe cu joc de vane pentru vehicularea agentului
intermediar de răcire soluția de NaCl
(Intreprinderea de bere "Timișoreana")



Fig. 3.2.2
Sectie de fermentatie II.
(Inreprinderea de Bere "Timigoreana")

- forma generală a rețelei, lungimile arterelor și cotele geodezice ale diferitelor puncte inclusiv nodurile;
- debitele consumate pe fiecare arteră din care rezultă debitele concentrate la noduri;
- cotele piezometrice minime la fiecare nod, cu o presiune de serviciu cerute de norme.

La calculul rețelelor se pun două categorii de probleme :

a. Probleme de verificare la care în afară de datele de bază se cunosc și diametrele arterelor și se cere să se calculeze cotele piezometrice la noduri și cota piezometrică de intrare, care determină înălțimea de pompare necesară.

b. Probleme de dimensionare, în care se cer dimensiunile conductelor cînd se cunosc datele de bază indicate mai înainte. Rețeaua fiind alimentată de o pompă, problema dimensionării este nedeterminată și se introduce în plus condiția economică. Pentru rețelele alimentate prin pompare se pune condiția de minimum, pentru cheltuielile anuale aferente investiției și pompării.

Vitezele agenților intermediari pentru care se dimensionează conductele, se recomandă între următoarele limite :

apă	0,3.....1 m/sec. pentru aspirație
soluția NaCl	0,3.....0,75 m/sec. pentru aspirație
	0,5.....1,25 m/sec. pentru refulare
	0,5.....1 m/sec. pentru refulare

In rezolvarea ambelor probleme de dimensionare și verificare, o etapă obligatorie este calculul pierderilor de sarcină longitudinală, care se face în ipoteza conductelor semirugoase hidraulic, $\lambda = \lambda(R_e, K)$ și a conductelor rugate hidraulic $\lambda = \lambda(K)$

unde K este rugozitatea relativă exprimată prin relația $K = k_e / D(k_e)$ - rugozitatea absolută echivalentă rugozității granulație uniforme Nikuradze, tip grăunte de nisip)

Pînă în prezent literatura de specialitate nu oferă date privind valorile rugozității echivalente pentru conductele ce vehiculează soluții de NaCl, precum și evoluția acesteia în timp.

Datorită acestui fapt, nici calculul hidraulic nu este suficient de exact în exploatarea rețelelor, apărînd deseori surpreze neplăcute - neasigurîndu-se circulația necesară a saramurii, respectiv frigul tehnologic necesar în secțiile de fermentație.

4. PROBLEMATICA CONDUCTELOR HIDRAULICE

CE TRANSPORTA SOLUTIE DE NaCl

Soluția de ClNa este folosită cu precădere în industria alimentară fermentativă a berei ca un agent frigorific. Transportul frigului cu ajutorul agentului frigorific intermediar, o saramură (în spătă soluție de ClNa) de la locul de producerea frigului - centrala frigorifică la secțiile de fermentație a berei este o soluție unanim acceptată, pretutindeni - datorită condițiilor de securitate deosebite care se cer.

Înțelegem prin rețea frigorifică cu soluție de ClNa așa cum am descris-o în cap.3.2 un sistem hidraulic format dintr-un număr oarecare de conducte simple formând o rețea închisă. Rețeaua poate avea o structură simplă în care caz transportă soluția de ClNa între două puncte ale instalației (centrala frig - secțiile de fermentare) sau poate fi concepută și realizată ca un sistem de conducte, asigurând în acest caz răcirea secțiilor de fermentație a berei.

Transportul prin conducte se face cu ajutorul pompelor. În practica exploatarii rețelelor frigorifice de peste 9 ani la Intreprinderea de Bere Timișoara, am constatat că pierderile efective de sarcină sunt mult mai mari decât cele calculate. Aceasta datorită subevaluării pierдерilor de sarcină longitudinală. Cu ocazia diverselor înlocuirii parțiale de conducte în rețea s-a observat că rugozitatea efectivă diferă de cea luată în calcul și apare rapid în exploatare fiind dependentă de durata de serviciu a conductei.

Trebui să menționăm că această rugozitate specifică apare în condițiile unei exploatari corecte ceea ce înseamnă :

1. Soluție de NaCl curată obținută prin dizolvarea sării brute comerciale în bazin special de preparare.
2. Decantarea soluției de NaCl într-un rezervor - bazin aparte, înainte de introducerea în exploatare.
3. Existența în circuitul hidraulic al rețelei a unor prizătoare de murdărie.
4. Păstrarea unei concentrații constante a soluției de NaCl.
5. Păstrarea unei viteze constante de circulație a soluției de NaCl în instalația ce funcționează aproape tot timpul anului (scurte opriri pentru decongelați, revizii și reparări incidentale).

6. Spălarea anuală a rețelei cu apă curată prin pompare pentru eliminarea eventualelor sedimente , mîl , murdărie .

7. Anularea corozivității soluției de NaCl prin păstrarea unui pH constant bazic pH = 8,5 .

Observații celiștive făcute pe egantioane de țeavă luate din rețea cu diverse vechimi în exploatare au arătat că această rugozitate nu dispare prin spălare cu apă și că devine o caracteristică a rețelei.

Consider că s-au impus pe baza observațiilor făcute în practica explorației rețelelor frigorifice cu soluții de Cl Na următoarele concluzii :

1. Există o rugozitate specifică a conductelor ce transportă saramură de NaCl.

2. Această rugozitate are un caracter evolutiv în timp .

Păstrând tendința de a considera rugozitatea "naturală " absolută k_e a unui poroș ca fiind o mărime convențională echivalentă cu o rugozitate tip Nikuradze, pentru a menține ca un reper fix edificiul teoretic al școlii de la Gottingen, se pună problema determinării acesteia. Valorile rugozității echivalente k_e se obțin cu ajutorul unor măsurători , de pierderi de presiune în rețea , rezultatele urmând a se introduce în formele care dău $\lambda = \lambda(k_e, R_e)$.

In felul acesta se completează tabelele ce dău rugozitatea absolută echivalentă a conductelor după natura poroșilor, starea suprafeței și condițiile de exploatare .

Dă un interes deosebit în exploatare datele obținute (rugozitatea echivalentă k_e^{se}) completează și cu evoluția în timp a acesteia .

Rămîne deschisă - spre rezolvare - problematica fundamentală a hidraulicei conductei și unele de a "lege" rugozitatea conductei de pierderile de sarcină longitudinală .-

5. STUDIU PROBLEMEI ÎN LITERATURA DE SPECIALITATE

In cercetarea rezistenței hidraulice a conductelor, apar două probleme : funcția de rugozitate și calculul coeficientului λ .

Pentru calculul coeficientului λ se folosesc relațiile "rationale" ce se bazează pe un model fizic cât mai apropiat de realitate și dimensional omogene. Pentru cazul suprafetelor netede și al celor rugoase din punct de vedere hidraulic, s-au elaborat relații bazate pe ideile teoriei stratului limită și pe teoriile fenomenologice, asupra turbulentei. Dintre acestea trebuie evidențiată teoria lungimii de "amestec" datorită lui Prandtl.

Dе asemenea trebuie remarcat caracterul esențial al lucrărilor lui Prandtl, Kármán, Nikuradze, Schlichting, Colebrook și White.

Principalele forme pentru calculul coeficientului sunt prezentate în 5.1.

Pentru caracterizarea geometriei rugozității, se introduc parametrii adimensionali.

Alegerea acestor parametrii diferă de la autor la autor și reprezintă dificultatea coa mai mare a problemei. Se pune de asemenea și problema stabilirii reperelor de măsurare a distanței de la perete. Deși evidentiată, problema a primit soluții empirice sau convenționale.

Existența schimbului de căldură produce modificarea distribuției vitezei în stratul limită, în comparație cu cazul curgerii izotermă. Cauza acestui fapt o constituie vîscozitatea mai mică în încălzire, respectiv mai mare la răcire a fluidului din stratul limită în comparație cu vîscozitatea fluidului din zona centrală a curgerii.

Pentru condițiile neizotermă de curgere, pierderile de presiune se calculează cu relațiile din (5.1.), în care se înlocuiește coeficientul de frecare pentru curgerea izotermă λ cu coeficientul de frecare pentru curgerea neizotermă.

In cazul variațiilor mici de temperatură $\lambda \approx \lambda_{\Delta t}$ după cum rezultă și din relația

$$\lambda_{\Delta t} = \lambda \left(\frac{\eta_p}{\eta_f} \right)^n$$

unde $n = 0,14$

și η_p - vîscozitatea dinamică a fluidului la perete

η_f - vîscozitatea dinamică a fluidului în centrul conductei

353.012

.. 122 4

$$\begin{aligned} R_e &< 2,5 \cdot 10 \\ 0,3 &< \eta_p / \eta_f < 38 \\ 1,3 &< Fr < 180 \end{aligned}$$

unde: $Pr = \frac{\nu}{\alpha}$

Cu valorile rugozităților echivalente K_c s-au întocmit tabele cu specificarea naturii conductelor și canalelor, starea suprafeței și condițiile de exploatare.

Remarcabile în acestă privință sunt articolele de sinteză ale lui Idelcik și Kirschmer. Surprinzător este faptul că rugozitatea conductelor ce transportă soluții de NaCl nu apare, fiind o problemă neelucidată pînă în prezent (conform bibliografiei).

Experiențele au arătat că rugozitatea unei conducte în exploatare, ce transportă un fluid osorecare, se instalează treptat fiind funcție de timp. Se admite că rugozitatea variază liniar și că se poate scrie în general $k_c = A + B$ unde :

$$N = \text{anii de serviciu}$$

Nu am găsit în bibliografie consultări, indicații în acest sens privitoare la conductele ce transportă soluții de NaCl.

5.1. Relații cunoscute pentru determinarea coeficientului de rezistență longitudinală

Calculul pierderilor de sarcină pentru conductele ce transportă soluții de NaCl, se face cu ajutorul formulei lui Darcy

$$h = \frac{\frac{4t}{D} \frac{v^2}{2g}}{\lambda} \quad \lambda = \lambda(R_e, K) \quad (5.1)$$

unde K este rugozitatea relativă exprimată prin relația

$$K = \frac{k_3}{D} \quad (5.2)$$

In cazul mișcării laminare a fluidelor ($R_e < 2320$) se calculează în mod obișnuit cu relația lui Stokes, stabilită analitic. Coeficientul λ depinde exclusiv de R_e indiferent de starea peretilor conductei.

Determinarea coeficientului λ la curgere turbulentă a fluidelor este mai complicată; starea peretilor interiori ai conductelor se poate caracteriza cu ajutorul produsului $R_e \sqrt{\lambda} K$. În funcție de valorile acestuia se delimitază trei domenii de rezistență hidraulică:

a.) $R_e \sqrt{\lambda} K = 0 \dots 14 \quad (5.3)$

conducte netede

b.) $R_e \sqrt{\lambda} K = 14 \dots 200 \quad (5.4)$

conducte în regimul turbulent tranzitorii sau propulsorice.

$$Re \sqrt{\lambda} K > 200$$

19

Ce se întâmplă în ceea ce privește rezistența la următoarele:

Principalele formule pentru calculul coeficientului la curgerea izotermă a fluidului sunt următoarele :

Regimul de curgere	Natura conduce- tei	Autorul formulei	Formule de calcul	Domeniul de aplica- bilitate	
Laminar	Conducte netede și ru- goase	Stokes	$\lambda = \frac{64}{R_e}$	$0 < R_e < 2320$	(5.6)
		Blasius	$\lambda = 0,3164 R_e^{-0,25}$	$4000 < R_e < 10^5$	(5.7)
		Mc Adams	$\lambda = 0,184 R_e^{-0,2}$	$5000 < R_e < 2 \cdot 10^5$	(5.8)
		Filonenko	$\frac{1}{\sqrt{\lambda}} = 1,82 \lg R_e^{-1,64}$	$4000 < R_e < 10^7$	(5.9)
		Herman	$\lambda = 0,0054 + 0,396 R_e^{-0,3}$	$10^5 < R_e < 2 \cdot 10^6$	(5.10)
		Nikuradse	$\lambda = 0,0032 + 0,221 R_e^{-0,237}$	$10^5 < R_e < 3,24 \cdot 10^6$	(5.11)
		Lorenz	$\lambda = 0,0076 + 0,423 R_e^{-0,394}$	$R_e < 1,2 \cdot 10^6$	(5.12)
turbu- lent	Conducte netede hidraulic = (R_e)	Koo	$\lambda = 0,0056 + 0,5 R_e^{-0,32}$	$3000 < R_e < 3 \cdot 10^6$	(5.13)
		Prandtl- Kármán	$\frac{1}{\sqrt{\lambda}} = 2 \lg \left(\frac{R_e \sqrt{\lambda}}{2,51} \right)$	$3000 < R_e < 10^7$	(5.14)
		Konakov	$\lambda = \frac{1}{(1,0 \lg R_e - 1,5)^2}$	$3000 < R_e < 10^7$	(5.15)
		Ombeck	$\lambda = 0,242 R_e^{-0,224}$	$R_e < 500000$	(5.16)
		Stanton- Pannel	$\lambda = 0,0072 + 0,6104 R_e^{-0,35}$	$R_e < 420000$	(5.17)
		Lebeau	$\lambda = 0,00785 + 0,618 R_e^{-0,36}$	$R_e < 5 \cdot 10^5$	(5.18)
		Iacob	$\lambda = 0,3270 R_e^{-0,254}$	$R_e < 7 \cdot 10^5$	(5.19)
		Iacob-Erk	$\lambda = 0,00714 + 0,6104 R_e^{-0,35}$	$R_e < 4,6 \cdot 10^5$	(5.20)
		Kozeny	$\lambda = 0,00648 + 0,54 R_e^{-1/3}$	$R_e < 4 \cdot 10^5$	(5.21)
		Richter	$\lambda = 0,007 + 0,596 R_e^{-0,35}$	$R_e < 1,14 \cdot 10^6$	(5.22)

Conducătoare hidraulice (tuburi prostratice)	Moody	$\lambda = 0,0055 \left[1 + \left(20000 \frac{R}{R_0} + \frac{10^6}{R_0} \right)^{1/3} \right]$	$4000 < R_0 < 10^7$	(5.23)
	Eric-brook White	$\frac{1}{\lambda} = -2 \lg \left(\frac{2,51}{R_0 \sqrt{\lambda}} + \frac{2,72}{D} \right)$	—	(5.24)
	Altgul	$\lambda = 0,1 \left(1,46 \frac{R}{R_0} + \frac{100}{R_0} \right)^{0,25}$	—	(5.25)
	Fronkl	$\frac{1}{\lambda} = -2 \lg \left[\left(\frac{2,51}{R_0} \right)^{0,2} + \frac{K}{2,72} \right]$	—	(5.26)
	Lamont	$\lambda = \frac{0,459}{R_0^{0,115} \left(\frac{D}{R_0} \right)^{0,275}}$	$R_0 > 3 \cdot 10^3$ $10 < \frac{D}{E_0} < 200$	(5.27)
	Lamont	$\lambda = \frac{0,2149}{R_0^{0,115} \left(\frac{D}{R_0} \right)^{0,275}}$	$R_0 > 3 \cdot 10^3$ $200 < \frac{D}{E_0} < 20000$	(5.28)
	Prandtl-Nikuradse	$\frac{1}{\lambda} = 2 \lg \frac{3,72}{\frac{D}{R_0}}$	$10^5 < R_0 < 10^7$	(5.29)
	Sifrinson	$\lambda = 0,11 R^{0,25}$	—	(5.30)
	Lamont	$\lambda = \frac{0,622}{\left(\frac{D}{R_0} \right)^{0,75}}$	$2 < \frac{D}{E_0} < 10$	(5.31)
	Lamont	$\lambda = \frac{0,2573}{\left(\frac{D}{E_0} \right)^{0,414}}$	$10 < \frac{D}{E_0} < 200$	(5.32)
	Lamont	$\lambda = \frac{0,0333}{\left(\frac{D}{E_0} \right)^{0,22}}$	$200 < \left(\frac{D}{E_0} \right) < 20000$	(5.33)
	Uatteescu	$\lambda = 0,1763 \left(\frac{R_0}{R} \right)^{0,25}$	$1 < \frac{R}{R_0} < 7$	(5.34)
	Uatteescu	$\lambda = 0,1145 \left(\frac{R_0}{R} \right)^{1/3}$	$7 < \frac{R}{R_0} < 150$	(5.35)
	Uatteescu	$\lambda = 0,0552 \left(\frac{E_0}{R} \right)^{1/5}$	$150 < \frac{R}{R_0} < 20000$	(5.36)

Pentru calcul se pot folosi și formule exponențiale. Astfel, Sovolev a stabilit pentru tuburi de otel cu căduri transversale (pe baza a numeroase experimente de precizie),

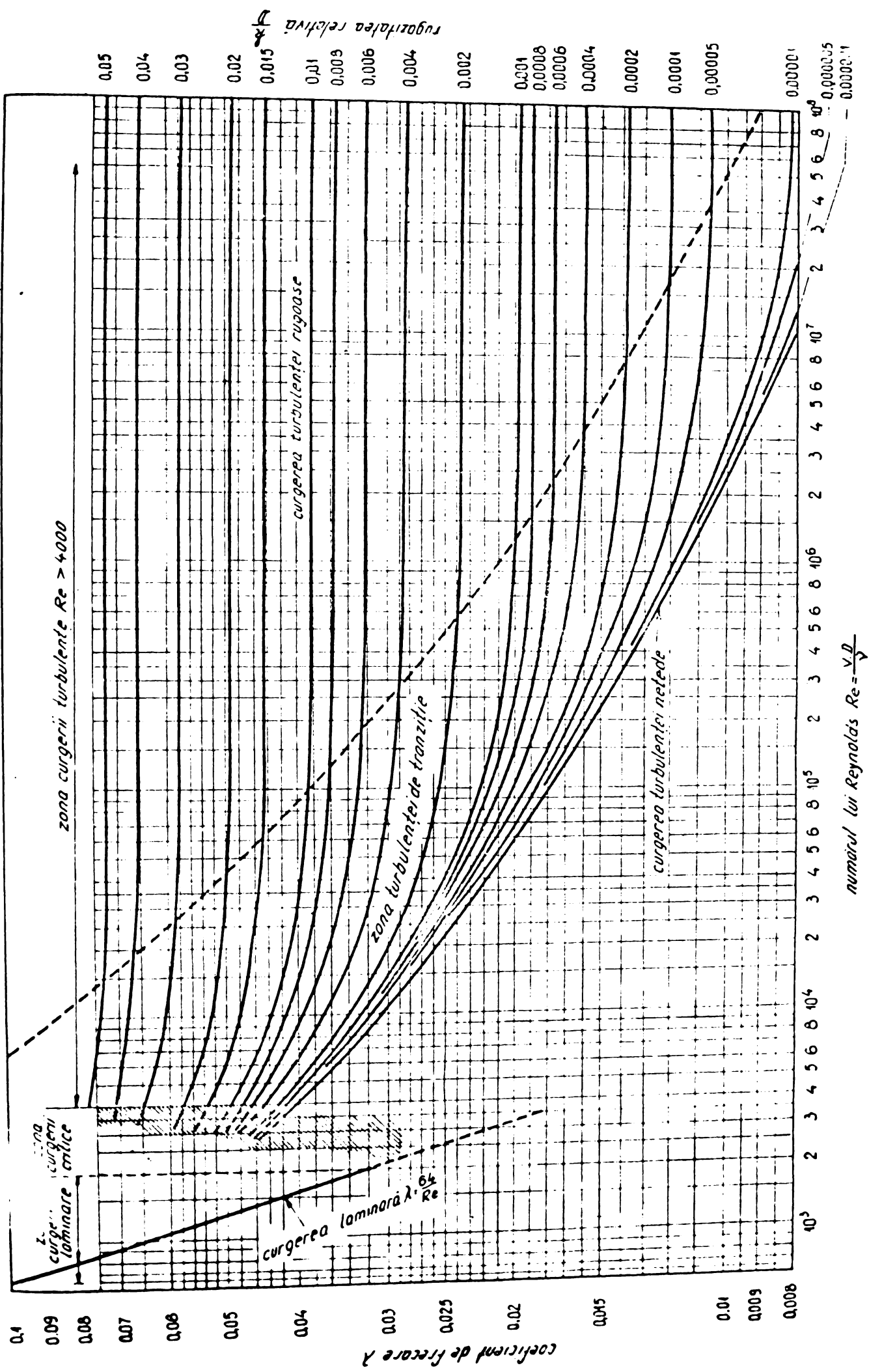


Fig. 5.1 DIAGRAM LUI MOODY PENTRU CURGEREA IN CONDUCTE

O nouă metodă de calcul privind determinarea pierderilor de sarcină liniară, aflată destă de prof.univ.emerit ing.Victor Gheorghiu de la Institutul Politehnico Timișoara.

In cercetarea rezistenței hidraulice a conductelor apar două probleme: perfectarea modelului matematic și sistematizarea calculului coeficientului, ca aspect aplicativ al primei probleme.

Se pot obține noi variante ale funcției de rugozitate-o formă evoluată a modelului matematic prin introducerea conductanțelor hidraulice,-ou următoarele relații de definiție:

- conductanță netedă $H_o = 1/2 \sqrt{\lambda_o} = 0,9 \log Re - 0,75$,
- conductanță rugoasă $H_r = 1/2 \sqrt{\lambda_r} = 0,57 - \log K$,
- conductanță mixtă $H = 1/2 \sqrt{\lambda} = -\log(10^{-\lambda_o} + 10^{-\lambda_r})$.

Noile funcții de rugozitate -formate cu diferențele acestor mărimi -sunt:

$$\Delta_o = H_o - H = \log(1 + 10^s),$$

$$\Delta_r = H_r - H = \log(1 + 10^{-s}),$$

în care:

$$s = H_o - H_r$$

este argumentul de rugozitate al conductei.

Aceste funcții au proprietăți remarcabile și se pretează direct la calculul coeficientului de rezistență.

Din punct de vedere teoretic, în desfășurarea fenomenului de turbulentă a conductelor tehnice, există o singură fază: turbulentă mixtă, încadrată de două stări - limită de turbulentă simplă, pentru $|s| \rightarrow \infty$. În condițiile calculului aplicativ, se consideră ramurile curbelor Δ cu convergență asimptotică rapidă către axa (s) și, pe baza relațiilor

$$\Delta = \Delta_o = \Delta_r = \log(1 + 10^{-|s|}) = 0,31 e^{-2|s|} \leq 0,025 \quad (5.38)$$

pentru $|s| \geq 1,3$, se ajunge la o restrîngere practică a intervalului de turbulentă mixtă.

In final, intervin următoarele cazuri și relații în calculul coeficientului λ :

1. Conducte netede: $s \leq -1,3 \Rightarrow \lambda = \lambda_o$
2. Regim mixt: $-1,3 < s \leq 0 \Rightarrow \lambda = \lambda_o - \Delta$
3. Regim mixt: $0 \leq s < 1,3 \Rightarrow \lambda = \lambda_r - \Delta$
4. Conducte rugoase: $s \geq 1,3 \Rightarrow \lambda = \lambda_r$

In aceste formule $\lambda = 1/4 \lambda^2$, eroarea relativă $\delta \lambda / \lambda \leq 0,02$ în regimurile 1. și 4., iar corecția Δ se calculează din (5.38) sau se citește tabelar.

2.4. rugozitatea curbelor:

Lucrările lui Nikuradse s-au impus în aşa măsură încât rugozitatea din nisip monogranular lipit de peretii conductei în mod uniform și la densitatea maximă (bob lîngă bob) a făcut ca acest tip de rugozitate să fie considerat de referință pentru definirea lungimii caracteristice oricărei rugozități. Această lungime a numit rugozitatea echivalentă tip nisip și reprezintă acea lungime k_e care introducă în relația lui Nikuradse în locul lui k ar da aceiași valoare λ . Rugozitatea cercetată de Nikuradse prezintă o evoluție specifică a curbelor $\lambda = f(R_e \cdot \frac{k}{D})$, cunoscută din aşa zisa harpă a lui Nikuradse.

Cercetări ulterioare lui, au evidențiat evoluții diferențiale (continuu descreșcătoare) pentru rugozități obisnuite în conducte industriale metalice.

Ca urmare a utilizării din ce în ce mai extinse a rugozității echivalente tip nisip o serie de cercetători s-au conceput asupra determinării experimentale a acestei mărimi de calitate pentru că mai multe nature de suprafete rugoase și elaborării de tabele și diagrame de calcul construite pe baza unor formule de tip Colebrook-White.

Utilizarea rugozității fictive k_e nu explică fenomenul intimo ale rezistenței hidraulice, ci oferă o soluție mai mult sau mai puțin exactă.

De fapt nici termenul rugozitate tip nisip nu caracterizează suficient de exact fenomenul trebuind precizată forma exactă a granulei și desimca granulelor pe unitatea de suprafață.

În sprijinul acestei idei se poate cita faptul că rezistența unui nisip cu dimensiunea granulei $k_e = 0,135$ cm cercetată de Schlichting a dat aceiași rezistență hidraulică cu un alt nisip cu mărimea granulei de $k_e = 0,222$ cm cercetat de Nikuradse la fel nisipul de $k_e = 0,035$ cm la Colebrook dădoa aceiași rezistență ca cel de $k_e = 0,045$ cm la Nikuradse.

Consider că de fapt Nikuradse prin crearea acestei rugozități artificiale cu nisip a impus o anumită structură a rugozității, idealizată, ceea ce a simplificat evident problema.

Fiind izotropă rugozitatea tip nisip este bine determinată de diametrul bobului de nisip care devine caracteristica dimensională a acestui tip de rugozitate.

Rugozitatea tehnică se prezintă însă ca o structură neuniformă deși nu sînt motive de a-i se refuza un anumit caracter de periodicitate.

Din acest motiv găsirea caracteristicilor dimensionale a rugozității este o problemă deschisă.

Această caracteristică consider că poate fi stabilită pentru un anumit tip de rugozitate în cazul de față pentru rugozitatea specifică ce se instalează la conductele care transportă agent frigorific soluția de ClNa.

Valabilitatea aplicativă a relațiilor pentru calculul rezistenței hidraulice longitudinale în conducte, e funcție așa cum am arătat, de parametrul echivalent al rugozității nisipului. Este însă de remarcat că pentru o rugozitate tehnică de astăzi parametrul de echivalență se poate determina doar numai în laborator, pe cale hidraulică.

Din aceasta rezultă și întreaga "slăbiciune" a teoriei astfel construită inversându-se relația "cauză-efect".

6. Modelul fizic :

Modelul fizic al mișcării în conductele ce transportă soluția de NaCl este dat de un nucleu turbulent axial, limitat de un strat laminar la perete, cu efecte determinante asupra evoluției fenomenului.

Turbulența, ca rezultat a viscozității fluidului și rugozității peretilor, se dezvoltă în regim neted, preparticic sau patratic, după cum acoperirea laminară a rugozităților este totală, parțială sau neglijabilă. Înslugi strucțura suprafeței peretilor influențează evoluția fenomenului. Determinantă în acest sens este geometria rugozității.-

7. Programul experimental

Programul experimental s-a axat pe rezolvarea a două probleme distincte :

a.) Problema " clasică " de determinare experimentală a coeficientului λ de rezistență longitudinală la conducte ce transportă soluții de NaCl.

Aceasta a impus montarea unui stand experimental, ce a fost realizat la întreprinderea de bore Timișoara, pentru testarea și etalonarea dispozitivului de strangulare cu ajutor tip „sfert de cerc” - și măsurarea directă în rețeaua frigorifică a aceliasi întreprinderi, a căderilor de presiune.

b.) Măsurarea geometriei rugozității conductelor ce transportă soluții de NaCl.

7.1. Determinarea hidraulică a coeficientului de rezistență longitudinală la conducte ce transportă soluții

de NaCl

Realizarea unei instalații experimentale care să satisfacă condițiile impuse de cercetările cu caracter hidraulic ce au drept scop determinarea coeficientului de rezistență longitudinală, impune măsurarea cu o deosebită acuratețe a debitului.

Degi proiectarea și executarea dispozitivelor de strangulare pentru măsurarea debitului (diafragme, ajutaje) a ajuns la un nivel deosebit de ridicat, încât nu se mai verifică experimentul coeficientul de debit, am considerat necesar etalonarea ajutajului folosit - tip sfert de cerc - pe un stand anume construit în cadrul Intreprinderii de Bore Timișoara.

Acest lucru s-a impus și datorită faptului că bucla de măsurat debitul cu dispozitiv de strangulare în execuție Electroprecizia Săcele - secția Gheorghieni, are toate elementele calculate, cu un număr de zecimale ce nu au toate o corespondență fizică.

Am acordat totodată atenția cuvenită cunoașterii și măsurării proprietăților fizico-chimice ale soluției de NaCl.

Existența în rețeaua frigorifică a Intreprinderii de bore Timișoreana, a conductelor de 2" cu diverse vechimi în exploatare a creat și premiza obținerii variației în timp a rugozității echivalente.

Măsurarea pierderilor liniare de presiune s-a făcut direct în rețea, acordîndu-se o importantă deosebită modului de amplasare a prizelor, care s-a stabilit în funcție de respectarea condiției de stabilisare a curentului.

7.1.1. Proprietățile fizico-chimice ale soluției de NaCl

Prin soluție se înțelege un amestec omogen, la scară moleculară între două sau mai multe substanțe care constituie astfel o fază unică. Soluția de ClNa (saramura de ClNa) este o soluție binară în care intervin numai două componente: solventul apă (H_2O) și dizolvatul (ClNa) și se caracterizează prin concentrație. Astfel concentrația procentuală arată câte grame de ClNa sunt continute în 100 g. de soluție, eventual volum.

Disolvarea - fenomen fizico-chimic se produce prin învingerea unei forțe de interacțiune între particulele dizolvate precum și între acestea și particulele solventului. Constituentii soluției nu reacționează chimic între ei și proprietățile lor se păstrează și în soluție. Din punct de vedere hidraulic aceasta este o proprietate remarcabilă deoarece conferă soluției de ClNa (saramură ClNa) caracterul unui lichid Newtonian.

Proprietățile soluției de ClNa folosite pe scară largă în tehnica frigului în special ca purtătoare de frig se evidențiază și se înțeleg mai bine analizând diagrama de echilibru a acestei saramuri.

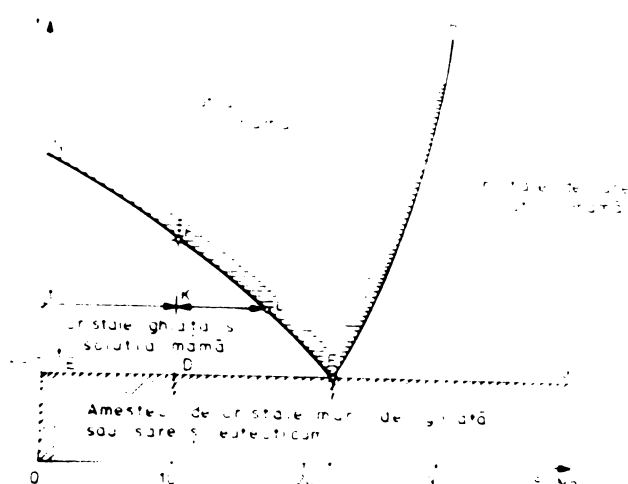
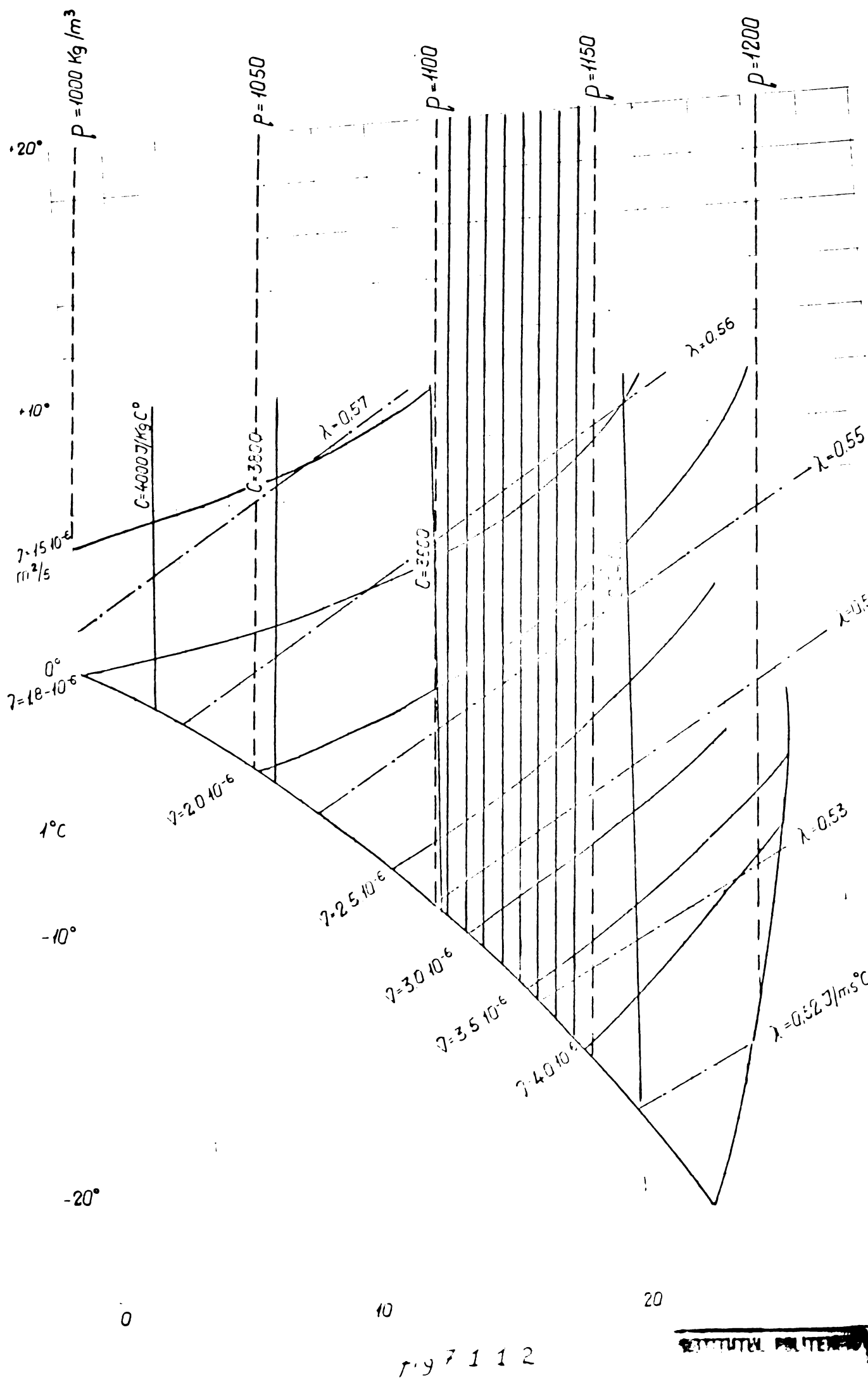


Fig.

Observăm astfel că o soluție de 5% sare de bucătărie (NaCl) în apă nu îngheță la $0^{\circ}C$ ci numai la cca. $-3,2^{\circ}C$, cristele formate compunindu-se din gheăță curată; soluția de sare de 10% începe să înghețe la $-7^{\circ}C$, cca do 20% la $-10^{\circ}C$, iar cea de 22,4% la $-21,2^{\circ}C$.



30%

Mărind cantitatea de sare, temperatuta de îngheț descrește în soluția mamă, separîndu-se și cristale de gheăță.

Revînind la diagrama de echilibru curba NE arată temperatuta la care apa începe să înghețe, iar curba RE arată că sub ea încep să se formeze cristale de sare. Aceste curbe delimită agă-ziss soluție mamă între care poate exista numai lichid dacă există echilibru. Curbele NE și RE sunt curbe de echilibru între soluție și începerea formării de gheăță respectiv cristalelor de sare.

Dacă răcim de exemplu o soluție de 10% do la starea A, atunci aceasta începe să înghețe la o temperatură corespunzătoare punctului $F = 7^\circ$ și să eliminate cristalele curate de gheăță. Coborînd temperatuta la t° soluția ajunge la concentrația corespunzătoare punctului L (datorită eliminării apei sub formă de gheăță). Punctul de minimum specific esteaza zisul punct eutectic notat pe diagramă cu E, corespunzător unei concentrații eutectice de 22,4% și temperaturi eutectice de $-21,2^\circ\text{C}$. Dacă se coboară și mai mult temperatuta atunci se elimină între cristalele de gheăță și o masă solidă de eutectic cu un conținut constant de sare de 22,4%. În timpul eliminării de eutectic temperatuta este constată pînă cînd totul s-a solidificat.

Diagramele de echilibru a soluției de CaNa prezente dau direct cantitatea de sare necesară pentru a elimina înghețul. Starea zonei complet fluide este delimitată prin curbele de echilibru. Totodată mai sunt prezентate liniile de aceiași densitate ρ căldura specifică c , conductivitatea termică λ , viscozitatea cinematică η .

7.1.2. Măsurarea debitului cu dispozitiv de strangulare

Considerații teoretice :

Să considerăm o conductă prin care curge fluidul a cărui debit se măsoară și în care s-a montat un dispozitiv de strangulare cu rolul de a crea o îngustare locală a curentului.

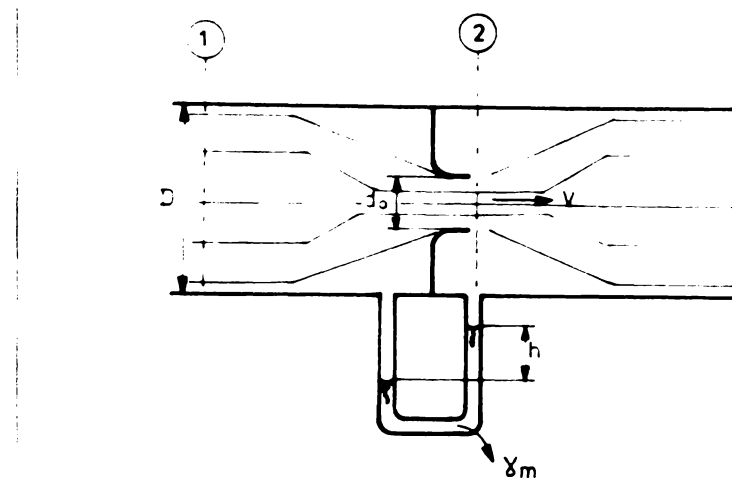


Fig. 7.1.2.1

Datorită acestui fapt o parte a energiei potențiale se transformă în energie cinetică, viteza medie a curentului se mărește în secțiunea strângulată, iar presiunea statică în această secțiune devine mai mică decât cea din amontele dispozitivului de strângere.

Să poarte demonstra pe cale experimentală - că dobitul unui ajutaj este funcție de următoarele stări și mărimi esențiale (fig. 7.1.2.1) :

- condițiile mișcării în amonte, definite de criteriul

$$R_e = v_1 D / \nu \quad \text{și} \quad K = k / D$$

- raportul de deschidere :

$$m = A_o / A = d_o^2 / D^2$$

- secțiunea minimă :

$$A_o = \pi d_o^2 / 4$$

- viteza teoretică la ieșire :

$$v_o = \sqrt{2gh} = \sqrt{2g \frac{p_1 - p_2}{\rho}}$$

- cooficientul de formă Π_f

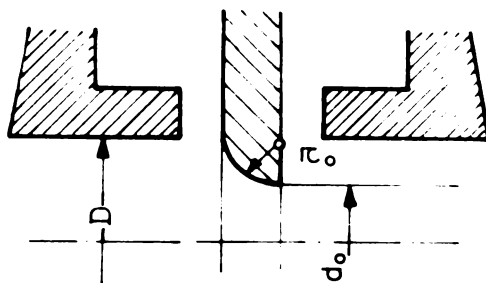


Fig. 7.1.2.2

Rezultă : $Q = f(K, m, \overline{H}_f, R_o, A_o, \sqrt{2gh})$

sau trecind la ecuația criterială în sistemul $(A_o, \sqrt{2gh})$:

$$\frac{Q}{A_o \sqrt{2gh}} = F(K, \overline{H}_f, m, R_o)$$

Ultima relație adimensională definește similitudinea Froude pentru ajutaje, în domeniile funcționale de automodelare în raport cu nr. R_o .

Această relație scrisă în formă dimensională

$$Q = \alpha A_o \sqrt{2gh} = \alpha A_o \sqrt{2 \frac{\Delta p}{\rho}}$$

reprezintă clasica formulă a debitului la ajutaje, în care coeficientul de debit :

$$\alpha = \alpha(m)$$

este funcție de raportul m , pentru o geometrie dată și în condiții de automodelare R_o .

In concluzie, o eficientă utilizare a ajutajelor în debitmetrie implică următoarele condiții :

- Efectuarea determinărilor în intervale de invariante ale coeficientului de debit .

- Studiul și aplicarea unor geometrii cu intervale R_o de automodelare , largi și acoperitoare.

In domeniul acestor probleme, dobitmetria conductelor sub presiune este standardizată (STAS 3655-61; STAS 6823-63), pe cît diagrama și ajutajoare geometrie definită, cu următoarele condiții de lucru:

de utilizare :

$$\approx 0,05 \dots 0,7 \text{ și } R_e > 10^5$$

În cadrul prezentei lucrări, însă, cercetările de laborator se fac pentru $R_e < 10^5$ - și, în acest caz, s-a utilizat evoluția remarcabilă a ajutajului "în sfert de cerc", concretizată în următorul tabel, după Koennecke :

Ajutaj în sfert de cerc (fig. 7.1.2.2.) Tab.nr. 7.1.2..

nr.	m	r_0/a_0	α	$m\alpha$	Interval de automodelare	
					R_{em}	R_{eri}
1.	0,05	0,100	0,771	0,0386	700	560 000
2.	0,16	0,117	0,792	0,1286	650	140 000
3.	0,25	0,139	0,829	0,2073	430	230 000
4.	0,36	0,160	0,902	0,3250	350	250 000
5.	0,39	0,185	0,933	0,3650	330	250 000

După cum se poate observa "Buclă de măsură debit cu dispozitiv de stimulare" proiectată și executată de întreprinderea "Electroprecizia Săcele", utilizează un ajutaj în sfert de cerc, care se încadrează cu valori foarte apropiate - în tabelul Koennecke, sub nr. 3.

Montajul experimental, condițiile de funcționare, precum și precizia determinării coeficientului de debit, pentru ajutajul livrat de "Electroprecizia Săcele" au fost cercetate pe un stand de încercări, construit în cadrul "Intreprinderii de bere Timișoara".

1.1.2.1. FISA DE CALCUL PENTRU BUCLA DE MASURA DEBIT CU DISPOZITIV DE STRANGULARE

In executie Electroprecizia Săcele - Secția Gheorghieni

Elaborata în baza STAS 7347-70(ISO R 541)sunt obligatorii prescriptiile de execuție și montaj conform STAS(pentru tipurile de dispozitive de strangulare nestandardizate sau necunoscute cf. STAS,măsură sint informative).

A. Date pentru identificare :

Beneficiar : Intr.de Bere Timisoara	Instalatia	75°
Proiect : (comanda) 515, S : 9056	Faza de proiectare	Revizia nr.
Proiectant	Micu Ion	Data : 19..
	Verificat	
rezultatul programare calcul dispozitive de strangulare Inst. Petcu Corneliu(IPA)		
12.0000	6.0000	5.00
1.392000.198	1.0000	1.0000000
1.264780	1.3546.0000	0.600000
	1170.0000	1.0000000
		0.220
		1

B. Parametrii mediului care se măsoară :

conumidrea fluidului	sol.CINA	Scutine măriștene
debitul maxim(de calcul)al fluidului	12.0000 mc/h	3.9000 kg/s
debitul minim	6.0000 mc/h	1.95000 kg/s
întea de curgere a fluidului prin conducta în cazul debitului maxim(de calcul)		1.51090 m/s
reziduua absolută a fluidului în amonte de strangulare	5.000 ATA	490332 n/mp. { 2 N/m ²
înorderea de presiune pe dispozitiv de strangulare, admisibil la eb.max. 223 ATS		22359.2 n/mp. }
esperatura fluidului în amonte de strangulare	-8.000 gr,C	
ensiitatea fluidului în condiții de lucru din amonte de strang. 1170.000 kg/mc		1170.000 kg/mc

•/•

rezonit.fluid.În cond.de lucru din amonte de strâng.

ii.Reynolds coresp.deb.max.ref.la st.de lucru din amonte a fl. și la din. coad.

Eșărul reynolds coresp.debit.min.În aceleasi cond. ca mai sus

Factorul de compresibilit.(abatere de la Legea gaz.perfecte) în cond.de lucru
Exponentul adiabatic(CP/CV)în cond.de lucru

C. DATE REFERITOARE LA CONDUCȚA TECNICOLOGICA

Vaterial conductă și/sau flange : OIT-35 Ruginozitatea conductei. Culoare galbenă
Diametrul interior al cond.la 20 gr.C 53.0000 mm 053 0000 metri 12 temp. de lucru 0530 0000 m
Coef.adiu de dil.liniară a mat.conductei(în interv. de la 20 la 25 la temp.1 gr.C) 00000000

D. DATE REFERITOARE LA INSTRUMENTAREA DE MASURA

Tipul dispozitivului de strângere 6 Ajutaj "sfert de cerc" (nestandardizat în RSR)
Ingenierul dispozitivului de strângere V2A

Coef.adiu de dil.liniară amăt. disp. de strângere(in Interv. de la 20 la temp.1 gr.C) 00000000
Tipul manometrului differential 1 Ct. lichid

Dens.lich.manometrică sau a lich.de calibrare prin care se exprimă pres.diferențială 13546.0000 kg/mc
Densitate fluidului de separare 1170.0000 kg/mc
Num. scălei man.differential coresp.deb.max.(că calcul)ia calibrare uscată 264/80 m.col.Lich.
Precizia diferențială coresp.domeniului de măsurare dată 32135.582 N/mp.

E. REZULTATE INTERUZIARE SI FILIALE ALE CALCULILUI

• Dportul BETA dintre diametrul orificiului și diametrul conductei(valoare finală)	• 49645430
• Dportul MIC dintre secțiunile orificiului și secțiunea conductei(valoare finală)	• 24646699
• Coef.de debit ALFA(val.finală)82710963 Coe.de dier.EPSILON(val.finală)	1.0000000
• Îndrepta de presiune rezinante,calculată la debit max. 21252.20 N/mp.	• 21671 ATS

./.

Mr. Reynolds minime admis(critic)ref. la st.de lucru din anotimp a P.. și în dim..cond. 341.31
 Debitul de masă minima admis, în val. absolută : .0196 kg/ în % din limita sup.a scalei • 51 0/0
 Diametrul orificiului disp. de strângere la temp. de lucru 26.31207 mm la 20 gr.C 26.31207 mm
 Raportul RMIC/DMIC dintre raza de rotunjire și diametrul orificiului .13529879
 Raza RMIC de rotunjire a orificiului disconul (pt. ajutaje SP RI cerc) 3.55999 mm

7.1.2.2. Determinarea experimentală a coeficientului de debit

Parametrii de care depinde coeficientul de debit pot fi măsurăți cu o previzie care să satisfacă necesitățile etalonării ajutajului "tip sfert de cerc".

In principal aceştia sunt :

- temperatura soluției de NaCl
- densitatea, greutatea specifică și viscozitatea cinematică a soluției de NaCl.

-temperatura și greutatea specifică a lichidului piezometric(Hg)

- timpul de umplere a vasului etalonat folosit pentru determinarea debitului

- volumul vasului etalonat și implicit cantitatea de soluție de NaCl folosit pentru fiecare determinare.

- dimensiunile geometrice ale ajutajului

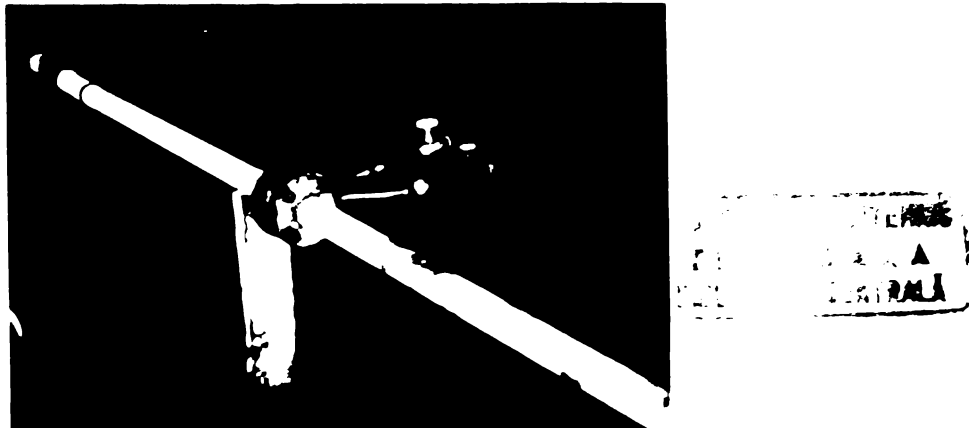
Analiza ponderii pe care o au erorile de măsurare a acestor parametrii în determinarea coeficientului de debit s-a făcut în cap.7.1.2.3.3.

7.1.2.2.1. Standul de încercare :

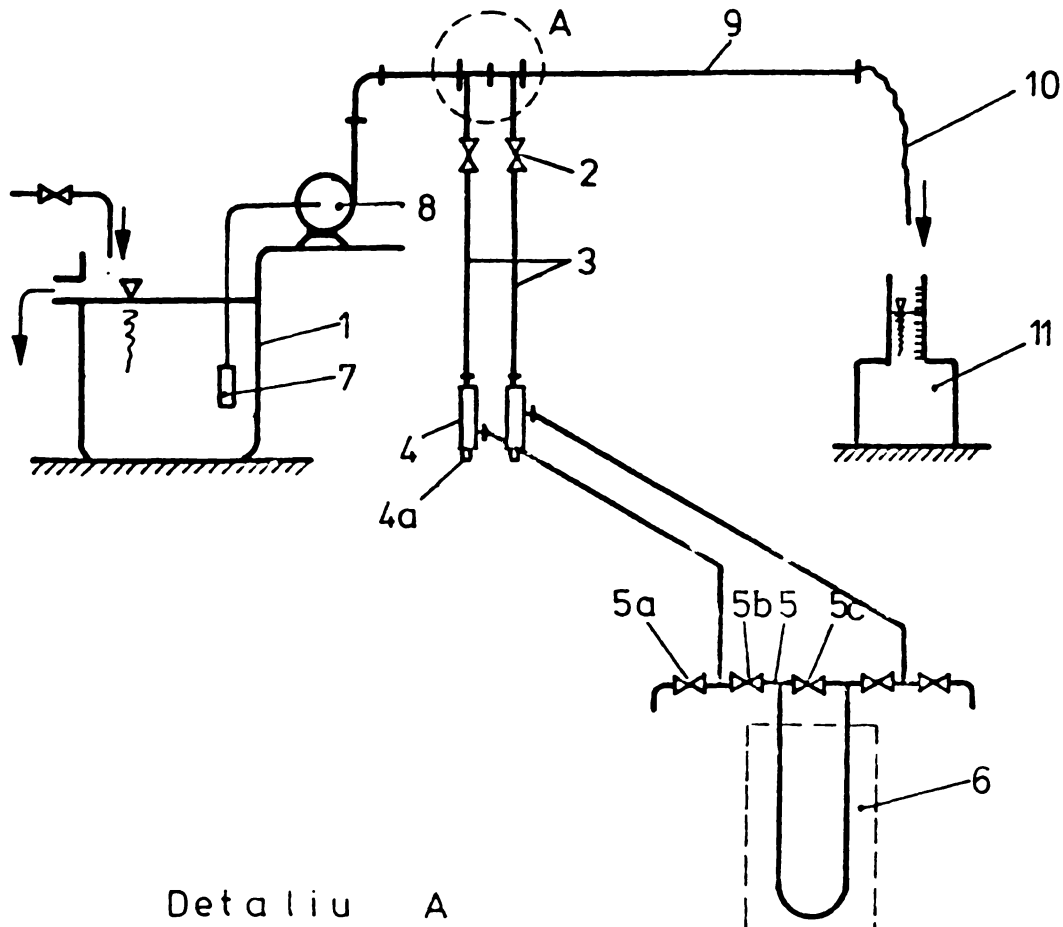
Ajutajul executat de Uzina Electroprecizia Săcele secția Gheorghieni cu seria 9056 și bul. de verificare nr.3248/ 29.11.1974 a fost încercat în stand cu scopul de a i se controla în ce măsură corespunde coeficientul de debit.

Standul s-a compus dintr-un bazin de saramură de nivel constant, aspirația la o pompă cu $Q=25 \text{ mc/h}$; $H=15 \text{ m}$ col. H_2O , $n=3000$ tip Cerna 50 A, conductă de refulare de $\varnothing_{\text{interior}}=53 \text{ mm}$ în lungime de 6 m, ajutajul cu prizele de presiune a camerei înslăbre și un racord de refulare elastic ce se introducea într-un vas etalonat de 60 litri.

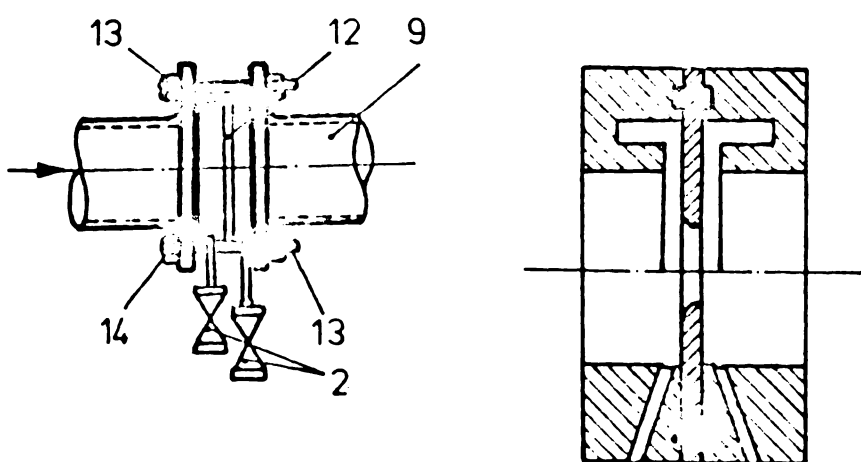
Cronometrarea s-a făcut manual cu un cronometru cu minute centezimale.



Schema instalatiei pentru etalonarea ajutajului



Detaliu A



- | | |
|--|----------------------------------|
| 1 - bazin cu solutie NaCl | 5c - robinet de egalizare |
| A - dispozitiv de strangulare ajutaj | 6 - piezometru diferențial cu Hg |
| 2 - robinete | 7 - sorb |
| 3 - conducte de legături | 8 - pompă |
| 4 - vase de decantare | 9 - conductă refulare 2° |
| 4a - bușon de purjare | 10 - racord flexibil |
| 5 - bloc cu cinci robinete | 11 - vas etalonat |
| 5a - robinete de purjare | 12 - ajutaj |
| 5b - robinete pt. conductele de legături | 13 - șuruburi de fixare |
| | 14 - garnituri |



7.1.2.2.2. Rezultate experimentale

În anexa 7.1.2.2.2. se regăsesc toate datele experimentale obținute pe standul de experimentare pentru determinarea coeficientului de debit a ajutajului.

Relațiile folosite cu ajutorul cărora s-au prelucrat datele, sunt următoarele

$$\alpha_i = \frac{Q_m}{A_o \sqrt{2g(\frac{V_m}{V_t} - 1)_h}}$$

$$d_o = 26,31 \text{ mm}$$

$$A_o = 5,437 \cdot 10^{-4} \text{ m}^2$$

Pentru luarea în considerare a erorilor întâmplătoare se folosește proprietatea lor comună de a fi variabile. Astfel în practică în cazul măsurătorilor apare frecvent o dispersie a valorilor individuale măsurate, prin oscilații întâmplătoare ale mărimilor care se măsoară.

În scopul de a obține o valoare medie am realizat o serie de $n=25$ măsurători.

Valoarea determinată rezultă din valori individuale $\alpha_1, \alpha_2, \dots, \alpha_{25}$ prin formarea mediei aritmetice.

$$\bar{\alpha} = \frac{1}{25} \sum_{i=1}^{25} \alpha_i$$

38

Abaterea medie pătratică : am notat-o cu s și reprezintă una din etapile de calcul cele mai importante pentru abaterile întâmplătoare ale valorilor α_i , față de valoarea medie.

$$s = \sqrt{\frac{1}{n} \sum_{i=1}^n (\alpha_i - \bar{\alpha})^2} = \frac{1}{4,899} \sqrt{\sum_{i=1}^{25} (\alpha_i - \bar{\alpha})^2}$$

scris

Cu valoarea medie am determinat erorile individuale ca diferențe între valorile individuale și media aritmetică.

iar $\Delta\alpha_i = \alpha_i - \bar{\alpha}$ și $i = 1 \dots 25$

unde: $\sum_{i=1}^{25} \Delta\alpha_i = 0$

dată

Domeniul de încredere rezultă din relația :

$$\bar{\alpha} \pm \frac{t}{\sqrt{n}} s$$

Factorul t a fost luat STAS 7.122 - 71 unde pentru un nivel de încredere $\beta = 0,999$ cu $\beta = 0,001$ și $f=n-1=24$ (n fiind numărul datelor) rezultă :

$$t = 3,745$$

Coeficient debit	Media aritmetică		Abaterea medie pătratică	Dom. de încredere	Nivel de încredere	
	α_i	$\bar{\alpha}$				
1	2	3	4	5	6	7
0,8472		0,016980				
0,8323		0,002584				
0,8208		-0,009416				
0,8153		-0,014916				
0,8371		0,006884				
0,8382		0,007984				
0,8439		0,013684				
0,8432	0,830216	0,012984	0,011069	0,008291	0,830 + 0,0053	
0,8444		0,014184				
0,8421		0,011884				

1	2	3	4	5	6	7
0,8459		0,015684				
0,8284		-0,001816				
0,8208		-0,009416				
0,8288		-0,001416				
0,8393		0,009084				
0,8258		-0,004416				
0,8196		-0,010616				
0,8268		-0,003416				
0,8249		-0,005316				
0,8264		-0,003816				
0,8094		-0,020816				
0,8249		-0,005316				
0,8089		-0,021316				
0,8303		0,000084				
0,8302		-0,000016				
	0,830216		0,011069	0,008291	0,830 ± 0,0083	0,996

Intervalele admisibile de rotunjire pentru valorile parametrilor statici sunt conform STAS 7122-71.

$$\frac{0,6 \pm 0,6}{\sqrt{n}} = \frac{0,6 \pm 0,011069}{\sqrt{25}} = 0,001328 \text{ pentru valoarea medie și}$$

$$\frac{0,4 \pm 0,4}{\sqrt{n-1}} = \frac{0,4 \pm 0,011069}{4,899} = 0,000904 \text{ pentru abaterea medie pătratică}$$

Rezultă prin rotunjire :

$$\alpha = 0,830 \pm 0,0083 \text{ pentru o probabilitate de } 99,9\%.$$

Valoarea lui α cu care se va lucra $\alpha = 0,830$ determinată experimental diferă de cea dată de furnizor cu 0,35%.

7.1.2.3.3. Calculul erorii de măsurare a coeficientului

de debit

La verificarea unui debitmetru diferențial în principiu se urmărește ca valoarea mărimii verificate să se încadreze în limitele erorii determinante.

In vedere stabilității erorii cu care s-au măsurat debitul și a factorilor de care depind, s-a analizat expresia:

$$Q = A_0 \sqrt{2g \left(\frac{\gamma_m}{\gamma_t} - 1 \right) h}$$

Logaritmărî și diferențiind-o

$$\ln Q = \ln \alpha + \ln A_0 + \frac{1}{2} \left[\ln 2 + \ln g + \ln \left(\frac{\gamma_m}{\gamma_t} - 1 \right) + \ln h \right]$$

$$\frac{d\alpha}{Q} = \frac{d\alpha}{A_0} + \frac{dA_0}{A_0} + \frac{\frac{1}{2} d \left(\frac{\gamma_m}{\gamma_t} - 1 \right)}{\frac{\gamma_m}{\gamma_t} - 1} + \frac{1}{2} \cdot \frac{dh}{h}$$

$$\frac{dQ}{Q} = \frac{dV}{V} = \frac{dv}{v} - \frac{dt}{t} \quad A_0 = \frac{\pi}{4} d^2$$

unde V = volum vas etalonat

$$\frac{dA_0}{A_0} = \frac{\frac{\pi}{4} d^2}{\frac{\pi}{4} d^2} \frac{d_0}{d_0} = 2 \frac{dd_0}{d_0}$$

$$\frac{d \left(\frac{\gamma_m}{\gamma_t} - 1 \right)}{\frac{\gamma_m - \gamma_t}{\gamma_t}} = \frac{\gamma_t^{-1} \gamma_m - \gamma_m \gamma_t^{-1}}{\gamma_t^2} \cdot \frac{\gamma_t}{\gamma_m - \gamma_t} = \frac{\gamma_m \gamma_t}{(\gamma_m - \gamma_t) \gamma_t}$$

cu $d\gamma_m = 0$

constantă, nu este un parametru ce se măsoară.

Eroarea maximă a coeficientului de debit a cărei verificare s-a făcut experimental va rezulta prin însumarea erorilor maxime a celorlalți factori.

$$\frac{d\alpha}{\alpha} = \frac{dv}{v} + \frac{dt}{t} + 2 \frac{dd_0}{d_0} + \frac{1}{2} \frac{\gamma_m}{\gamma_m - \gamma_t} \cdot \frac{d\gamma_t}{\gamma_t} + \frac{dh}{h}$$

$$\left(\frac{dh}{h} \right)_{\text{max.}} = \frac{0,25}{51} = 0,00676 \rightarrow 0,676\%$$

eroarea de citire a cotei piezometricice poate fi max. $\pm 0,25$ mm

idem

$$\left(\frac{d\gamma_t}{\gamma_t} \right)_{\text{max.}} = \frac{0,005}{1,100} = 0,00454 \rightarrow 0,454\%$$

$$\frac{2 dd_0}{d_0} = \frac{0,001}{26,3} = 0,000076 \rightarrow 0,0076\%$$

$$\left(\frac{\delta t}{t_{\text{min}}} \right)_{\text{max.}} = \frac{0,15}{30} = 0,005 \longrightarrow 0,500\%$$

$$\frac{\delta V}{V} = \frac{0,25}{60} = 0,00417 \longrightarrow 0,417\%$$

unde 60 reprezintă în litri capacitatea vasului etalonat.

și cu

$$\frac{1}{2} \cdot \frac{\gamma_m}{\gamma_m - \gamma_t} = \frac{1}{2(1 - \frac{\gamma_t}{\gamma_m})} = \frac{1}{2(1 - \frac{1,110}{13,520})} = 0,545$$

obținem eroarea maximă cu care influențează măsurarea densității soluției de NaCl coeficientului de debit.

$$\frac{1}{2} \cdot \frac{\gamma_m}{\gamma_m - \gamma_t} \cdot \frac{\delta \gamma_t}{\gamma_t} = 0,545 \cdot 0,00454 = 0,00247 \rightarrow 0,2479\%$$

Eroarea maximă a coeficientului de debit rezultă prin însumarea erorilor maxime a termenilor mai sus analizați.

Rozultă :

$$\left(\frac{\delta \alpha}{\alpha} \right)_{\text{max.}} = 0,0185 \longrightarrow 1,85\%$$

cu care concordă foarte bine rezultatele experimentate.

Aceasta rezultă

7.2. Geometria rugozității

Considerăm că rugozitatea unei conducte este formată de anumite valuri mici de neregularități (asperități) ca urmare a coroziunii și depunerilor.

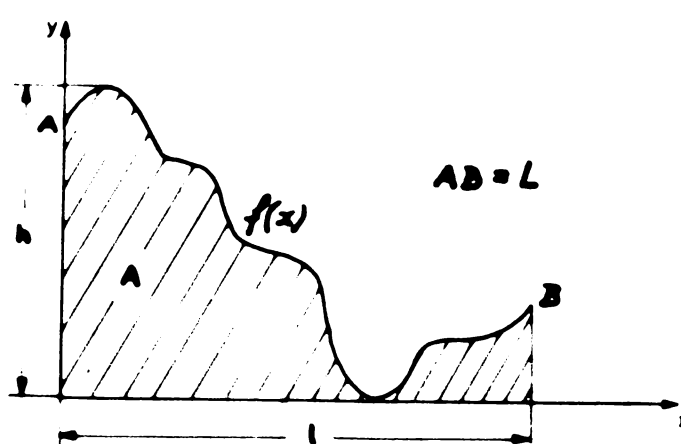
ACESTE VALURI DE NEREGULARITĂȚI pot fi măsurate ca abatieri ale profilului față de linia de referință în limitele lungimii de referință stabilite. Se pot propune mai multe criterii de apreciere a rugozității, noțiuni preluate din tehnica calității suprafeteelor prelucrate. Aceste criterii din care enumerația abaterea medie aritmetică R_a , a neregularităților, înălțimea medie a asperităților R_z , înălțimea maximă R_{max} a neregularităților, abaterea medie patraticeă H_m a neregularităților și altele care din punct de vedere hidraulic s-au dovedit insuficiente.

Pentru caracterizarea rugozității s-a adaptat un criteriu original, simplu, căruț se a defini statistic parametrul geometric al rugozității.

7.2.1. Definirea rugozității

La conductele ce transportă soluție de NaCl forma și repartitia asperităților sănătăioare neregulate, ceea ce îngreunează evident un studiu sistematic. Admitem însă implicit că această rugozitate are un caracter isotrop (fiind același în orice secțiune longitudinală a conductoii) și totodată are o anumită periodicitate fără de care este lipsit de sens de a defini caracteristica geometrică acestei rugozități.

Prin explorarea sistematică a unor egantioane de 10 cm lungime din conductele respective s-au definit statistic parametrii geometrici ai profilogramelor longitudinale a rugozității de acest tip.



$$A = \int_0^L f(x) dx \quad 7.2.1.1.$$

$$y_m = A/l \quad 7.2.1.2$$

$$\theta = \frac{L}{l} \quad 7.2.1.3$$

$$L = \int_0^L dL$$

Să subliniează alegerea sistemului de referință pentru profilograme. Profilul se înscrie într-un sistem de axe rectangulare cu axe "x" paralelă cu axa conductei și tangentă la minimul funcției (fig. 7.2.1.1.)

Mentionăm că parametrul θ nu i s-a putut găsi o semnificație hidraulică, parametrul y_m fiind suficient din acest punct de vedere.

7.2.2. Metoda și instrumentul de măsură pentru caracterizarea geometriei (Microscopul Linnik - Schmaltz)

Dezvoltarea multilaterală a industriei constructoare de mașini precum și cerințele din ce în ce mai exigeante în cea ce privește calitatea suprafetelor active ale pieselor a dus în ultimul deceniu la crearea unei serii de aparate complete de mare precizie din care unele permit măsurarea mai multor parametri.

In ceea ce privește posibilitățile existente pentru controlul rugozității, acestea se pot rezuma astfel :

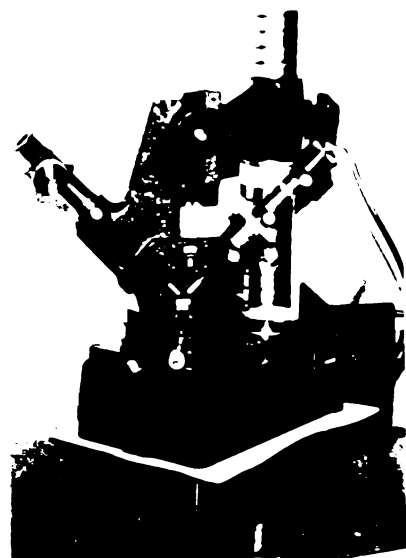
1. Controlul rugozității suprafetei prin comparare cu rugozitatea unei suprafete etalon.

2. Măsurarea microneregularităților suprafetei prelucrate, respectiv aprecierea rugozității suprafetei pe baza unui criteriu anume ales, prin intermediul aparatelor de măsurat corespunzătoare.

Pentru stabilirea caracteristicei dimensionale a rugozității consider potrivită cea de-a doua cale și folosirea metodei optice de control a unei secțiuni luminoase. Aparatul ce corespunde acestei metode este microscopul Linnik - Schmaltz.

Microscopul Linnik - Schmaltz

Aparatul este format din două sisteme optice similare : colimetrul de proiecție și microscopul de măsurare ale căror axe optice fac între ele un unghi de 90° . Principiul sectionării optice constă în observarea cu microscopul a secțiunii luminoase determinate de un fascicol de raze luminoase ce cade oblic pe suprafață.



Se, valoarea de control nefiind absolut netedă, prezentând denivelări, însă sănă că linia de intersecție a planului fascicoului de lumină cu suprafața de controlat va fi curbă și va reproduce toate asperitățile suprafeței cuprinse în zona cîmpului vizual. Misurînd abaterile do la linia dreaptă a benzii luminoase ce se observă în ocular, abateri datorită asperităților, se pot determina valorile rugozității.

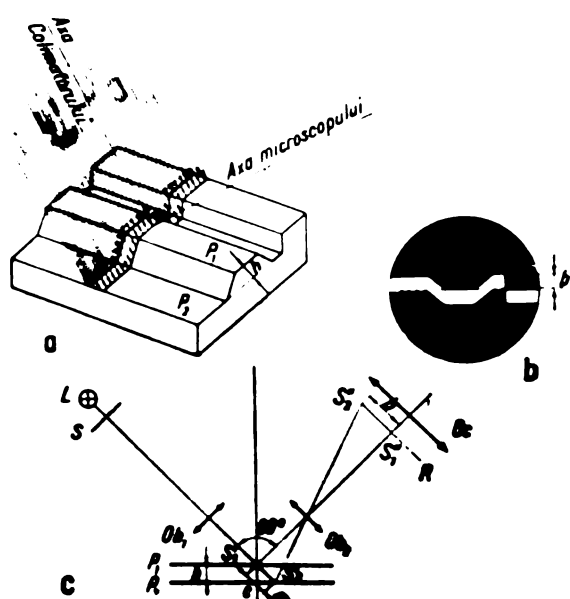


Fig. 2.11. Microscopul Linnik-Schmidt:
a - secțiunea luminosă a unei suprafețe plane; b - imagine ce se ob-
serve în ocular; c - schema optică a microscopului

Fig. 7.2.2.2.

Principiul de lucru al aparatului se explică cu ajutorul schemei optice din figură. Colimatorul projector emite datorită pantei reglabilo S un fascicol îngust de lumină ce cade sub un unghi de 45° pe cele două suprafețe plane P_1 și P_2

decalate cu direcție. De la focicolele de lumină vor proiecta mărimile pantei pe ambele suprafețe P_1 și P_2 . Cele două imagini ale pantei S_1 și S_2 sunt decalate între ele, fiind observate în ocularul OC al microscopului.

Lățea segmentului b este dat de relația :

$$b = \beta h \sqrt{2}$$

în care β reprezintă mărirea obiectivului (înălțimea h este întâi mărită la valoarea $h\sqrt{2}$, deoarece banda de lumină este înclinată cu 45° față de suprafață, apoi este mărită de obiectiv la valoarea

$$\beta h \sqrt{2}$$

În planul focal al ocularului se găsesc două lame reticulare, una fixă cu o scără gradată de la 0...8 și alta mobilă, pe care sunt întărite două firuri reticulare perpendiculare (una orizontal, alta verticală) paralele, mai lungi decât reperele scării și care se suprapun pe scara gradată. Pe scara gradată se citește numărul întreg de rotații complete parcursă de gurubul micrometric al ocularului (care are 100 de diviziuni) adică pe scara gradată nu citesc butele.

Aparatul este prevăzut cu posibilități pentru racordarea unui aparat de fotografiat și obținerea profilogramei.

Profilograma poate fi desenată și pe baza determinărilor vizuale măsurând succesiv înălțimile profilurilor.

În fig. 7.2.2.3. este prezentat un exemplu de profilogramă caracteristică pentru o conductă zincată de 2" cu o durată de exploatare de 3 ani.



Fig. 7.2.2.3

... REZULTATELE EXPERIMENTALE

Prin urmare ca directă în rețea a pierderilor liniare de presiune, s-a determinat pe categorii de conducte coeficientul λ de rezistență hidraulică. S-a acordat o atenție deosebită amplasării prizelor de presiune cu cameră inelară pentru respectarea condiției de stabilitate a curentului, precum și lungimii tronsonului de conductă care a fost ales suficient de mic pentru a exclude o eventuală influență de variație de temperatură a soluției de NaCl.

Temperaturile soluției de NaCl la intrare și ieșire din tronsoanele de conductă alese au fost practic aceleasi în limitele posibilităților de măsurare a temperaturii cu termometrul ce a permis citirea secțiilor de grad (eroare de citire sub $0,05^{\circ}\text{C}$).

Determinarea diametrelor interioare medii s-a făcut volumetric (prin umplerea cu apă a tronsonului de conductă și măsurarea volumului acestuia), eroarea maximă fiind $\leq 0,5 \cdot 10^{-4}\text{m}$.

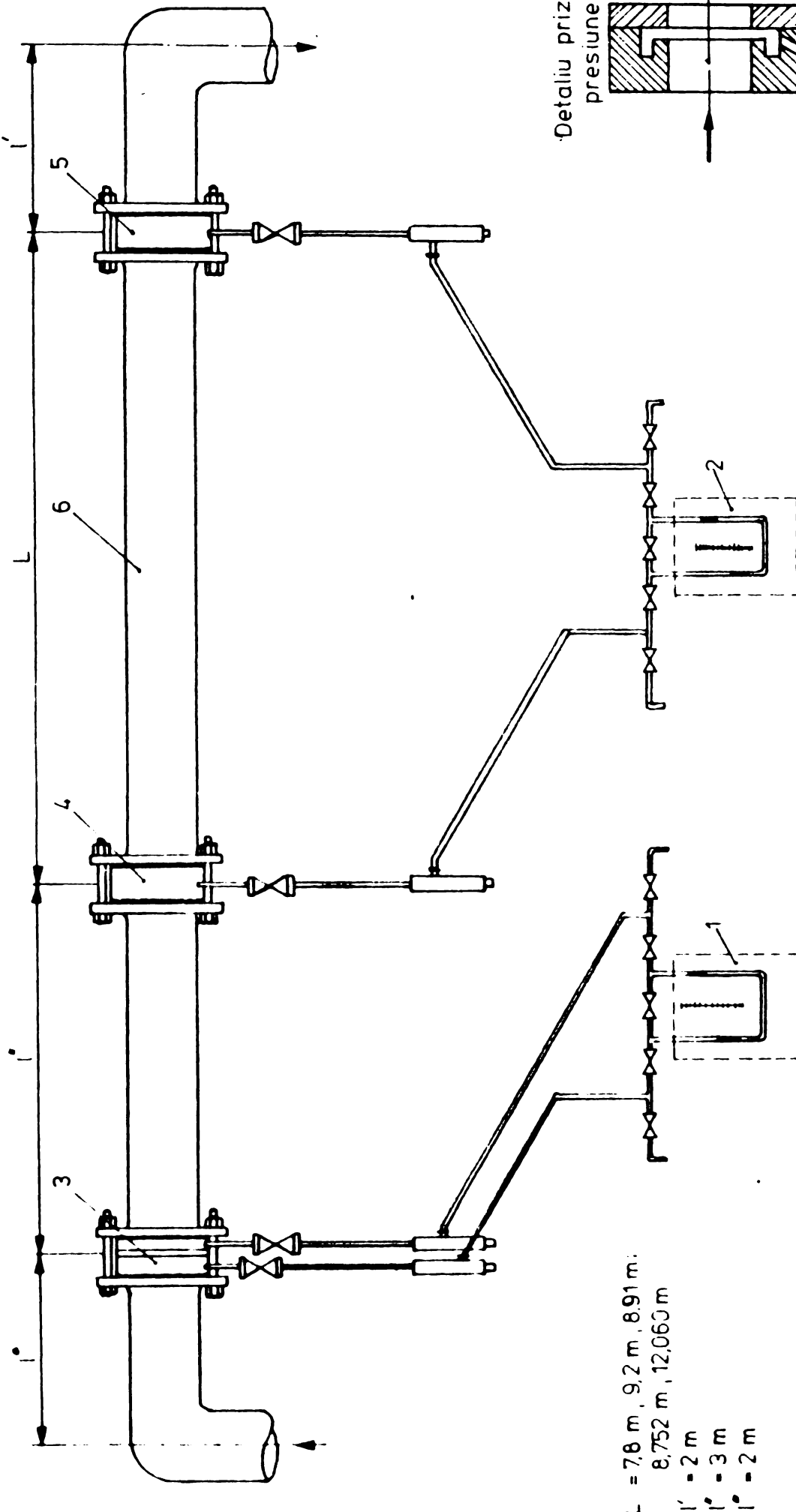
În tabel (8.1) sunt prezentate caracteristicile geometrice și de calitate a tronsoanelor de conductă pe care s-au făcut măsurările hidraulice.

Cădorile de presiune s-au măsurat cu piezometre diferențiale cu mercur.

Tabel 8.1

Calitate	Vechime	Lungime tronson	Diametrul interior mediu	Obs.
-	N	L_t	D	
-	ani	m	m	
2" neagră	7,62	7,800	0,0505	Denumirea camerei și a fermei pt instalații
2" neagră	7,00	9,200	0,0510	STAS
2" neagră	4,3	8,910	0,0500	7656-66
2" neagră	4,0	8,752	0,0496	
2" cincată	3,00	12,000	0,0527	

SCHITA MONTAJULUI INSTALATIEI PENTRU DETERMINAREA PIERDERILOR DE SARCINĂ LONGITUDINALĂ



- 1 - piezometru diferențial cu Hg
pt măsurat cădere de presiune
la ajutajui tip „stert de cerc”
2 - piezometru diferențial cu Hg
pt măsurat pierderea de sarcină
longitudinală
- 3 - bloc cu prize presiune și ajutaj
tip „stert de cerc”
4,5 - bloc cu priză presiune cu cameră
inelară
- 6 - conductă 2" industriali

In anexele 8.1.1. și 8.1.5 sunt prezentate datele experimentale, prelucrarea acestora făcîndu-se cu relațiile din tabela 8.2.

Calculul rugozității echivalente s-a făcut în regimul turbulentei pătratice folosind relația Colebrook - White.

Tabela 8.2

Parametrul măsurat	Formula	Obs.
Debitul (măsurat cu ajutorul tipului de cerc)	$Q = \pi A_0 \sqrt{\frac{2g(\rho_{Hg} - \rho_{NaCl})}{\rho_{NaCl}} h_{Hg}}$	$A_0 = 4,5 \cdot 10^{-4} \text{ m}^2$ (8.1)
Viteză soluției de NaCl în conductă	$v = \frac{Q}{S}$	$S = \frac{\pi D^2}{4}$ (8.2)
Pierderea liniară de presiune	$\Delta p = \lambda \frac{l}{D} \rho_{NaCl} \frac{v^2}{2}$	(8.3)
	$\Delta p = H_{Hg} \gamma_{NaCl} \left(\frac{\gamma_{Hg}}{\gamma_{NaCl}} - 1 \right)$	(8.4)
Coeficientul de rezistență longitudinală	$\lambda = \frac{H_{Hg}}{v^2} \frac{2g D \left(\frac{\gamma_{Hg}}{\gamma_{NaCl}} - 1 \right)}{l}$	(8.5)
Numărul Reynolds	$R_e = \frac{v D}{\nu}$	(8.6)
Relația Colebrook-White	$\frac{1}{\sqrt{\lambda}} = -2 \lg \left(\frac{2,51}{R_e \sqrt{\lambda}} + \frac{K}{3,72} \right)$	(8.7)
Rugozitatea relativă	$K = \frac{k_e}{D}$	(8.8)

8.1. Vribacie $\lambda = \lambda (R_e, k_e)$ pentru conductele de 2"

industriale de diverse vechimi

Rezultatele experimentale privind variația coeficien-
tului de rezistență longitudinală s-au concretizat într-o diagramă de
tip Nikuradse în reprezentare logaritmică.

Din această diagramă rezultă următoarele valori ale
rugozității echivalente(stabilite în regimul turbulent patratice)
și folosind relația Colebrook - White) :

Tabela 8.1.1.

Nr. crt.	Calitatea conductei de 2"	N ani vechime	k_e mm	$\frac{D}{k_e}$	OBS.
-	-	ani vechime	mm	-	
0	1	2	3	4	5
1	neagră	7,62	1,50	33,67	
2	neagră	7,00	1,38	36,96	
3	zincață	3,00	0,88	59,88	
4	neagră	4,30	0,40	125,00	
5	neagră	4,00	0,34	145,88	

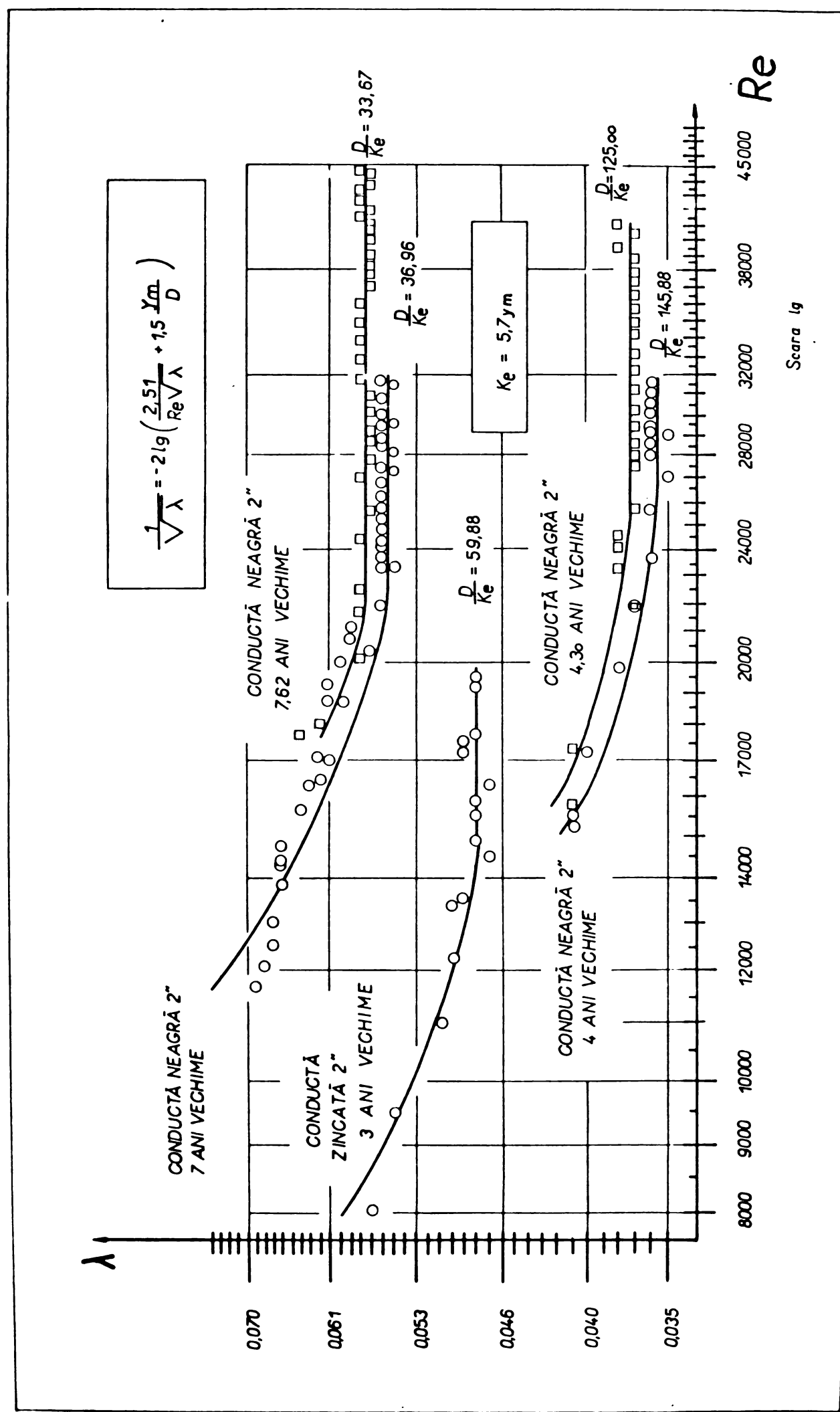
Datele experimentale se regăsesc în anexele 8.1.1. □

8.1.5.

8.2. Profilogramele rugozităților

Folosind principiul secționării optice cu microscopul Linnik - Schimdt și vizualizând rugozitatea specifică instalată prin fotografiere cu un aparat Zenit E s-au obținut profilogramele caracteristice. Aceste profilograme longitudinale rezultate prin explorarea sistematică a unor egantioane de 10 cm lungime din conductele respective au permis definirea statistică a parametrilor geometrici ai rugozității din acest tip(rugozitatea instalată la conductele tehnice de 2" ce vehiculează soluții de NaCl).

Profilele rugozităților astfel obținute s-au înscris fiecare într-un sistem de axe rectangulare cu axa "x" paralelă la axa conductei și tangentă la minimul profilului (conform fig. 7.2.1.1.).



Rezultatele măsurătorilor se regăsesc în anexele

8.2.1. - 8.2.5.

În tabele 8.2.1. sunt evidențiați parametrii geometrici și rugozității pentru fiecare categorie de conductă. Parametrii y_m , σ , h (definiți în cap. 7.2.1) caracteristici unui tip de rugozitate sunt o medie aritmetică a parametrilor respectivi măsurati pe fiecare profilogramă.

Astfel :

$$y_m = \frac{\frac{1}{n} \sum_{i=1}^n h_i}{\frac{1}{n} \sum_{i=1}^n l_i} \quad (8.2.1.)$$

$$\sigma = \frac{\frac{1}{n} \sum_{i=1}^n l_i}{\frac{1}{n} \sum_{i=1}^n l_i} \quad (8.2.2.)$$

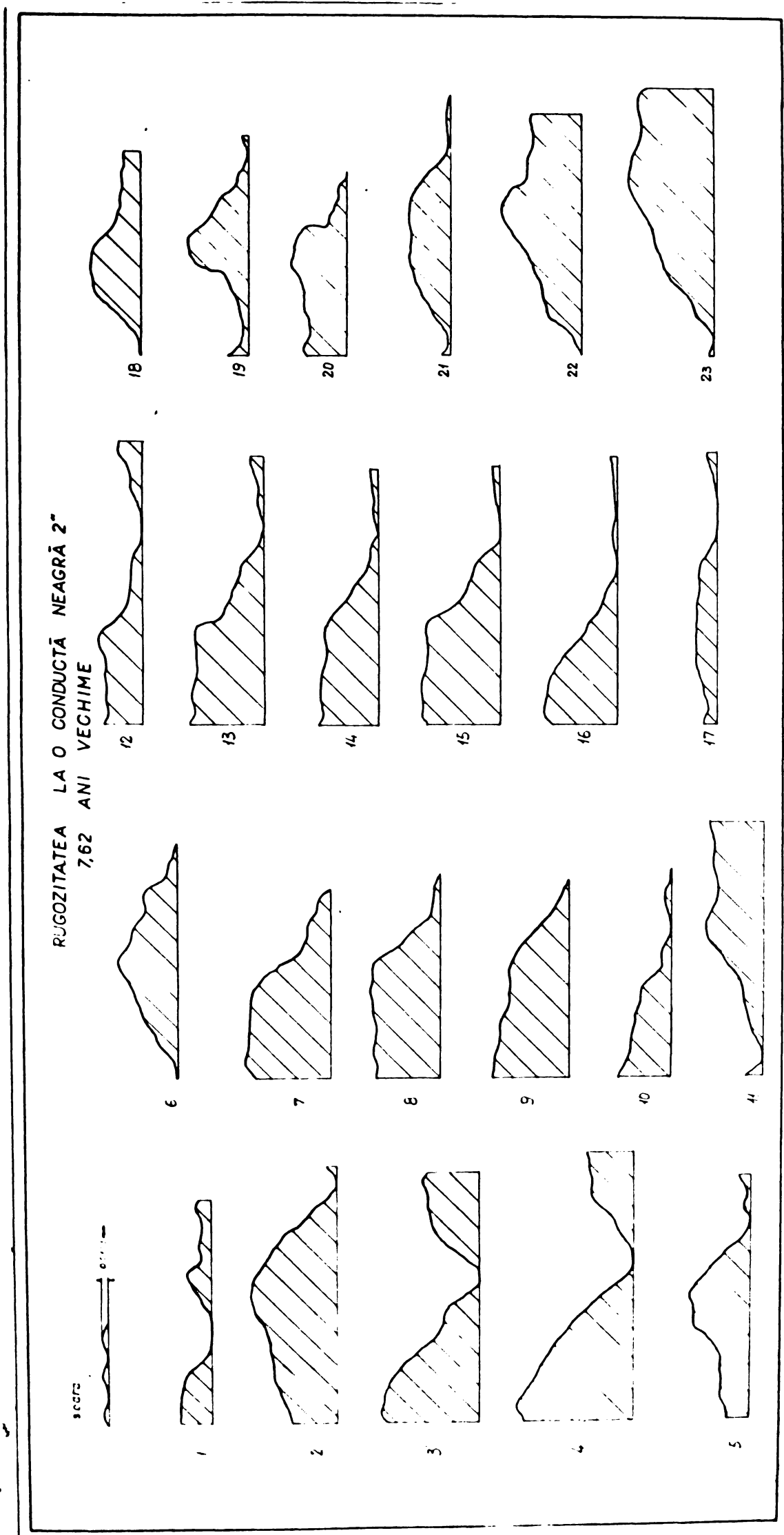
$$h = \frac{1}{n} \sum_{i=1}^n h_i \quad (8.2.3.)$$

unde n = numărul profilogramelor

Tabela 8.2.1

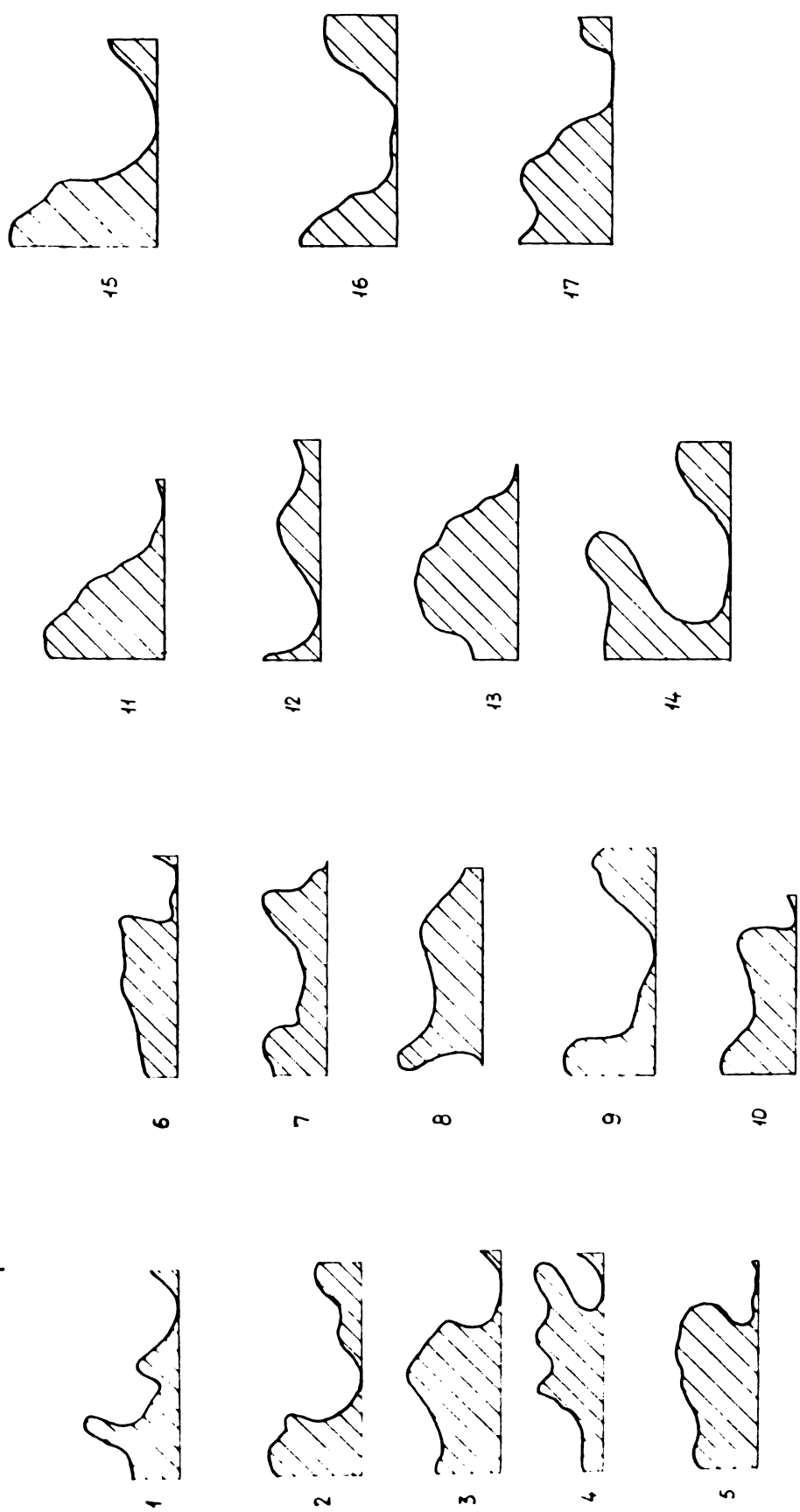
Nr. crt.	Calitatea conductei	N ani vechime	y_m mm	σ -	h mm	Obs.
-	-	-	-	-	-	-
0	1	2	3	4	5	6
1	neagră	7,62	0,269	1,306	0,513	-
2	neagră	7,00	0,239	1,436	0,508	-
3	zincată	3,00	0,153	1,237	0,351	-
4	neagră	4,30	0,069	1,217	0,144	-
5	neagră	4,00	0,060	1,189	0,112	-

In continuare se va cerceta în ce măsură acești parametrii au și o semnificație hidraulică.



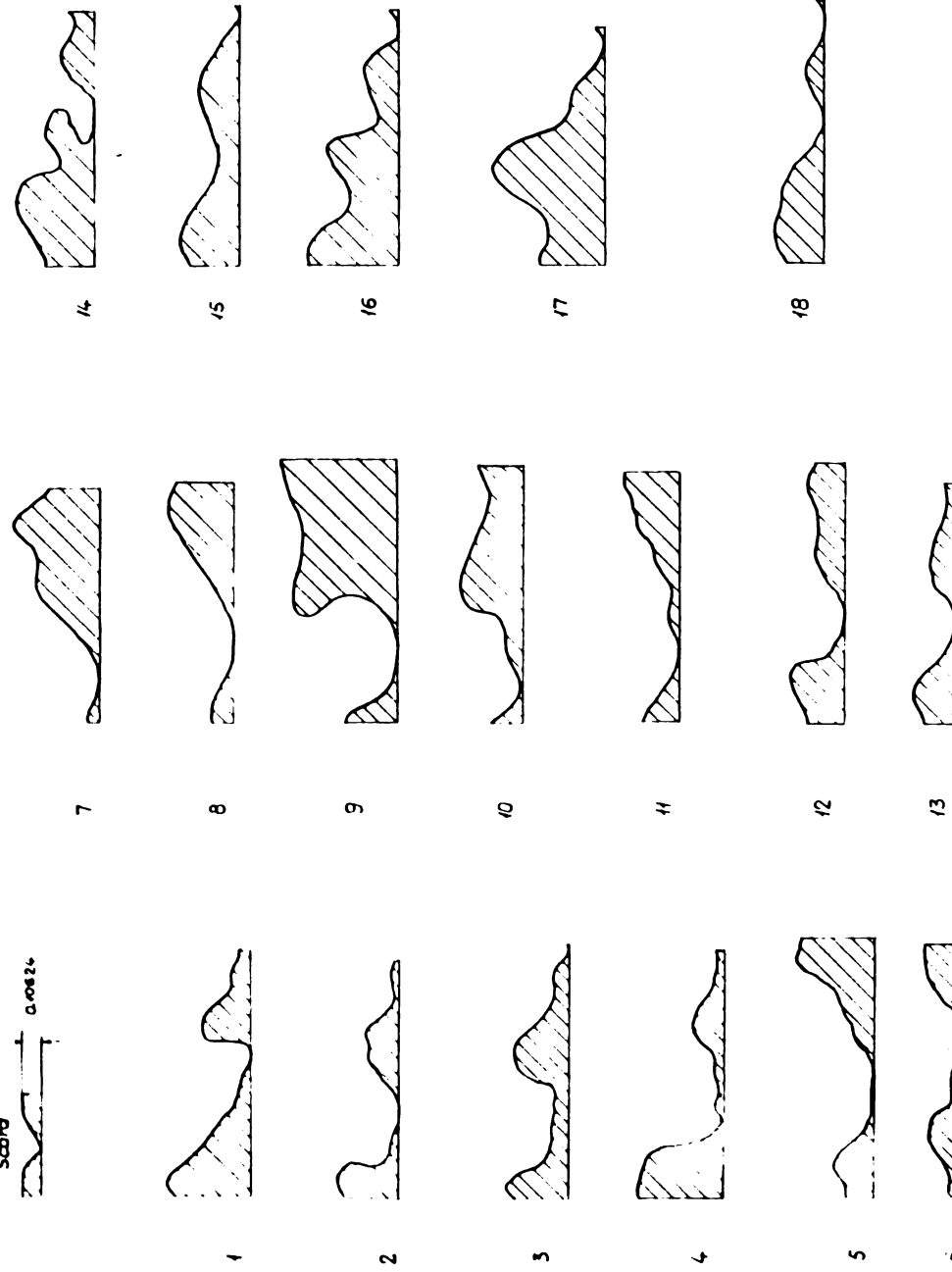
RUGOZITATEA LA CONDUCTĂ NEAGRĂ 2^a
7 ANI VECHE

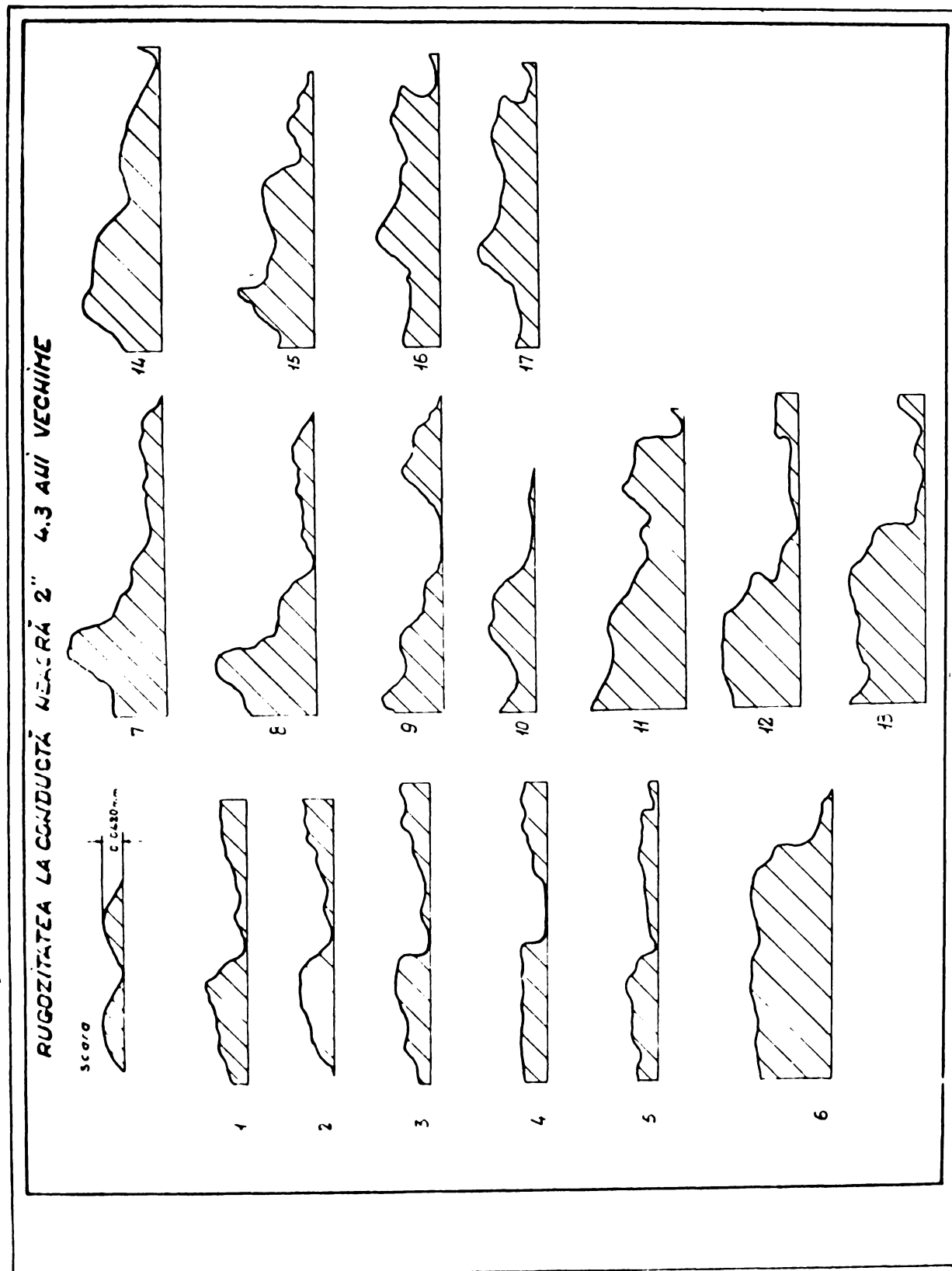
1 mm
 1 cm



RUGOSITATEA LA O CONDUCTĂ ZINCATĂ 2"

Scara
0.0024





RUGOZITATE LA O CONDUCĂ NEAGRĂ 2"

Scara



8



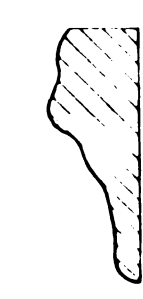
1



9



16



3



10



17



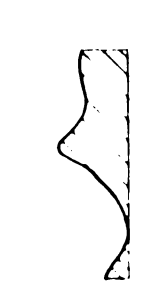
4



11



18



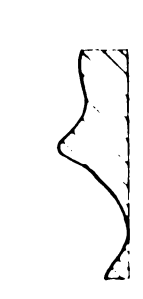
5



12



19



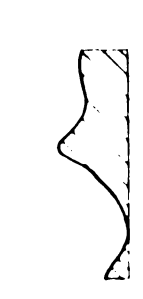
6



13



20



7



8



14



21



9



15



22

9 Modelul matematic la conductele tehnice ce transportă soluții de NaCl

Experiențele cu conducte tehnice (ce au rugozitatea naturală) au arătat că formula lui Colebrook - White

$$\frac{1}{\sqrt{\lambda}} = -2 \lg \left(\frac{2.51}{R_e \sqrt{\lambda}} + \frac{k_e}{3.72 D} \right) \quad (9.1)$$

coincide foarte bine cu datele experimentale în întreaga zonă turbulentă.

Graficul acestei funcții cu excepția dreptei I. a lui Poiseuille reprezintă diagrama lui Moody (fig. 5.1).

Utilizarea acestei diagrame este evidentă. Cunoscând natura materialului conductei și timpul ei de funcționare, se apreciază rugozitatea echivalentă k_e , deci și rugozitatea echivalentă relativă k_e/D . Aceasta precizează în diagramă o anumită curbă care dă pe λ în funcție de R_e .

Determinarea rugozității echivalente k_e este într-o anumită măsură subiectivă, deoarece trebuie apreciată intensitatea depunerilor sau a coroziunii, modul de montaj etc.

Lăsând ca referință modelul matematic concretizat prin formula Colebrook - White se vor cerceta relațiile cu privire la rugozitatea echivalentă. Aceasta se va defini cu parametrii prin care s-a descris geometria rugozității la conductele tehnice de 2", îmbinate prin sudură ce transportă soluții de NaCl.

9.1. Funcția de corelație :

Aplicarea metodei de analiză a corelației permite a studia dependența dintre două variabile, fiecare dintre ele fiind supusă la o împrăștiere aleatoare.

Atâtând fiecărei valori a uneia dintre variabile media valorilor corespunzătoare ale celeilalte variabile, se obține funcție de regresie. În funcție de cum se ia valoarea medie teoretică sau valoarea medie empirică, se obține regresia teoretică sau regresia empirică. Măsura dependenței dintre mărimi este caracterizată prin coeficientul de corelație sau prin raportul de corelație. Corelația se numește liniară dacă ambele funcții de regresie sunt liniare și în acest caz curbele de regresie sunt drepte de regresie. Pantele acestor drepte se exprimă prin coeficientul de corelație.

Folosind datele experimentale obținute (cap. 9) s-a studiat corelația dintre valorile rugozității echivalente k_e și a valorii lui y_m prin care s-a definit geometric rugozitatea propriu-zisă.

Cu aceste valori s-a calculat coeficientul empiric de corelație.

$$r = \frac{1}{S_{y_m} S_{k_e}} \cdot \frac{1}{n-1} \sum_{i=1}^n (y_{m_i} - \bar{y}_m) (k_{e_i} - \bar{k}_e) \quad (9.1.1)$$

în care :

estimările nedeplasate și consistente ale valorilor medii teoretice \bar{y}_m și \bar{k}_e sunt valorile medii empirice :

$$\bar{y}_m = \frac{1}{n} \sum_{i=1}^n y_{m_i} \quad (9.1.2)$$

$$\bar{k}_e = \frac{1}{n} \sum_{i=1}^n k_{e_i} \quad (9.1.3)$$

$$i=1, 2, 3, 4, 5$$

și estimările nedeplasate și consistente ale dispersiilor sunt dispersiile empirice S_{y_m} și S_{k_e}

$$S_{y_m}^2 = \frac{1}{n-1} \sum_{i=1}^n (y_{m_i} - \bar{y}_m)^2 \quad (9.1.4)$$

$$S_{k_e}^2 = \frac{1}{n-1} \sum_{i=1}^n (k_{e_i} - \bar{k}_e)^2 \quad (9.1.4')$$

$$i=1, 2, 3, 4, 5$$

Cu valorile k_{e_i} , y_{m_i} din tabela 8.1.1. și 8.2.1. se obțin :

$$\bar{y}_m = 0,158 \quad (9.1.5)$$

$$\bar{k}_e = 0,9 \quad (9.1.6)$$

$$S_{y_m} = 0,096 \quad (9.1.7)$$

$$S_{k_e} = 0,537 \quad (9.1.8)$$

și

$$r = 0,994 \quad (9.1.9)$$

Cu k_e coefficientul de corelație se apropiște mai mult de 1 cu atât este mai strânsă dependența liniară între variabile, adică este cu atât mai mică (relativ) abaterea medie pătratică a reprezentării fișăruia dintr-o variabilă cu ajutorul unei funcții liniare de ceeață variabilă.

$$9.2. \bar{y}_e = k_e(y_m)$$

Dependența funcțională liniară a rugozității echivalente k_e față de parametrul y_m se reprezintă grafic printr-o dreaptă. Pentru determinarea parametrilor ei prin metoda celor mai mici pătrate se folosește proprietatea că dreapta trece prin punctul (\bar{k}_e, \bar{y}_m) de coordinate a mediilor aritmetice ale coordonatelor punctelor date.

Ecuția dreptei fiind scrisă sub forma

$$k_e - \bar{k}_e = a(y_m - \bar{y}_m) \quad (9.2.1)$$

parametrul a se determină cu ajutorul relației

$$a = \frac{\bar{y}_m \cdot k_e - \bar{y}_m \cdot \bar{k}_e}{\bar{y}_m^2 - (\bar{y}_m)^2} \quad (9.2.2)$$

Intrucît toate măsurătorile s-au făcut cu aceeași precizie formulele pentru obținerea parametrilor sunt :

$$\bar{y}_m^2 = \frac{1}{n} \sum_{i=1}^n y_{m_i}^2 \quad (9.2.3)$$

$$\bar{y}_m \cdot k_e = \frac{1}{n} \sum_{i=1}^n y_{m_i} \cdot k_{e_i} \quad (9.2.4)$$

$$i=1, 2, 3, 4, 5$$

Cu $\bar{y}_m = 0,158$, $\bar{k}_e = 0,9$ calculate anterior (cap. 9.1) și y_m, k_e din tabela 8.1.1. și 8.2.1 rezultă :

$$\bar{y}_m^2 = 0,032 \quad (9.2.5)$$

$$\bar{y}_m \cdot k_e = 0,183 \quad (9.2.6)$$

și

$$a = 5,7 \quad (9.2.7)$$

Inlocuind aceste valori în (9.2.1) obținem

$$k_e - 0,9 = 5,7(y_m - 0,158) \quad (9.2.8)$$

sau

$$k_e = 5,7 + y_m \quad (9.2.9)$$

Tabelar, rezultatele se prezintă astfel :

Tabela 9.2.1

Nr. crt.	Calitatea conductei	k _e an vechime	y _m mm	k _x = $\frac{k_e}{y_m}$	k _{xM} = $\frac{\sum k_{xi}}{5}$	k _{xM} - k _x $\frac{k_{xM} - k_x}{k_{xM}}$	OIS	
0	1	2	3	4	5	6	7	8
1	neagră	7,62	1,50	0,269	5,6		1,75	
2	neagră	7,00	1,38	0,239	5,8	5,7	-1,75	
3	zincată	3,00	0,88	0,153	5,8		1,75	
4	neagră	4,30	0,40	0,069	5,8		-1,75	
5	neagră	4,10	0,34	0,060	5,7		0	

Prin cercetarea fizică și matematică a rugozității s-a reușit să se pună în evidență dependența liniară dintre rugozitatea echivalentă k_e și parametrul geometric al rugozității y_m .

In tabelul 9.2.1 aceasta s-a concretizat prin punerea în evidență a constantei k_x .

Această constantă devine o caracteristică a rugozității specifice ce se instalează în conductele de 2" industriale îmbinate prin sudură, ce transportă soluții de NaCl.

Determinând direct, în conductă parametrul geometric y_m se poate cunoaște imediat, fără măsurători hidraulice în laborator, efectul hidraulic pe care îl are acest fel de rugozitate.

In felul acesta k_x devine o constantă remarcabilă prin semnificația sa fiind punctua de legătură dintre "cauză" și "efect".

9.3. Ecuția rezistenței hidraulice

Relația criterială a pierderii de presiune în conducte :

$$\Delta h = \frac{l}{d} \lambda (R_e, K) \quad (9.3.1)$$

are valabilitate practică în funcție de cunoașterea ecuației coeficien-tului de rezistență.

$$\lambda = \lambda (R_e, K) \quad (9.3.2)$$

Prin el se facearea trecerii de la cazul particular al rugozității pînă la rugozitatea tehnică a conductelor ce vehiculează soluții de NaCl, formula lui Colebrook și White valabilă în întreaga zonă bulentă se transformă folosind relația (9.2.9).

$$k_e = 5,7 y_m$$

înlocuind în relație C. V

$$\frac{1}{\sqrt{\lambda}} = -2 \log\left(\frac{2,51}{R_e \sqrt{\lambda}} + \frac{k_e}{3,72 \cdot D}\right) \quad (9.3.3)$$

se obține :

$$\frac{1}{\sqrt{\lambda}} = -2 \log\left(\frac{2,51}{R_e \sqrt{\lambda}} + 1,5 \frac{y_m}{D}\right) \quad (9.3.4)$$

$$\underline{9.4. k_e} = k_e(N)$$

Dependența lipiară a rugozității echivalente de vechimea în exploatare a conductei este unanim acceptată. Pentru determinarea parametrilor acestei funcții,

$$k_e - \bar{k}_e = b(N - \bar{N}) \quad (9.4.1)$$

prin metoda celor mai mici patrate se calculează coordonatele mediile aritmetice,

$$\bar{N} = \frac{1}{n} \sum_{i=1}^n N_i \quad (9.4.2)$$

$$\bar{k}_e = \frac{1}{n} \sum_{i=1}^n k_e \quad (9.4.3)$$

$$i=1, 2, 3, 4$$

Parametrul b se determină cu ajutorul relației

$$b = \frac{\bar{N} \cdot \bar{k}_e - \bar{N} \cdot \bar{N}}{\bar{N}^2 - (\bar{N})^2} \quad (9.4.4)$$

unde :

$$\bar{N} \cdot \bar{k}_e = \frac{1}{n} \sum_{i=1}^n N_i \cdot k_e \quad (9.4.5)$$

$$\bar{N}^2 = \frac{1}{n} \sum_{i=1}^n N_i^2 \quad (9.4.6)$$

$$i=1, 2, 3, 4$$

Cu valorile din tb.9.4.1

k_e (mm)	1,50	1,38	0,40	0,34
N (ani)	7,62	7,00	4,30	4,00

Tb.9.4.1

se obțin :

$$\bar{N} = 5,73$$

$$\bar{k}_e = 0,905$$

$$\bar{N}^2 = 35,389$$

$$\bar{N} \cdot \bar{k}_e = 6,043$$

$$b = 0,335$$

rezultă :

$$k_e = 0,335 \quad N=1,015$$

relația funcțională dintre rugozitatea echivalentă și vechimea conductelor de 2" negre, ce transportă soluții de NaCl.

Inlocuind pe k_e cu relația echivalentă (9.2.9)

se obține :

$$y_m = 0,059 \cdot N = 0,178 \quad (9.4.8)$$

Io. CONCLUZII

Lucrarea reprezintă prima abordare sistematică a geometriei și hidraulicei rugozității în conductele tehnice ce transportă soluții de NaCl.

Conductele de 2" îmbinate prin sudură sunt folosite în industria fermentativă a berei pentru transportul agentului secundar de răcire soluție de NaCl. Proiectarea și exploatarea acestor conducte componente a unei rețele frigorifice impun cunoașterea unor aspecte neelucidate în prezent în literatura de specialitate: rugozitatea echivalentă și variația în timp a acesteia.

Întreaga valabilitate aplicativă a teoriei rezistenței hidraulice longitudinale în conducte este dependentă de parametrul echivalent al rugozității nisipului. Parametrul de echivalentă determinat deocamdată numai în laborator, pe cale hidraulică, pentru o rugozitate tehnică, se prezintă ca o deficiență a teoriei rezistenței hidraulice. Din acest punct de vedere pe linie cercetării fundamentale se necesită studierea relației între geometria rugozității și rezistența hidraulică a conduitelor tehnice ce transportă soluții de NaCl.

Acestor probleme lucrarea de față le dă o rezolvare prin rezultatele experimentale și teoretice obținute.

Sistematizând rezultatele obținute în cadrul lucrării se desprind următoarele contribuții:

A.) Determinarea pe cale experimentală a rugozității echivalente (k_e) la conductele tehnice ce transportă soluții de NaCl.

Prin măsurători hidraulice, folosind piezometre diferențiale cu Hg și prize de presiune cu cameră inelată, în rețeaua frigorifică a Intreprinderii de bere Timișoara s-au determinat căderile longitudinale de presiune.

Rugozitatea echivalentă calculată în regimul turbulentei patratice cu relația Colebrook - White este următoarea :

Tb. 1o .1.

Calitatea x conducției	neagră	neagră	zincață	neagră	neagră
k_e (mm)	1,5	1,38	0,88	0,40	0,34
$\frac{D}{k_e}$	33,67	36,96	59,88	125,00	145,88
N (eni)	7,62	7,00	3,00	4,30	4,00

x) Conductă neagră = țeavă din oțel carbon, nezincață. Determinarea diametrelor interioare s-a făcut volumetric , prin umplerea cu apă a tronsonului de conductă , eroarea $\leq 0,5 \cdot 10^{-4} \text{ m}$.

Pentru măsurarea debitului s-a folosit un ajutaj "sfert de cerc" în execuția Uzinei Electroprecizie Săcele - secție Gheorgheni .

Etalonarea ajutajului s-a făcut pe un stand anume construit în Intreprinderea de bere Timișoara . Coeficientul de debit s-a determinat cu trei zecimale exacte ($\alpha = 0,830 \pm 0,0083$ pentru o probabilitate de 99,9 %) .

Eroarea unei singure determinări a coeficientului de debit din sirul de determinări nu a depășit 1,85 % .

B.) Elucidarea variației în timp a rugozității echivalente la conductele tehnice , îmbinăte prin sudură , ce transportă soluții de NaCl .

Prin relație

$$k_e = 0,335 N + 1,015 \quad (1o.1)$$

s-a concretizat dependența dintre rugozitatea echivalentă și durata de serviciu a conductei .

Coeficientii relației liniare (1o.1) s-au determinat prin metoda celor mai mici patrate .

C.) Elaborarea unei metode originale de obținere a profilegramei longitudinale a rugozității .

Folosind principiul secționării optice a microscopului Linnik-Schmaltz s-a conceput și pus la punct o metodă ce permite obținerea prin fotografiere a profilului longitudinal a rugozității într-o conductă. Prin mărire la o scară convenabilă a acestei profilograme se pot măsura parametrii geometrici ai rugozității.

D.) Elaborarea unui model matematic ce permite calculul coeficientului de rezistență longitudinală și cunoașterea directă a rugozității echivalente prin măsurarea geometriei rugozității.

Profilogramele obținute, pe conducte diferite din rețeaua frigorifică cu soluție de NaCl a Întreprinderii de bere Timigoreana su permis investigarea geometriei rugozității.

S-a pus astfel în evidență un parametru y_m care, determinat statistic, devine caracteristica geometrică a rugozității.

Aplicând metoda de analiză a corelației și metoda celor mai mici patrate s-a studiat dependența dintre k_e și y_m sub forma relației :

$$k_e = k_x y_m \quad (10.2)$$

unde :

$$k_x = 5,7 \quad (10.3)$$

In felul acesta prin cercetarea fizică și matematică a rugozității conductelor ce transportă soluții de NaCl s-a reușit reliefarea dependenței linieră dintre rugozitatea echivalentă și parametrul geometric al rugozității y_m .

Constanta k_x , ce nu a avut o abateră mai mare de 1,75% la 5 tipuri de conducte pe care s-au făcut măsurările, este o caracteristică a rugozității specifice studiate.

Determinând direct în conductă parametrul geometric y_m se poate cunoaște imediat, fără măsurători hidraulice în laborator, efectul hidraulic pe care îl are acest fel de rugozitate.

Relația Colebrook-White a rezistenței hidraulice valabilă în toate fazele curgerii turbulentă devine prin intermediul relației (10.2)

$$\frac{1}{\sqrt{\lambda}} = -2 \left(\lg \frac{2,51}{R_e} + 1,5 \frac{y_m}{D} \right) \quad (10.4)$$

Acest model matematic permite calculul coeficientului de rezistență longitudinală prin măsurarea directă a geometriei rugozității.

Cercetările din prezenta lucrare pot constitui premisele pentru studiul în continuare a rugozității tehnice și a relației directe ce există între geometria acesteia și efectul hidraulic ce-l determină. Se pot îmbunătăți, desemnează, modelul matematic și experimental, prin perfeționarea metodelor de investigație, a aparaturii și metodei de prelucrare.-

11. A n e x e

Anexa 7.1.2.2.2. Rezultate experimentale privind etalonarea ajutajului pentru măsurarea debitului.

Calculul coeficientului de debit s-a făcut cu relația :

$$\alpha_1 = \frac{Q_m}{A_o \sqrt{2g} \left(\frac{f_m}{f_t} - 1 \right) h}$$

$$d_o = 26,31 \text{ mm} \quad A_o = 5,437 \cdot 10^{-4} \text{ m}^2 \quad V_{vas} = 0,06 \text{ etalonat}$$

Nr. crt.	Parametrii soluție NaCl		Timp umplere vas etalon	Cota piezo- metrică	Greutate spec. lichid manometric (Hg)	Debit măsu- rat	Coefi- cient debit	Or
	t	$f_{20^\circ C}$						
0	-1	gf/cm^3	f_t	h	f_m	Q_m	α_1	
1	-1,9	gf/cm^3	f_t	h	f_m	Q_m	α_1	
2	-1,9	gf/cm^3	f_t	h	f_m	Q_m	α_1	
3	-1,9	gf/cm^3	f_t	h	f_m	Q_m	α_1	
4	-1,9	gf/cm^3	f_t	h	f_m	Q_m	α_1	
5	-1,1	gf/cm^3	f_t	h	f_m	Q_m	α_1	
6	-1,9	gf/cm^3	f_t	h	f_m	Q_m	α_1	
7	-1,1	gf/cm^3	f_t	h	f_m	Q_m	α_1	
8	-1,1	gf/cm^3	f_t	h	f_m	Q_m	α_1	
9	-1,9	gf/cm^3	f_t	h	f_m	Q_m	α_1	
10	-1,1	gf/cm^3	f_t	h	f_m	Q_m	α_1	
1.	-3,5	1,106	1,120	30,0	18	0,240	13,574	3,333 0,8472
2.	-1,9	1,105	1,110	31,5	18,9	0,223	13,583	3,175 0,8328
3.	-1,9	1,105	1,110	34,0	20,4	0,197	13,583	2,941 0,8208
4.	-1,9	1,105	1,110	36,0	21,6	0,178	13,583	2,777 0,8153
5.	-1,1	1,124	1,124	36,5	23,1	0,153	13,528	2,597 0,8377 f_m cores.
6.	-1,9	1,105	1,110	39,5	23,7	0,140	13,583	2,538 0,8382 toare te
7.	-1,1	1,124	1,142	39,5	23,7	0,143	13,528	2,531 0,8439 raturii
8.	-1,1	1,124	1,142	41,0	24,6	0,133	13,528	2,439 0,8432
9.	-1,9	1,105	1,110	42,0	25,2	0,122	13,583	2,381 0,8444
10.	-1,1	1,124	1,42	42,5	25,5	0,124	13,520	2,352 0,8421

. / .

	0	1	2	3	4	5	6	7	8	9	10
11.	-1,9	1,105	1,110	43,0	25,8	0,116	13,583	2,326	0,8459		
12.	-8	1,122	1,140	45,0	27,0	0,114	13,546	2,222	0,8284		
13.	-11	1,124	1,142	45,5	27,3	0,114	13,528	2,198	0,8208		
14.	-8	1,122	1,140	46,0	27,6	0,109	13,546	2,174	0,8288		
15.	-11	1,124	1,142	47,5	28,5	0,100	13,528	2,105	0,8393		
16.	-1,9	1,105	1,110	50,0	30,0	0,090	13,583	2,000	0,8258		
17.	-11	1,124	1,142	51,0	30,6	0,091	13,528	1,961	0,8196		
18.	-11	1,124	1,142	51,0	31,2	0,086	13,528	1,923	0,8268		
19.	-7,4	1,125	1,142	54,0	32,4	0,080	13,549	1,852	0,8249		
20.	-7	1,131	1,145	56,5	33,9	0,073	13,552	1,770	0,8264		
21.	-7,4	1,125	1,142	58,0	34,8	0,072	13,549	1,724	0,8094		
22.	-7,4	1,125	1,142	59,0	35,4	0,067	13,549	1,695	0,8249		
23.	-1,9	1,105	1,110	61,5	36,9	0,062	13,583	1,626	0,8089		
24.	-7	1,131	1,145	61,0	36,6	0,062	13,552	1,639	0,8303		
25.	-7	1,131	1,145	79,0	74,4	0,037	13,552	1,266	0,8302		

anexa 3.1.1.8. Rezultate experimentale privind determinarea hidraulică a coeficientului λ de rezistență longitudinală la conducte negre de 2" cu o vechime în exploatare de 7,62 ani. Valori măsurate direct.

Nr. crt.	Data	Temperaturi		Cote piezometrice		Densi- tate sol. sare NaCl la 20°C g/cm³	
		t_{aer} °C	t_{sol} °C NaCl	h_{ajutaj} mm col Hg	$H_{conductă}$ mm col Hg		
0	1	2	3	4	5	6	7
1.	2.07.1977	5,5	-0,4	284	128	1,100	
2.	2.07.1977	5,5	-0,4	278	124	1,100	
3.	2.07.1977	5,5	-0,4	269	120	1,100	
4.	2.07.1977	5,5	-0,4	262	118	1,100	
5.	2.07.1977	5,5	-0,4	256	116	1,100	
6.	2.07.1977	5,5	-0,4	247	110	1,100	
7.	2.07.1977	5,5	-0,4	241	108	1,100	L = 7,6 m t
8.	2.07.1977	5,5	-0,4	235	104	1,000	
9.	2.07.1977	5,5	-0,4	230	102	1,100	
10.	2.07.1977	5,5	-0,4	224	100	1,100	D =
11.	2.07.1977	5,5	-0,4	211	94	1,100	0,05 m
12.	2.07.1977	5,5	-0,4	206	92	1,100	m.
13.	2.07.1977	5,5	-0,4	200	90	1,100	
14.	2.07.1977	5,5	-0,4	192	86	1,100	
15.	2.07.1977	5,5	-0,4	181	82	1,100	
16.	2.07.1977	5,5	-0,4	170	77	1,100	
17.	2.07.1977	5,5	-0,4	161	72	1,100	
18.	2.07.1977	5,5	-0,4	151	68	1,100	
19.	2.07.1977	5,5	-0,4	141	64	1,100	
20.	2.07.1977	5,5	-0,4	134	60	1,100	
21.	2.07.1977	5,5	-0,4	126	56	1,100	
22.	2.07.1977	5,5	-0,4	119	53	1,100	
23.	2.07.1977	5,5	-0,4	115	50	1,100	
24.	2.07.1977	5,5	-0,4	108	48	1,100	
25.	2.07.1977	5,5	-0,4	102	46	1,100	
26.	2.07.1977	5,5	-0,4	92	41	1,100	

- 2 -

0	1	2	3	4	5	6	7
27.	2.07.1977	5,5	-0,4	84	38	1,100	
28.	2.07.1977	5,5	-0,4	71	32	1,100	
29.	2.07.1977	5,5	-0,4	66	30	1,100	
30.	2.07.1977	5,5	-0,4	57	26	1,100	
31.	2.07.1977	5,5	-0,4	46	22	1,100	
32.	2.07.1977	5,5	-0,4	40	22	1,100	

Anexa 8.1.1.b. Rezultate experimentale calculate pe baza anexei 8.1.1.a.

Nr. or.	Parametrii soluție			Cotă piez. ajut.	Debit sol. NaCl	Viteză solut. NaCl	Număr Rey- nolds	Coef. piez. cond.	Rug. echiv.	OF
	t^o	ρ_{20^oC}	β_{t^oC}							
-	-	-	-	-	-	-	-	-	-	-
-	0^oC	$1,114 \cdot 10^{-3}$	$1,114 \cdot 10^{-2}$	$1,114 \cdot 10^{-3}$	$1,114 \cdot 10^{-4}$	$1,114 \cdot 10^{-5}$	$1,114 \cdot 10^{-6}$	$1,114 \cdot 10^{-7}$	$1,114 \cdot 10^{-8}$	$1,114 \cdot 10^{-9}$
-	-	-	-	-	-	-	-	-	-	-
0	1	2	3	4	5	6	7	8	9	10
1.	-0,4	1,100	1,114	$1,99 \cdot 10^{-6}$	13,5951	0,284	35,483	1,772	44968	0,058
2.	-0,4	1,100	1,114	$1,99 \cdot 10^{-5}$	13,5951	0,278	35,084	1,752	44460	0,057
3.	-0,4	1,100	1,114	$1,99 \cdot 10^{-6}$	13,5951	0,269	34,551	1,726	43800	0,057
4.	-0,4	1,100	1,114	$1,99 \cdot 10^{-7}$	13,5951	0,262	34,085	1,703	43217	0,058
5.	-0,4	1,100	1,114	$1,99 \cdot 10^{-6}$	13,5951	0,256	33,686	1,683	42709	0,058
6.	-0,4	1,100	1,114	$1,99 \cdot 10^{-6}$	13,5951	0,247	33,087	1,653	41948	0,057
7.	-0,4	1,100	1,114	$1,99 \cdot 10^{-6}$	13,5951	0,241	32,687	1,633	41440	0,058
8.	-0,4	1,100	1,114	$1,99 \cdot 10^{-6}$	13,5951	0,235	32,288	1,613	40933	0,057
9.	-0,4	1,100	1,114	$1,99 \cdot 10^{-6}$	13,5951	0,230	31,955	1,596	40501	0,057
0.	-0,4	1,100	1,114	$1,99 \cdot 10^{-6}$	13,5951	0,224	31,556	1,576	39994	0,057
1.	-0,4	1,100	1,114	$1,99 \cdot 10^{-6}$	13,5951	0,211	30,624	1,530	38827	0,094
2.	-0,4	1,100	1,114	$1,99 \cdot 10^{-6}$	13,5951	0,206	30,224	1,510	38319	0,092
3.	-0,4	1,100	1,114	$1,99 \cdot 10^{-6}$	13,5951	0,200	29,958	1,496	37964	0,090
4.	-0,4	1,100	1,114	$1,99 \cdot 10^{-6}$	13,5951	0,192	29,226	1,460	37050	0,086
5.	-0,4	1,100	1,114	$1,99 \cdot 10^{-6}$	13,5951	0,181	28,360	1,417	35959	0,082
6.	-0,4	1,100	1,114	$1,99 \cdot 10^{-6}$	13,5951	0,170	27,495	1,373	34842	0,077

ρ_{Hg} - densitatea mercurului
 Hg - aditivul
 $m col Hg$ - masa coloanei de mercur
 Re - numărul Reynolds
 H_{Hg} - rezistența hidraulică a tubului

λ - coeficientul de fricție

k_e - rugositatea echivalentă

$L_t = 7,8$ m

$D = 0,0505$ m

f_H , coresp.

toare tem-

turi de

- 2 -

	1	2	3	4	5	6	7	8	9	10	11	12	13
0													
17.	-0,4	1,100	1,114	1,99.10 ⁻⁶	13,5951	0,161	26,695	1,333	33827	0,072	0,058	1,5	
18.	-0,4	1,100	1,114	1,99.10 ⁻⁶	13,5951	0,151	29,897	1,294	32638	0,068	0,058	1,5	
19.	-0,4	1,100	1,114	1,99.10 ⁻⁶	13,5951	0,141	25,031	1,250	31,721	0,064	0,058	1,5	
20.	-0,4	1,100	1,114	1,99.10 ⁻⁶	13,5951	0,134	24,432	1,220	30960	0,060	0,057	1,5	
21.	-0,4	1,100	1,114	1,99.10 ⁻⁶	13,5951	0,126	23,700	1,184	30046	0,056	0,057	1,5	
22.	-0,4	1,100	1,114	1,99.10 ⁻⁶	13,5951	0,119	22,963	1,147	29107	0,053	0,057	1,4	
23.	-0,4	1,100	1,114	1,99.10 ⁻⁶	13,5951	0,115	22,635	1,131	28701	0,056	0,057	1,4	
24.	-0,4	1,100	1,114	1,99.10 ⁻⁶	13,5951	0,108	21,969	1,097	27836	0,048	0,057	1,4	
25.	-0,4	1,100	1,114	1,99.10 ⁻⁶	13,5951	0,102	21,303	1,064	27001	0,046	0,058	1,5	
26.	-0,4	1,100	1,114	1,99.10 ⁻⁶	13,5951	0,092	20,172	1,008	25580	0,041	0,057	1,4	
27.	-0,4	1,100	1,114	1,99.10 ⁻⁶	13,5951	0,084	19,306	0,964	24472	0,038	0,058	1,5	
28.	-0,4	1,100	1,114	1,99.10 ⁻⁶	13,5951	0,071	17,703	0,885	22458	0,032	0,058	1,5	
29.	-0,4	1,100	1,114	1,99.10 ⁻⁶	13,5951	0,066	17,109	0,855	21697	0,030	0,058	1,5	
30.	-0,4	1,100	1,114	1,99.10 ⁻⁶	13,5951	0,057	15,911	0,795	20175	0,026	0,058	1,5	
31.	-0,4	1,100	1,114	1,99.10 ⁻⁶	13,5951	0,046	14,247	0,712	18063	0,022	0,052		
32.	-0,4	1,100	1,114	1,99.10 ⁻⁶	13,5951	0,040	13,980	0,698	17713	0,022	0,054		

Anexa 8.1.2.a. Rezultate experimentale privind determinarea hidraulică a coeficientului λ de rezistență longitudinală la conducte negre de 2" cu o vechime în exploatare de 7 ani. Valori măsurate direct.

Nr. crt.	Data	Temperaturi		Coto piezometrică		Densit. solutie sare la 20°C	OBS.
		t_{aer} $^{\circ}\text{C}$	t_{sare} $^{\circ}\text{C}$	h_{ajutaj} mmcolHg	$H_{\text{conductă}}$ mmcolHg		
		0	1	2	3	4	5
1.	16.12.1976	+4	-3	25	15	1,100	
2.	16.12.1976	+4	-3	27	16	1,100	
3.	16.12.1976	+4	-3	31	18	1,100	
4.	16.12.1976	+4	-3	35	20	1,100	
5.	16.12.1976	+4	-3	38	22	1,100	
6.	16.12.1976	+4	-3	40	23	1,100	
7.	16.12.1976	+4	-3	45	25	1,100	
8.	16.12.1976	+4	-3	49	27	1,100	
9.	16.12.1976	+4	-3	53	28	1,100	
10.	16.12.1976	+4	-3	64	34	1,100	$L_t = 9,2 \text{ cm}$ $D = 0,051 \text{ m}$
11.	16.12.1976	+4	-3	68	36	1,100	
12.	16.12.1976	+4	-3	73	38	1,100	
13.	16.12.1976	+4	-3	79	40	1,100	
14.	16.12.1976	+4	-3	82	42	1,100	
15.	16.12.1976	+4	-3	88	43	1,100	
16.	16.12.1976	+4	-3	100	48	1,100	
17.	16.12.1976	+4	-3	103	50	1,100	
18.	16.12.1976	+4	-3	107	52	1,100	
19.	16.12.1976	+4	-3	112	55	1,100	
20.	16.12.1976	+4	-3	116	57	1,100	
21.	16.12.1976	+4	-3	121	59	1,100	

0	1	2	3	4	5	6	7
22.	16.12.1976	+4	-3	125	61	1,100	
23.	16.12.1976	+4	-3	132	64	1,100	
24.	16.12.1976	+4	-3	138	67	1,100	
25.	16.12.1976	+4	-3	145	70	1,100	
26.	16.12.1976	+4	-3	153	74	1,100	
27.	16.12.1976	+4	-3	159	77	1,100	
28.	16.12.1976	+4	-3	164	80	1,100	
29.	25.12.1976	+5	-2,4	194	94	1,115	
30.	25.12.1976	+5	-2,4	183	88	1,115	
31.	25.12.1976	+5	-2,4	176	85	1,115	
32.	25.12.1976	+5	-2,4	162	78	1,115	
33.	25.12.1976	+5	-2,4	152	73	1,115	
34.	25.12.1976	+5	-2,4	138	66	1,115	
35.	25.12.1976	+5	-2,4	109	53	1,115	
36.	25.12.1976	+5	-2,4	101	49	1,115	
37.	25.12.1976	+5	-2,4	76	38	1,115	
38.	25.12.1976	+5	-2,4	65	34	1,115	
39.	25.12.1976	+5	-2,4	54	29	1,115	
40.	25.12.1976	+5	-2,4	50	27	1,115	
41.	25.12.1976	+5	-2,4	38	22	1,115	
42.	25.12.1976	+5	-2,4	29	17	1,115	

Adresa 8.1.2.b. Rezultate experimentale calculate pe baza anexei 8.1.2.a.

Nr. crt.	Parametrii soluție			Cotă piez. ajut.	Cotă piezom.	Densit. lichid (Hg)	Viteză sol. sare NaCl	Debit sol. sare NaCl	Numărul Reynolds	Cotă piez. cond.	Coef. pierd. long.	Rug. echiv.
	sare NaCl	temp. 20°C	γt									
0.	-1	-	-	-	-	-	-	-	-	-	-	-
1.	0	1	2	3	4	5	6	7	8	9	10	11
2.	-3	1,115	$2,25 \cdot 10^{-6}$	13,5951	0,025	10,507	0,515	11673	0,015	0,069	-	-
3.	-3	1,115	$2,25 \cdot 10^{-6}$	13,5951	0,027	10,906	0,534	12104	0,016	0,068	-	-
4.	-3	1,115	$2,25 \cdot 10^{-6}$	13,5951	0,031	11,704	0,573	12988	0,018	0,067	-	-
5.	-3	1,115	$2,25 \cdot 10^{-6}$	13,5951	0,035	12,436	0,609	13804	0,020	0,066	-	-
6.	-3	1,115	$2,25 \cdot 10^{-6}$	13,5951	0,038	12,968	0,635	14393	0,022	0,066	N=7 ac	-
7.	-3	1,115	$2,25 \cdot 10^{-6}$	13,5951	0,040	13,300	0,651	14756	0,023	0,066	L _t =9,2	-
8.	-3	1,115	$2,25 \cdot 10^{-6}$	13,5951	0,045	14,098	0,690	15640	0,025	0,064	D=0,05	-
9.	-3	1,115	$2,25 \cdot 10^{-6}$	13,5951	0,049	14,697	0,720	16320	0,027	0,063	-	-
0.	-3	1,115	$2,25 \cdot 10^{-6}$	13,5951	0,053	15,295	0,749	16977	0,028	0,061	cor	-
1.	-3	1,115	$2,25 \cdot 10^{-6}$	13,5951	0,064	16,825	0,824	18677	0,034	0,061	zătoar	-
					0,068	17,357	0,850	19267	0,036	0,061	perat	-

./. .

	1	2	3	4	5	6	7	8	9	10	11	12
2. -3	1,100	1,115	2,25.10 ⁻⁶	13,5951	0,073	17,955	0,879	19924	0,038	0,060		
3. -3	1,100	1,115	2,25.10 ⁻⁶	13,5951	0,079	18,687	0,915	20740	0,040	0,059		
4. -3	1,100	1,115	2,25.10 ⁻⁶	13,5951	0,082	19,019	0,931	21103	0,042	0,059		
5. -3	1,100	1,115	2,25.10 ⁻⁶	13,5951	0,088	19,761	0,967	21919	0,043	0,056	1,4	
6. -3	1,100	1,115	2,25.10 ⁻⁶	13,5951	0,100	21,014	1,029	23324	0,048	0,055	1,3	
7. -3	1,100	1,115	2,25.10 ⁻⁶	13,5951	0,103	21,347	1,046	23709	0,050	0,056	1,4	
8. -3	1,100	1,115	2,25.10 ⁻⁶	13,5951	0,107	21,746	1,065	24140	0,052	0,056	1,4	
9. -3	1,100	1,115	2,25.10 ⁻⁶	13,5951	0,112	22,278	1,091	24729	0,055	0,056	1,4	
10. -3	1,100	1,115	2,25.10 ⁻⁶	13,5951	0,116	22,677	1,111	25183	0,057	0,056	1,4	
11. -3	1,100	1,115	2,25.10 ⁻⁶	13,5951	0,121	23,142	1,133	25681	0,059	0,056	1,4	
12. -3	1,100	1,115	2,25.10 ⁻⁶	13,5951	0,125	23,541	1,153	26135	0,061	0,056	1,4	
13. -3	1,100	1,115	2,25.10 ⁻⁶	13,5951	0,132	24,140	1,182	26792	0,064	0,056	1,4	
14. -3	1,100	1,115	2,25.10 ⁻⁶	13,5951	0,145	25,337	1,241	28129	0,070	0,055	1,3	
15. -3	1,100	1,115	2,25.10 ⁻⁶	13,5951	0,138	24,672	1,208	27381	0,067	0,056	1,4	
16. -3	1,100	1,115	2,25.10 ⁻⁶	13,5951	0,153	25,935	1,270	28787	0,074	0,056	1,4	
17. -3	1,100	1,115	2,25.10 ⁻⁶	13,5951	0,159	26,467	1,296	29376	0,077	0,056	1,4	
18. -3	1,100	1,115	2,25.10 ⁻⁶	13,5951	0,164	26,933	1,319	29897	0,080	0,056	1,4	
19. -3	1,100	1,115	2,25.10 ⁻⁶	13,5951	0,194	29,150	1,428	32368	0,094	0,056	1,4	

	1	2	3	4	5	6	7	8	9	10	11	12
5.	-2,4	1,115	1,124	2,25.10 ⁻⁶	13,5951	0,183	28,289	1,386	31416	0,083	0,055	1,3
1.	-2,4	1,115	1,124	2,25.10 ⁻⁶	13,5951	0,176	27,759	1,360	30827	0,085	0,056	1,4
2.	-2,4	1,115	1,124	2,25.10 ⁻⁶	13,5951	0,162	26,632	1,304	29557	0,078	0,055	1,3
3.	-2,4	1,115	1,124	2,25.10 ⁻⁶	13,5951	0,152	25,771	1,262	28605	0,073	0,056	1,4
4.	-2,4	1,115	1,124	2,25.10 ⁻⁶	13,5951	0,138	24,579	1,204	27291	0,066	0,055	1,3
5.	-2,4	1,115	1,124	2,25.10 ⁻⁶	13,5951	0,109	21,262	1,071	24276	0,053	0,056	1,4
6.	-2,4	1,115	1,124	2,25.10 ⁻⁶	13,5951	0,101	21,057	1,032	23392	0,049	0,056	1,4
7.	-2,4	1,115	1,124	2,25.10 ⁻⁶	13,5951	0,076	16,265	0,956	20309	0,030	0,057	.
8.	-2,4	1,115	1,124	2,25.10 ⁻⁶	13,5951	0,055	16,194	0,927	18745	0,034	0,060	.
9.	-2,4	1,115	1,124	2,25.10 ⁻⁶	13,5951	0,054	15,376	0,753	17068	0,029	0,062	.
0.	-2,4	1,115	1,124	2,25.10 ⁻⁶	13,5951	0,050	14,840	0,727	16479	0,027	0,062	.
1.	-2,4	1,115	1,124	2,25.10 ⁻⁶	13,5951	0,038	12,919	0,633	14348	0,022	0,066	.
2.	-2,4	1,115	1,124	2,25.10 ⁻⁶	13,5951	0,029	11,262	0,552	12512	0,017	0,067	.

Anexa 8.1.3.a. Rezultate experimentale privind determinarea hidraulică a coeficientului λ de rezistență longitudinală la conducte zincate de 2" cu o vechime în exploatare de 3 ani

Valori măsurate direct.

Nr. crt.	Data	Temperaturi		Cote piezometriche		Densit. soluție sare 20°C	OBS.
		t_{aor} $^{\circ}\text{C}$	$t_{\text{saramură}}$ $^{\circ}\text{C}$	$h_{\text{ajut.}}$ mmcol Hg.	$H_{\text{cond.}}$ mmcol Hg.		
0	1	2	3	4	5	6	7
1.	9.10.1976	+2,8	-6,4	117	55	1,125	
2.	9.10.1976	+2,8	-6,4	115	53	1,125	
3.	9.10.1976	+2,8	-6,4	105	49	1,125	
4.	9.10.1976	+2,8	-6,4	98	46	1,125	
5.	9.10.1976	+2,8	-6,4	95	45	1,125	
6.	9.10.1976	+2,8	-6,4	93	44	1,125	$L_t = 12,060$ m
7.	9.10.1976	+2,8	-6,4	87	40	1,125	
8.	9.10.1976	+2,8	-6,4	79	37	1,125	$D =$
9.	9.10.1976	+2,8	-6,4	75	35	1,125	0,0527 m
10.	9.10.1976	+2,8	-6,4	69	32	1,125	
11.	9.10.1976	+2,8	-6,4	65	30	1,125	
12.	9.10.1976	+2,8	-6,4	57	27	1,125	
13.	9.10.1976	+2,8	-6,4	56	27	1,125	
14.	9.10.1976	+2,8	-6,4	47	23	1,125	
15.	9.10.1976	+2,8	-6,4	38	19	1,125	
16.	9.10.1976	+2,8	-6,4	29	15	1,125	
17.	9.10.1976	+2,8	-6,4	20	11	1,125	

Anexa 8.1.3.b. Rezultate experimentale calculate pe baza anexei 8.1.3.a.

Nr. sare NaCl art.	Parametrii solutie			Densitate lichid piezon. (kg) ρ_{20°	Cotă piez. ajut.	Debit sol. sare NaCl	Vit.sol. bare NaCl	Numărul cond. piese cond.	Coef. pierd. long.	Rugozit. echiv.	
	t°	$\bar{\rho}$	γ_t	ρ_{t0C}	γ_t	ρ_{t0C}	γ_t	ρ_{t0C}	γ_t	ρ_{t0C}	γ_t
0	-1	2	3	4	5	6	7	8	9	10	11
1.	-6,4	1,125	1,138	$2,788 \cdot 10^{-6}$	13,5951	0,117	22,505	1,032	19507	0,055	0,9
2.	-6,4	1,125	1,138	$2,788 \cdot 10^{-6}$	13,5951	0,115	22,308	1,023	19337	0,053	0,9
3.	-6,4	1,125	1,138	$2,788 \cdot 10^{-6}$	13,5951	0,105	21,321	0,978	18486	0,049	0,9
4.	-6,4	1,125	1,138	$2,788 \cdot 10^{-6}$	13,5951	0,098	20,597	0,945	17863	0,046	0,9
5.	-6,4	1,125	1,138	$2,788 \cdot 10^{-6}$	13,5951	0,095	20,268	0,930	17579	0,045	0,9
6.	-6,4	1,125	1,138	$2,788 \cdot 10^{-6}$	13,5951	0,093	20,071	0,921	17409	0,044	0,9
7.	-6,4	1,125	1,138	$2,788 \cdot 10^{-6}$	13,5851	0,087	19,413	0,891	16842	0,040	0,8
8.	-6,4	1,125	1,138	$2,788 \cdot 10^{-6}$	13,5951	0,079	18,491	0,848	16029	0,037	0,9
9.	-6,4	1,125	1,138	$2,788 \cdot 10^{-6}$	13,5951	0,075	18,031	0,827	15632	0,035	0,9
0.	-6,4	1,125	1,138	$2,788 \cdot 10^{-6}$	13,5951	0,069	17,307	0,794	15008	0,032	0,9
1.	-6,4	1,125	1,138	$2,788 \cdot 10^{-6}$	13,5951	0,065	16,780	0,770	14555	0,030	0,9
2.	-6,4	1,125	1,138	$2,788 \cdot 10^{-6}$	13,5951	0,057	15,727	0,721	13629	0,027	0,9

S_{hycc}
year
de

•/.

	0	1	2	3	4	5	6	7	8	9	10	11	12
13.	-6,4	1,125	1,138	$2,788 \cdot 10^{-6}$	13,5951	0,056	15,596	0,715	13515	0,027	0,050		
14.	-6,4 -	1,125	1,138	$2,788 \cdot 10^{-6}$	13,5951	0,047	14,280	0,655	12381	0,023	0,050		
15.	-6,4	1,125	1,138	$2,788 \cdot 10^{-6}$	13,5951	0,038	12,832	0,589	11134	0,019	0,051		
16.	-6,4	1,125	1,138	$2,788 \cdot 10^{-6}$	13,5951	0,029	11,187	0,505	9545	0,015	0,055		
17.	-6,4	1,125	1,138	$2,788 \cdot 10^{-6}$	13,5951	0,020	9,279	0,426	3052	0,011	0,057		

Anexa 8.1.4.a. Rezultate experimentale privind detinerea hidraulică a coeficientului de rezistență longitudinală la conducte negre de 2" cu o vechime în exploatare de 4,3 ani.

Valori măsurate direct.

Nr. crt.	Data	Temperaturi		Cote piezometricice		Densitate soluție sare NaCl la 20°C	OBS.
		t_{aer}	$t_{sol\ NaCl}$	$h_{ajut.}$	$H_{cond.}$		
		°C	°C	mm col Hg.	mm col Hg.		
0	1	2	3	4	5	6	7
1.	12.07.1977	+3,5	-2	264	95	1,100	
2.	12.07.1977	+3,5	-2	258	90	1,100	
3.	12.07.1977	+3,5	-2	245	86	1,100	
4.	12.07.1977	+3,5	-2	237	81	1,100	
5.	12.07.1977	+3,5	-2	225	78	1,100	
6.	12.07.1977	+3,5	-2	218	75	1,100	$L_t =$
7.	12.07.1977	+3,5	-2	210	72	1,100	8,91 m
8.	12.07.1977	+3,5	-2	200	69	1,100	D =
9.	12.07.1977	+3,5	-2	192	66	1,100	0,050 m
10.	12.07.1977	+3,5	-2	184	63	1,100	
11.	12.07.1977	+3,5	-2	172	60	1,100	
12.	12.07.1977	+3,5	-2	164	56	1,100	
13.	12.07.1977	+3,5	-2	153	53	1,100	
14.	12.07.1977	+3,5	-2	144	49	1,100	
15.	12.07.1977	+3,5	-2	136	46	1,100	
16.	12.07.1977	+3,5	-2	128	44	1,100	
17.	12.07.1977	+3,5	-2	123	42	1,100	
18.	12.07.1977	+3,5	-2	119	41	1,100	
19.	12.07.1977	+3,5	-2	104	36	1,100	
20.	12.07.1977	+3,5	-2	95	34	1,100	
21.	12.07.1977	+3,5	-2	91	32	1,100	
22.	12.07.1977	+3,5	-2	85	30	1,100	
23.	12.07.1977	+3,5	-2	75	26	1,100	
24.	12.07.1977	+3,5	-2	65	24	1,100	
25.	12.07.1977	+3,5	-2	47	18	1,100	
26.	12.07.1977	+3,5	-2	39	15	1,100	

Anexa 8.1.4.b. Rezultate experimentale calculate pe baza anexeii 8.1.4.a.

Nr.	sare NaCl	Parametrii solutie			Cotă piez. ajut.	Debit sol. NaCl	Viteză sol. NaCl	Număr Reynolds	Coef. pierj. cond.	Rug. echiv.	OBS
		t ^o	$\rho_{20^{\circ}C}$	$\rho_t^{\circ}C$							
0	1	2	3	4	ρ_{Hg}	Q	v	R_e	H_{Hg}	k_e	
-	-	-	-	-	ρ_{Hg}	-	-	-	-	-	
-	-	-	-	-	m^3/s	m^3/s	m/s	-	-	-	
-	-	-	-	-	g/cm^3	g/cm^3	m/s	-	-	-	
0	1	2	3	4	5	6	7	8	9	10	11
1.	-2,0	1,100	1,116	$2,125 \cdot 10^{-6}$	13,5951	0,264	34,184	1,742	40988	0,095	0,038
2.	-2,0	1,100	1,116	$2,125 \cdot 10^{-6}$	13,5951	0,258	33,755	1,721	40494	0,090	0,037
3.	-2,0	1,100	1,116	$2,125 \cdot 10^{-6}$	13,5951	0,245	32,920	1,677	39459	0,086	0,038
4.	-2,0	1,100	1,116	$2,125 \cdot 10^{-6}$	13,5951	0,237	32,388	1,650	38823	0,081	0,037
5.	-2,0	1,100	1,116	$2,125 \cdot 10^{-6}$	13,5951	0,225	31,524	1,606	37788	0,078	0,037
6.	-2,0	1,100	1,116	$2,125 \cdot 10^{-6}$	13,5951	0,218	31,058	1,583	37247	0,075	0,037
7.	-2,0	1,100	1,116	$2,125 \cdot 10^{-6}$	13,5951	0,210	30,460	1,552	36518	0,072	0,037
8.	-2,0	1,100	1,116	$2,125 \cdot 10^{-6}$	13,5951	0,200	29,748	1,515	35647	0,069	0,037
9.	-2,0	1,100	1,116	$2,125 \cdot 10^{-6}$	13,5951	0,192	29,129	1,484	34918	0,066	0,037
10.	-2,0	1,100	1,116	$2,125 \cdot 10^{-6}$	13,5951	0,184	28,531	1,454	34212	0,063	0,037
11.	-2,0	1,100	1,116	$2,125 \cdot 10^{-6}$	13,5951	0,172	27,600	1,408	33082	0,060	0,037
12.	-2,0	1,100	1,116	$2,125 \cdot 10^{-6}$	13,5951	0,164	26,935	1,372	32282	0,056	0,037

ρ_{Hg} cor.
0°C.
zătoar.
perat..

c	1	2	3	4	5	6	7	8	9	10	11	12	13
13.	-2,0	1,100	1,116	$2,125 \cdot 10^{-6}$	13,5951	0,153	26,004	1,325	31176	0,053	0,037	0,39	
14.	-2,0	1,100	1,116	$2,125 \cdot 10^{-6}$	13,5951	0,144	25,206	1,284	30212	0,049	0,037	0,39	
15.	-2,0	1,100	1,116	$2,125 \cdot 10^{-6}$	13,5951	0,136	24,541	1,250	29412	0,047	0,037	0,38	
16.	-2,0	1,100	1,116	$2,125 \cdot 10^{-6}$	13,5951	0,128	23,809	1,213	28541	0,044	0,037	0,38	
17.	-2,0	1,100	1,116	$2,125 \cdot 10^{-6}$	13,5951	0,123	23,343	1,189	27976	0,042	0,037	0,38	
18.	-2,0	1,100	1,116	$2,125 \cdot 10^{-6}$	13,5951	0,119	22,944	1,169	27506	0,041	0,037	0,37	
19.	-2,0	1,100	1,116	$2,125 \cdot 10^{-6}$	13,5951	0,104	21,415	1,091	25671	0,036	0,037	0,37	
20.	-2,0	1,100	1,116	$2,125 \cdot 10^{-6}$	13,5951	0,095	20,484	1,044	24565	0,034	0,033	0,41	
21.	-2,0	1,100	1,116	$2,125 \cdot 10^{-6}$	13,5951	0,091	20,085	1,023	24071	0,032	0,038	0,41	
22.	-2,0	1,100	1,116	$2,125 \cdot 10^{-6}$	13,5951	0,085	19,353	0,956	23200	0,030	0,038	0,41	
23.	-2,0	1,100	1,116	$2,125 \cdot 10^{-6}$	13,5951	0,075	18,223	0,929	21859	0,026	0,037		
24.	-2,0	1,100	1,116	$2,125 \cdot 10^{-6}$	13,5951	0,065	16,959	0,864	20329	0,024	0,039		
25.	-2,0	1,100	1,116	$2,125 \cdot 10^{-6}$	13,5951	0,027	14,432	0,735	17294	0,018	0,041		
26.	-2,0	1,100	1,116	$2,125 \cdot 10^{-6}$	13,5951	0,039	13,102	0,668	15718	0,015	0,041		

Anexa 8.1.5.a. Rezultate experimentale privind determinarea hidraulică a coeficientului λ de rezistență longitudinală la conducte negre de 2" cu o vechime în exploatare de 4 ani.

Valori măsurate direct.

Nr. crt.	Data	Temperaturi			Cote piezometricice		Densit. solutie sarc 20°C	OBS.
		t_{aer}	$t_{\text{saram.}}$	$h_{\text{ajut.}}$	$H_{\text{cond.}}$			
		$^{\circ}\text{C}$	$^{\circ}\text{C}$	mm col Hg	mm col Hg			
0	1	2	3	4	5	6		7
1.	26.03.1977	+2,2	-3,6	171	59	1,095		
2.	26.03.1977	+2,2	-3,6	168	58	1,095		
3.	26.03.1977	+2,2	-3,6	165	56	1,095		
4.	26.03.1977	+2,2	-3,6	161	55	1,095		
5.	26.03.1977	+2,2	-3,6	155	53	1,095		
6.	26.03.1977	+2,2	-3,6	151	52	1,095	$L_t = 3,752 \text{ m}$	
7.	26.03.1977	+2,2	-3,6	149	50	1,095	$D = 0,0496 \text{ m}$	
8.	26.03.1977	+2,2	-3,6	146	50	1,095		
9.	26.03.1977	+2,2	-3,6	141	48	1,095		
10.	26.03.1977	+2,2	-3,6	130	43	1,095		
11.	26.03.1977	+2,2	-3,6	117	40	1,095		
12.	26.03.1977	+2,2	-3,6	99	34	1,095		
13.	26.03.1977	+2,2	-3,6	85	30	1,095		
14.	26.03.1977	+2,2	-3,6	70	25	1,095		
15.	26.03.1977	+2,2	-3,6	53	20	1,095		
16.	26.03.1977	+2,2	-3,6	43	17	1,095		
17.	26.03.1977	+2,2	-3,6	41	16	1,095		

Anexa 8.1.5.b. Rezultate experimentale calculate pe baza anexei 8.1.5.a.

Nr. crt.	Parametrii soluție bare NaCl	Densitate lichid piezom. (Hg)	Cotă piezom. ajutaj	Debit sol. sare NaCl	Viteză Reynolds	Cotă piez. cond.	Coef. pierd. longit.	Rug. echiv.
1.	1,095	1,114	2,28.10 ⁻⁶	13,5951	0,171	27,495	1,424	30968
2.	1,095	1,114	2,28.10 ⁻⁶	13,5951	0,163	27,228	1,410	30673
3.	1,095	1,114	2,28.10 ⁻⁶	13,5951	0,165	27,029	1,399	30434
4.	1,095	1,114	2,28.10 ⁻⁶	13,5951	0,161	26,696	1,382	30064
5.	1,095	1,114	2,28.10 ⁻⁶	13,5951	0,155	26,163	1,355	29477
6.	1,095	1,114	2,28.10 ⁻⁶	13,5951	0,151	25,830	1,337	29085
7.	1,095	1,114	2,28.10 ⁻⁶	13,5951	0,149	25,697	1,331	28955
8.	1,095	1,114	2,28.10 ⁻⁶	13,5951	0,146	25,431	1,317	28650
9.	1,095	1,114	2,28.10 ⁻⁶	13,5951	0,141	24,965	1,293	28128
10.	1,095	1,114	2,28.10 ⁻⁶	13,5951	0,130	23,966	1,241	26997
11.	1,095	1,114	2,28.10 ⁻⁶	13,5951	0,117	22,763	1,179	25648

	1	2	3	4	5	6	7	8	9	10	11	12	13
2.	-3,6	1,095	1,114	$2,28 \cdot 10^{-6}$	13,5951	0,099	20,971	1,086	23625	0,034	0,036	0,33	cores
3.	-3,6	1,095	1,114	$2,28 \cdot 10^{-6}$	13,5951	0,085	19,373	1,003	21819	0,030	0,037	0,35	extoare
4.	-3,6	1,095	1,114	$2,28 \cdot 10^{-6}$	13,5951	0,070	17,575	0,910	19796	0,025	0,038	peratur	
5.	-3,6	1,095	1,114	$2,28 \cdot 10^{-6}$	13,5951	0,053	15,312	0,793	17251	0,020	0,040	de 0°C.	
6.	-3,6	1,095	1,114	$2,28 \cdot 10^{-6}$	13,5951	0,043	13,781	0,714	15532	0,017	0,041		
7.	-3,6	1,095	1,114	$2,28 \cdot 10^{-6}$	13,5951	0,041	13,514	0,700	15228	0,016	0,041		

Anexa 8.2.1. Parametrii geometrici ai rugozității
 conductei negre 2" de 7,62 ani vechime. Dimensiunile
 se măsoară direct pe planșa de la cap.8.2.

Nr. crt.	1 mm	L mm	6 -	A mm ²	y _m mm	h mm
0	1	2	3	4	5	6
1.	1,714	2,097	1,223	0,205	0,120	0,242
2.	1,976	2,460	1,245	0,775	0,392	0,645
3.	1,916	2,581	1,347	0,718	0,375	0,746
4.	2,057	2,823	1,372	0,826	0,402	0,907
5.	1,875	2,622	1,398	0,469	0,250	0,464
6.	1,775	2,420	1,363	0,389	0,219	0,464
7.	1,412	1,976	1,399	0,625	0,443	0,645
8.	1,533	2,057	1,342	0,591	0,386	0,524
9.	1,472	1,896	1,283	0,566	0,384	0,585
10.	1,512	1,855	1,227	0,250	0,165	0,585
11.	1,916	2,460	1,284	0,505	0,264	0,444
12.	2,117	2,622	1,238	0,328	0,155	0,363
13.	1,996	2,460	1,232	0,527	0,264	0,544
14.	1,916	2,259	1,179	0,457	0,238	0,464
15.	1,916	2,380	1,242	0,584	0,305	0,585
16.	1,996	2,420	1,212	0,426	0,213	0,585
17.	2,017	2,259	1,120	0,184	0,091	0,161
18.	1,492	1,734	1,162	0,327	0,219	0,383
19.	1,633	2,380	1,457	0,257	0,157	0,464
20.	1,371	1,936	1,412	0,366	0,267	0,423
21.	1,916	2,702	1,410	0,357	0,186	0,323
22.	1,815	2,662	1,467	0,628	0,346	0,605
23.	2,017	2,944	1,460	0,772	0,383	0,645
Σ	41,360	54,005		11,132		11,796
\bar{x}	1,798	2,348		0,484		0,514

$$y_m = \bar{A}/\bar{l} = 0,484/1,798 = 0,269$$

$$\sigma = \bar{L}/\bar{l} = 2,348/1,798 = 1,306$$

Anexa 8.2.2. Parametrii geometrici ai rugozității conductei negre 2" de 7 ani vechime. Dimensiunile se măsoară direct pe planșa de la cap.8.2.

Nr. crt.	l mm	L mm	G -	A mm ²	y _m mm	h mm
0	1	2	3	4	5	6
1.	1,180	1,810	1,534	0,210	0,178	0,531
2.	1,200	1,613	1,344	0,251	0,209	0,511
3.	1,239	1,653	1,334	0,337	0,272	0,531
4.	1,200	2,125	1,771	0,265	0,221	0,393
5.	1,161	1,653	1,424	0,339	0,292	0,472
6.	1,220	1,574	1,290	0,217	0,178	0,315
7.	1,200	1,613	1,344	0,270	0,225	0,354
8.	1,141	1,771	1,552	0,291	0,255	0,452
9.	1,239	1,653	1,334	0,233	0,188	0,511
10.	0,984	1,298	1,319	0,230	0,234	0,413
11.	0,984	1,259	1,279	0,315	0,320	0,669
12.	1,220	1,456	1,193	0,149	0,122	0,315
13.	1,062	1,436	1,352	0,380	0,353	0,551
14.	1,180	2,636	2,234	0,392	0,332	0,787
15.	1,121	1,653	1,475	0,318	0,284	0,787
16.	1,259	1,672	1,328	0,236	0,187	0,531
17.	1,239	1,594	1,286	0,307	0,248	0,511
Σ .	19,829	28,469		4,740		8,634
\bar{x} .	1,166	1,675		0,279		0,508

$$G = \bar{I}/\bar{l} = 1,675/1,166 = 1,436$$

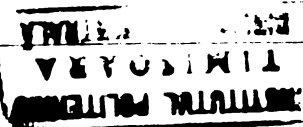
$$y_m = \bar{A}/\bar{l} = 0,279/1,166 = 0,239$$

Anexa 8.2.3. Parametrii geometrici ai rugozității conductei zincate 2" de 3 ani vechime. Dimensiunile se măsoară direct pe planșa de la cap.8.2.

Nr. crt.	1 mm	L mm	\bar{I}	A mm ²	y_m mm	h mm
0	1	2	3	4	5	6
1.	1,220	1,613	1,322	0,192	0,157	0,413
2.	1,180	1,515	1,284	0,123	0,104	0,315
3.	1,259	1,613	1,281	0,178	0,141	0,315
4.	1,200	1,554	1,295	0,154	0,128	0,413
5.	1,279	1,554	1,215	0,182	0,142	0,393
6.	1,239	1,397	1,127	0,079	0,064	0,157
7.	1,141	1,416	1,241	0,219	0,192	0,413
8.	1,180	1,298	1,100	0,166	0,141	0,315
9.	1,279	1,928	1,507	0,363	0,284	0,571
10.	1,259	1,479	1,172	0,209	0,166	0,315
11.	1,220	1,338	1,097	0,131	0,107	0,275
12.	1,279	1,495	1,169	0,168	0,131	0,275
13.	1,180	1,318	1,117	0,098	0,083	0,197
14.	1,239	1,928	1,556	0,270	0,218	0,393
15.	1,279	1,377	1,077	0,156	0,200	0,295
16.	1,239	1,574	1,270	0,277	0,224	0,452
17.	1,161	1,495	1,288	0,312	0,269	0,551
18.	1,298	1,377	1,061	0,112	0,086	0,256
Σ	22,131	27,266		3,389		6,314
\bar{x}	1,229	1,515		0,188		0,351

$$\bar{I} = I/l = 1,515/1,229 = 1,237$$

$$y_m = A\bar{y}_l = 0,188/1,229 = 0,153$$



Anexa 8.2.4. Parametrii geometrici ai rugozității conductei negre 2" de 4,3 ani vechime. Dimensiunile se măsoară direct pe planșa de la cap.8.2.

Nr. crt.	1 mm	L mm	σ -	A mm^2	y_m mm	h mm
0	1	2	3	4	5	6
1.	0,630	0,714	1,133	0,025	0,040	0,091
2.	0,609	0,700	1,149	0,025	0,041	0,077
3.	0,665	0,770	1,153	0,026	0,039	0,077
4.	0,658	0,742	1,128	0,025	0,038	0,070
5.	0,658	0,756	1,149	0,024	0,036	0,070
6.	0,637	0,770	1,209	0,090	0,141	0,175
7.	0,700	0,882	1,260	0,054	0,077	0,217
8.	0,665	0,882	1,326	0,046	0,069	0,217
9.	0,693	0,714	1,030	0,030	0,043	0,140
10.	0,511	0,616	1,205	0,023	0,045	0,105
11.	0,504	0,714	1,417	0,076	0,151	0,210
12.	0,686	0,784	1,143	0,054	0,079	0,233
13.	0,686	0,895	1,305	0,063	0,092	0,168
14.	0,658	0,854	1,298	0,061	0,093	0,163
15.	0,602	0,784	1,302	0,044	0,073	0,161
16.	0,637	0,812	1,275	0,048	0,075	0,140
17.	0,616	0,770	1,250	0,039	0,063	0,126
Σ	10,815	13,159		0,753		2,451
\bar{x}	0,636	0,774		0,044		0,144

$$\sigma = \bar{I}/\bar{l} = 0,774/0,636 = 1,217$$

$$y_m = \bar{\lambda}/\bar{l} = 0,044/0,636 = 0,069$$

Anexa 8.2.5. Parametrii geometrici ai rugozității conductei de 2" neagră, de 4 ani vechime. Dimensiunile se măsoară direct pe planșa de la cap.8.2.

Nr. crt.	1 mm	L mm	σ	A mm ²	y_m mm	h mm
0	1	2	3	4	5	6
1.	0,494	0,561	1,136	0,0204	0,0413	0,083
2.	0,470	0,530	1,128	0,0341	0,0725	0,106
3.	0,470	0,530	1,128	0,0471	0,1002	0,167
4.	0,470	0,576	1,225	0,0219	0,0466	0,098
5.	0,432	0,530	1,227	0,0240	0,0556	0,129
6.	0,477	0,545	1,143	0,0274	0,0574	0,083
7.	0,462	0,530	1,147	0,0239	0,0517	0,083
8.	0,447	0,530	1,186	0,0265	0,1156	0,091
9.	0,454	0,523	1,152	0,0180	0,0396	0,091
10.	0,454	0,561	1,236	0,0211	0,0465	0,106
11.	0,477	0,545	1,143	0,0153	0,0321	0,061
12.	0,477	0,576	1,207	0,0368	0,0771	0,152
13.	0,477	0,621	1,302	0,0190	0,0398	0,076
14.	0,454	0,530	1,167	0,0315	0,0694	0,098
15.	0,492	0,561	1,140	0,0329	0,0669	0,121
16.	0,485	0,530	1,093	0,0125	0,0258	0,083
17.	0,470	0,530	1,127	0,0395	0,0840	0,167
18.	0,470	0,606	1,289	0,0358	0,0762	0,129
19.	0,492	0,667	1,356	0,0385	0,0782	0,182
20.	0,462	0,583	1,262	0,0361	0,0781	0,136
Σ	9,386	11,165		0,5623	2,242	
\bar{x}	0,469	0,558		0,0281		
$\sigma = I/l = 1,189$						
$y_m = \frac{A}{l} = 0,0281/0,462 = 0,060$						

12 C U P R I N S

1. Introducere
2. Notări și simboluri
3. Oportunitatea abordării cercetărilor
 - . 3.1. Instalații frigorifice cu circuit secundar de răcire și agent intermediar soluția ClNa.
 - 3.2. Descriere, funcționalitate.
 - 3.3. Problemele hidraulice ale rețelei cu soluție de NaCl.
4. Problematica conductelor hidraulice ce transportă soluții de NaCl.
5. Studiul problemei în literatura de specialitate
 - 5.1. Relații cunoscute pentru determinarea coeficientului λ de rezistență longitudinală.
 - 5.2. Considerații critice.
6. Modelul fizic
7. Programul experimental
 - 7.1. Determinarea hidraulică a coeficientului λ de rezistență longitudinală, la conducte ce transportă soluții de NaCl.
 - 7.1.1. Proprietățile fizico-chimice ale soluției de NaCl.
 - 7.1.2. Măsurarea debitului cu dispozitiv de strangulare
 - 7.1.2.1. Fișă de calcul pentru bucla de măsurat debitul cu dispozitiv de strangulare în execuție Electroprecizia Săcole - secția Gheorghieni.

7.1.2.2. Determinarea experimentală a coeficientului de debit.

7.1.2.2.1. Standul de încercare.

7.1.2.2.2. Rezultatele experimentale.

7.1.2.3.3. Calculul erorii de măsurare a coeficientului de debit.

7.2. Geometria rugozității

7.2.1. Definirea rugozității

7.2.2. Metoda și instrumentul de măsură pentru caracterizarea geometriei (Microscopul), Linnik - Schmaltz).

8. Rezultate experimentale.

8.1. Curbele $\lambda = \lambda(R_c, k_e)$ pentru conducte de 2" industriale de diverse vechimi.

8.2. Profilogramele rugozităților.

9. Modelul matematic la conductele tehnice ce transportă soluții de NaCl.

9.1. Funcția de corolație.

9.2. $k_e = k_e(y_m)$

9.3. Ecuația rezistenței hidraulice

9.4. $k_e = k_e(N)$

10. Concluzii

11. Anexe

12. Cuprins

13. Bibliografie selecțivă

13. Bibliografie selectivă

1. Abramov N.N. Teoriia i metodika rasciota sistem podaci i raspredeleniia vodf .
Izdatelstrvo literaturi po stroitelstvu
Moskva 1972 .
2. Altgul A.D. "O turbulentom dvijenii jidkosti v gladkih trubah "
DAH - SSSR 1950 tom 75 no. 5
3. Altgul A.D. "Ghidravliceskie poteri na trenie v truboprovoda "
Gosudarstvennoe Energeticheskoe izdatelstvo
Moskva Leningrad 1963.
4. Anton I. Influența parametrilor geometrici și cinematici
asupra caracteristicilor energetice și gravita-
tionale ale turbinelor axiale I + II .
Studii și cercetări de mecanică aplicată .
Tom 30 nr 3,4 1971
5. V.Anton, M.Popovici "Hidraulica și mașini hidraulice "
I.P.T. 1968
6. Bäckström Emblik " Kultetechnik "
Verlag GBräu . Karlsruhe - 1965
7. Betterman E. "Contribution à l'étude de la convection force
turbulente le long des plaques rugueuses "
International journ of Heat and Mass Transfer
vol .9 no. 3 - 1966 .
8. Böhler E. "Zum Rauhigkeitverhalten von Wasserleitungsröhren
im Betrieb "
Wasser Wirtschaft Technik H 6 - 1963
9. Bogomolov A.I. , Mihailov K.A. "Ghidravlike "
Stroizdat Moskva 1972 .
10. Brădeanu P. "Mecanica fluidelor "
Ed. Tehnică București - 1973
11. Burducea C. , Irca A. " Conducte și rețele termice "
Ed. Tehnică București - 1974 .

12. Carabogdan I.Gh., A.Badca , L.Ionescu , A.Leca , V. Ghie ,
 I.Nistor , I. Cesserveng .
 Instalații termice industriale "
 Ed.tehnică București 1978
13. Carlie M " Hydraulique generale et appliques "
 Eyrolles , Paris 1972 .
14. Chirelă I. , F. Romoceanu , C. Zaharie ."Instalații frigorifice"
 Ed.tehnică București 1962 .
15. Ciuprin I.A. s.a.
 "Sprovocinik ghidrotehnica "
 Moskva ed. Kolos 1967
16. Cîrlig A. "Rugozitatea tuburilor din material plastic "
 Analele ICIFP. Seria hidrotehnica vol.I.1957
17. Cîrlig A. "Studiul rugozității conductelor de fontă "
 Memoriu ISCH - 1963
18. Cîrlig A. "Studiul rugozității conductelor de azbociment și
 beton precomprimat tip Premo "
19. Crețu I. "Hidraulica generală și subterană "
 Ed.did. și ped. - București 1971
20. Crețu I. , Soare A. , David V., Osnea A., "Probleme de hidraulică"
 Ed. Tehnică București - 1973
21. Certousov M.D. "Hidraulica "
 Ed. Tehnică București - 1975
22. Cioc D. "Hidraulica fluidelor "
 Ed.did. și ped. București - 1967
23. Cioc D., Trofin E., Tomondic., Tată G., Mănescu M., Damien R.
 Sandu L., Gull B., "Hidraulica, culegere de probleme"
 Ed.did. și ped. București - 1973 .
24. D.G.M.S.I. "Instructiuni 185-63 pentru verificarea micros-
 coapelor duble (tip Linnik-Schmelz) "
 Ed. de Stat pentru imprimante și publicații
 București ~ 1964 .
25. Drăghici N. "Conducte pentru transportul fluidelor "
 Ed. Tehnică - 1971

26. Dumitrescu D., Răzvan E. "Disiparea energiei și disipator de energie"
Ed. Tehnică București - 1973
27. Fediaevski C., I.Voitkounski , Y.Faddeev "Mecanique des fluides"
Editions Mir , Moscou - 1974 .
28. Florea J., Gh.Zidaru , V. Panaiteescu "Mecanica fluidelor și hidraulice "
Institutul politehnic București 1975 .
29. Florea J. , Gh.Zidaru , V.Panaiteescu " Mecanica fluidelor "
Probleme .
Ed.didactică și pedagogică București
1976 .-
30. Gheorghiu V. "Funcții de rugozitate pentru sistematizarea calculului rezistenței hidraulice a conductelor tehnice "
Studii de cercetări de mecanică aplicată nr.2
Tomul 35 Ed.Academiei R S R 1976
31. Gheorghiu V. "Problèmes concernant l'hydraulique des conduites noncirculaires "
Convegno de hidraulica a construzione
hidrauliche - Trieste - 1965 .
32. Gheorghiu V. , Rusănescu N. "Geometrie și hidraulica rugozității în conducte tehnice cu transport de soluții de NaCl "
Sesiunea de comunicări științifice a Institutului Politehnic Timișoara mai 1977 .
33. Giurconiu M. "Hidraulica, lucrări edilitare și instalații sanitare "
Ed. did. și ped.București - 1972
34. Giurconiu M., "Construirea diagramelor pentru calculul conductelor și canelelor cu regim turbulent"
Standardizare nr.2/1969 .
35. Giurconiu M., I.Mirel , M. Păcurariu , Gh.Pop .
" Diagrame,nomograme și tabele pentru calculul lucrărilor hidroedilitare "
Ed. Facla 1977
36. Hâncu S. "Curs de hidraulică "
Institutul Agronomic "N.Bălcescu" București 1976 .

37. Idelcik I.E. "Spravocinik po ghidravliceskim soprotivleniem"
(ed II)
Masinostroenie, Moskva 1975 și 1960
38. "Kältetechnik - Klimatisierung" Zeitschrift für das Gesamte Gebiet der Kälteerzeugung, Kältanwendung und Klimatisierung Verlag C.F. Müller Karlsruhe an 1972.
40. Kirschmer O. "Tabellen zur Berechnung von Rohrleitungen nach Prandtl - Colebrook"
Strassenbau, Chemie und Technik, Heidelberg 1954.
41. Loițeanekî "Mehanika jidkosti i gaze"
Izdatelstvo "Nauka" Moskva - 1973
42. "Manualul inginerului" vol II.
Ed. Tehnică 1966.
43. Monzavi M.T. "Widerstandsgesetz auf statischer Basis für extreme natürliche Rauhigkeiten in Druckröhren"
Technischer bericht nr.8
aus dem Institut für Hydraulik und Hydrologie der technischen Hochschule Darmstadt 1972.
44. Manualul inginerului hidrotehnician vol II.
Ed. Tehnică București 1969.
45. Mateescu C., "Hidraulica"
Ed. did. și ped. București - 1964.
46. Oroveanu I. "Mecanica fluidelor viscoase"
Ed. Academiei R.S.R. - 1967.
47. Pavel D. "Stații de pompare și rețele de transport hidraulic"
Ed. did. și ped. București 1964.
48. Pîslărescu I., Rotaru N., Teodorescu M., "Alimentări cu apă"
Ed. Tehnică București - 1973.
49. Popescu P.P., P. Mihardea "Măsurarea debitului în tehnică"
Ed. Tehnică București 1969.
50. Popov V.N. "Calculul hidraulic al conductelor forțate ale centralelor hidroelectrice" (Trad. limba română)
Ed. Energetică de Stat București 1953.

51. Prandtl L. "Führer durch die Strömungslehre " Veimag
Braunschweig 1965 .
52. Press H., R.Schrüder "Hidromechanik im Wasserbau "
W.Ernst - Berlin - München 1966 .
53. Richter H. "Rohrhydraulik "
Berlin - 1934 .
54. Richter H. "Rohrhydraulik " Springer - Berlin (göttingen)
Heidelberg 1958 .
55. Sedov L. "Mécanique des milieux continus "
Editions Mir. Moscou 1975 .
56. Sistemul internațional de unități (S I) .
Ed. Tehnică București 1965 .
57. Sokolovski S.V., Ligcenko S.I. "Ghidravlika i ghidrotehnika "
Kiev - 1974 .
58. Stănescu C."Tehnica frigului "
Ed. Tehnică București 1972 .
59. Teodorescu M. Calculul diametrului economic al conductelor de
pompare .
Revista construcțiilor nr.6 1954 .
60. Todicescu A. "Mecanica fluidelor și mașini hidropneumatice "
Ed.did. și ped. București 1974 .
61. Teodorescu I., Filotti A., Chiriac V., Ceaugescu V., Florescu A.,
"Gospodărirea apelor "
Ed. Ceres - 1973 .
62. Trofin P. " Alimentări cu apă "
Ed. did. și ped. București - 1972 .

Annexe 9.1.

Calculul coeficientului empiric de corelație.

y_m	$y_{m_i} - \bar{y}_m$	$(y_{m_i} - \bar{y}_m)^2$	k_e	$k_{e_i} - \bar{k}_e$	$(k_{e_i} - \bar{k}_e)^2$	$(y_{m_i} - \bar{y}_m)(k_{e_i} - \bar{k}_e)$
0,269	0,111	0,012	1,50	0,50	0,36	0,067
0,239	0,081	0,007	1,38	0,48	0,23	0,039
0,059	-0,039	0,008	0,40	-0,50	0,25	0,044
0,060	-0,028	0,010	0,34	-0,56	0,31	0,055
0,153	-0,005	0,000	0,88	-0,02	0,00	0,000
Σ	0,789	0,037	4,50	-	1,15	0,205

$$\bar{y}_m = \frac{1}{5} \sum_{i=1}^5 y_{m_i} = 0,158$$

$$\bar{y}_m = 0,153$$

$$\bar{k}_e = \frac{1}{5} \sum_{i=1}^5 k_{e_i} = 0,900$$

$$\bar{k}_e = 0,9$$

$$s_{y_m}^2 = \frac{1}{4} \sum_{i=1}^5 (y_{m_i} - \bar{y}_m)^2 = 9,618 \cdot 10^{-3} \quad s_{y_m} = 0,096$$

$$s_{k_e}^2 = \frac{1}{4} \sum_{i=1}^5 (k_{e_i} - \bar{k}_e)^2 = 2,875 \cdot 10^{-1} \quad s_{k_e} = 0,537$$

$$r = \frac{1}{s_{y_m} \cdot s_{k_e}} \cdot \frac{1}{4} \sum_{i=1}^5 (y_{m_i} - \bar{y}_m)(k_{e_i} - \bar{k}_e) = 0,994$$

Valoarea coeficientului de corelație se verifică comparând valoarea produsului $|r| \sqrt{n-1}$ cu valoarea lui critică pentru un nivel de încredere P din (I.Z.Rumick "Prelucrarea matematică a datelor experimentale" pg.129 și Anexa pg.213.)

Dacă pentru coeficientul empiric de corelație r produsul $|r| \sqrt{n-1}$ depășește valoarea critică t pentru un orunitate P este înălțată cu nivelul de încredere P urmărește că se respinge ipoteza nesimilitudinii variabilelor considerate.

$$t = |r| \sqrt{n-1} = 0,994 \sqrt{5-1} = 1,988$$

$$t > t_{critic} \text{ pt. } P=0,999$$

Anexa 9.2

Călculul parametrilor funcției liniare

$$k_e = k_e(y_m)$$

O funcție liniară se reprezintă grafic printr-o dreaptă. Ecuația dreptei este scrisă sub forma :

$$k_e - \bar{k}_e = a(y_m - \bar{y}_m)$$

Folosind metoda celor mai mici patrate parametrul a se determină cu ajutorul relației :

$$a = \frac{\bar{y}_m \cdot k_e - \bar{y}_m \cdot \bar{k}_e}{\bar{y}_m^2 - (\bar{y}_m)^2}$$

unde

$$\bar{y}_m^2 = \frac{1}{n} \sum_{i=1}^n y_{m_i}^2$$

$$\bar{y}_m k_e = \frac{1}{n} \sum_{i=1}^n y_{m_i} k_{e_i}$$

și

$$\bar{y}_m = \frac{1}{n} \sum_{i=1}^n y_m \quad i=1, 2, 3, 4, 5$$

$$\bar{k}_e = \frac{1}{n} \sum_{i=1}^n k_{e_i}$$

Rezultatele calculelor intermediare să pot urmări din tabelul următor :

y_m	y_m^2	k_e	$y_m \cdot k_e$
0,269	0,072	1,50	0,403
0,239	0,057	1,38	0,330
0,153	0,023	0,88	0,135
0,069	0,005	0,40	0,028
0,060	0,004	0,34	0,020
Σ	0,789	4,50	0,916

Rezultă :

$$\bar{y}_m = \frac{1}{5} \sum_{i=1}^5 y_{m_i} = 0,158 \quad \bar{y}_m = 0,158$$

$$\bar{k}_e = \frac{1}{5} \sum_{i=1}^5 k_{e_i} = 0,9 \quad \bar{k}_e = 0,9$$

$$\bar{y}_m^2 = \frac{1}{5} \sum_{i=1}^5 y_{m_i}^2 = 0,032 \quad \bar{y}_m^2 = 0,032$$

$$\bar{y}_m \cdot \bar{k}_e = \frac{1}{5} \sum_{i=1}^5 y_{m_i} k_{e_i} = 0,183 \quad \bar{y}_m \bar{k}_e = 0,183$$

$$a = \frac{\bar{y}_m \bar{k}_e - \bar{y}_m^2 \bar{k}_e}{\bar{y}_m^2 - (\bar{y}_m)^2} = 5,7 \quad a = 5,7$$

Se obține :

$$k_e = 0,9 = 5,7 (y_m - 0,158)$$

sau

$$k_e = 5,7 y_m$$

Prelucrarea datelor experimentale permite determinarea limitelor intervalului de încredere și a nivelului de încredere pentru media aritmetică ($k_{M_{\alpha}}$), ce se identifică cu parametrul a al funcției liniare $k_e = k_e(y_m)$ și care a fost stabilit prin metoda celor mai mici patrate.

./. .

			Media aritmetică	Abatere med. pătr.	Domeniu de încred.	Nivel de încred.	
k_{e_i}	y_{m_i}	k_{*i}	k_{*M}	Δk_{*i}	$s = \frac{t}{\sqrt{n}} s$	$k_{*M} \pm \frac{t}{\sqrt{n}} s$	$1 - \beta$
1,50	0,269	5,6		-0,1			
1,38	0,239	5,8		+0,1			
0,88	0,153	5,8		+0,1			
0,40	0,069	5,8	5,70	+0,1	0,1	5,70 ± 0,09	
0,34	0,060	5,7		0	0,09		0,9

unde,

$$k_{*i} = \frac{k_{e_i}}{y_{m_i}}$$

$$k_{*M} = \frac{1}{n} \sum_{i=1}^n k_{*i} \quad i = 1, 2, 3, 4, 5$$

$$\Delta k_{*i} = k_{*i} - k_{*M}$$

$$s = \frac{1}{\sqrt{n-1}} \sqrt{\sum_{i=1}^n (k_{*i} - k_{*M})^2}$$

Cu $f=n-1=5-1=4$ din STAS 7122-65 rezultă $t=2,132$ pentru nivel de încredere de 0,9.

In stabilirea valorilor din tabelul precedent s-au respectat intervalele admisibile de rotunjire pentru valorile parametrilor statistici :

$\frac{0,6s}{\sqrt{n}}$ pentru media aritmetică

$\frac{0,4s}{\sqrt{n-1}}$ pentru abaterea medie patratice

Anexa 9.4

Calculul parametrilor funcției liniare

$$k_e = k_e(N)$$

Dependența liniară a rugozității echivalente de vechimea în exploatare a conductei, unanim acceptată, permite scrierea funcției sub forma

$$k_e - \bar{k}_e = b(N - \bar{N})$$

Folosind metoda celor mai mici patrate pentru determinarea parametrului b se calculează :

$$\bar{N} = \frac{1}{n} \sum_{i=1}^n N_i$$

$$\bar{k}_e = \frac{1}{n} \sum_{i=1}^n k_e$$

$$b = \frac{\bar{N}k_e - \bar{N}\bar{k}_e}{\bar{N}^2 - (\bar{N})^2} \quad i = 1, 2, 3, 4$$

$$\bar{N} \cdot k_e = \frac{1}{n} \sum_{i=1}^n N_i \cdot k_e$$

$$\bar{N}^2 = \frac{1}{n} \sum_{i=1}^n N_i^2$$

Rezultatele calculelor intermediare sunt trecute tabelar.

N	N ²	k _e	N · k _e
7,62	58,06	1,50	11,43
7,00	49,00	1,38	9,66
4,30	18,49	0,40	1,72
4,00	16,00	0,34	1,36
Σ	22,92	141,55	3,62
			24,17

•/•

$$\begin{aligned}
 \bar{N} &= \frac{1}{4} \sum_1^4 N_i = 5,73 & \bar{N} &= 5,73 \\
 \bar{k}_e &= \frac{1}{4} \sum_1^4 k_{e_i} = 0,905 & \bar{k}_e &= 0,905 \\
 \bar{N}^2 &= \frac{1}{4} \sum_1^4 N_i^2 = 35,388 & \bar{N}^2 &= 35,388 \\
 \bar{N} \cdot \bar{k}_e &= \frac{1}{4} \sum_1^4 N_i k_{e_i} = 6,043 & \bar{N} \cdot \bar{k}_e &= 6,043 \\
 b &= \frac{\bar{N} \cdot \bar{k}_e - \bar{N} \bar{k}_e}{\bar{N}^2 - (\bar{N})^2} = 0,335 & b &= 0,335
 \end{aligned}$$

Rezultă :

$$k_e = 0,905 = 0,335(N-5,73)$$

sau

$$k_e = 0,335 N - 1,015$$

Inlocuind pe k_e cu relația echivalentă

$$y_M = 0,059 N - 0,178$$

Pentru estimarea prin interval de încredere a parametrului b se utilizează abaterea standard empirică s .

În acest caz intervalul de încredere capătă forma :

$$|b - \bar{b}| < t(P, n-1) \frac{s}{\sqrt{n}}$$

unde factorul $t(P, n-1)$ depinde de nivelul de încredere P și de numărul n al determinărilor.

Pentru nivel de încredere $1-\beta = 0,9$ și $n=4$ rezultă $t=2,353$ (STAS 7122-65).

$$\begin{aligned}
 k_{e_i} &+ 1,015 \\
 b_i &= \frac{k_{e_i}}{N_i} \\
 \bar{b} &= \frac{1}{4} \sum_1^4 b_i
 \end{aligned}$$

./.

$$s = \sqrt{\frac{1}{n-1} \sum_{i=1}^n (b_i - \bar{b})^2}$$

Rezultatele intermediare ale calculelor sunt trecute în tabelul următor :

k_e	H	b_1	\bar{b}	$b_1 - \bar{b}$	s	$\sqrt{\frac{1}{n-1}} s$	Domeniu de încred.	Nivel de încredere
1,50	7,62	0,330		-0,005				
1,38	7,00	0,342		+0,007				
0,40	4,30	0,329		-0,006	0,011	0,013	0,335 ± 0,013	0,9
0,34	4,00	0,339		+0,004				

Cu aceste valori intervalul de încredere devine :

$$|b - 0,335| < 0,013 \text{ ou o siguranță de } 0,9.$$